

# Interaktivní sbírka příkladů pro předmět Matematika IV, Numerické metody

Josef Dalík, Veronika Chrastinová, Oto Přibyl, Hana Šafářová, Pavel Špaček

Vysoké učení technické v Brně, Fakulta stavební

Ústav matematiky a deskriptivní geometrie

Žižkova 17, 662 37 Brno

*Podpořeno projektem FRVŠ 1505/2012/F1/d*

## Obsah

|   |           |
|---|-----------|
| <b>1 Jedna rovnice pro jednu reálnou neznámou</b>   | <b>2</b>  |
| <b>2 Soustavy lineárních algebraických rovnic</b>   | <b>8</b>  |
| 2.1 Gaussova eliminační metoda a Gaussova eliminační metoda s<br>částečným výběrem hlavních prvků . . . . . | 8         |
| 2.2 Symetrické pozitivně definitní matice, Choleského rozklad, Cho-<br>leského metoda . . . . .             | 10        |
| 2.3 Číslo podmíněnosti matice . . . . .   | 10        |
| 2.4 Iterační Jacobiova, Gaussova-Seidelova a relaxační metoda . .   | 11        |
| <b>3 Systémy nelineárních rovnic</b>  | <b>14</b> |
| <b>4 Aproximace funkce</b>  | <b>21</b> |
| 4.1 Lagrangeova a Hermiteova interpolace . . . . .  | 22        |
| 4.2 Diskrétní metoda nejmenších čtverců . . . . .   | 26        |
| <b>5 Počáteční úlohy pro obyčejné diferenciální rovnice (ODR)</b>   | <b>28</b> |
| <b>6 Řešení okrajové úlohy pro ODR 2. řádu metodou sítí</b>   | <b>31</b> |
| <b>7 Numerická integrace</b>  | <b>38</b> |
| <b>8 Řešení okrajové úlohy pro ODR 2. řádu metodou konečných<br/>    prvků</b>                              | <b>44</b> |
| <b>9 Výsledky řešení příkladů</b>   | <b>49</b> |
| <b>10 Individuální úlohy</b>  | <b>80</b> |

# Úvod

Tato sbírka obsahuje motivační úlohy a především rozsáhlé soubory příkladů, jejichž řešením se studenti mohou blíže seznamovat se základními algoritmy numerické analýzy, tj. s postupy pro přibližné řešení standardních elementárních úloh, které jsou v oblasti technických aplikací matematiky velmi často používány a jsou odvozeny a vysvětleny ve studijní opoře [5] "Numerická analýza". Vytvořením této sbírky se autoři snažili zlepšit podmínky pro výuku předmětu Matematika IV v navazujícím magisterském studijním programu "Stavební inženýrství" na Fakultě stavební Vysokého učení technického v Brně. Sbírka

- a) poskytne studentům předmětu Matematika IV velký počet příkladů pro procvičení schopnosti řešit jednoduché problémy užitím těchto standardních postupů a pro přípravu na zkoušku,
- b) i při velkém počtu studentů předmětu umožní vedoucím cvičení individuální přístup tím, že zadání příkladů, vyznačených ve sbírce hvězdou, jsou závislá na parametrech, takže každý student obdrží jiné zadání, než ostatní. Metodika pro volbu hodnot těchto parametrů i pro hodnocení studentských řešení je zpracována tak, že od vedoucích cvičení vyžadovala minimální úsilí a
- c) vytváří podmínky pro zadávání úloh, požadujících od studentů nejen „ruční“ výpočet řešení daných úloh, ale i implementace postupu jejich řešení ve formě počítačového programu. Vzhledem k dostupnosti a k předpokládaným znalostem studentů jsme za tímto účelem zvolili tabulkový procesor programového systému MS Excel. Pro ilustraci možností využití tohoto prostředku jsou v kapitole 10 možná zadání úloh, vyžadujících užití tabulkového procesoru Excel.

Na stránkách Ústavu matematiky a deskriptivní geometrie lze najít soubor implementací základních algoritmů v Excelu i odkaz na parametrizované úlohy.

Přejeme studentům, aby jim sbírka pomohla předmětu Matematika IV lépe zvládnout a snad i povzbudit jejich zájem o tyto účinné a široce prakticky používané prostředky. Přejeme i učitelům, aby sbírka z výuky předmětu odstranila většinu rutinních činností a přispěla ke zlepšení její kvality.

Autori

V Brně dne 28. listopadu 2012

# 1 Jedna rovnice pro jednu reálnou neznámou

Za účelem připomenutí numerických metod pro řešení jedné rovnice pro jednu reálnou neznámou se zabývejme řešením této vzorové úlohy:

*Cisterna ve tvaru ležícího válce o poloměru 1 m je zaplněna naftou z jedné čtvrtiny. Určete hloubku  $h$  [m] nafty v nádrži z Obr. 1.*

Na Obr. 1 je znázorněn příčný průřez nádrží. Odtud je zřejmé, že obsah průřezu, vyplněného naftou je obsah výseče pod úsečkami  $\overline{AS}$  a  $\overline{SC}$  svírajícími úhel  $x = \angle ASC$  o velikosti  $\pi \cdot x / (2\pi) = x/2$ , zmenšený o obsah trojúhelníka  $\overline{AC}\overline{S}$  o velikosti  $(\sin x)/2$ . Tedy obsah průřezu, vyplněný naftou a také podíl objemu nafty v cisterně k objemu celé cisterny je

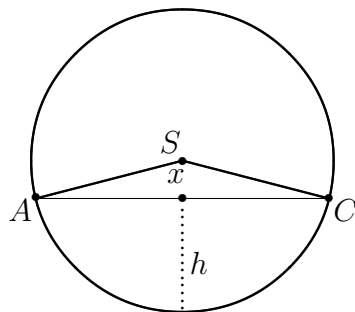
$$\frac{x}{2} - \frac{\sin x}{2} = \frac{x - \sin x}{2}$$

a našim úkolem je najít úhel  $x$  takový, že

$$\frac{x - \sin x}{2} = \pi/4.$$

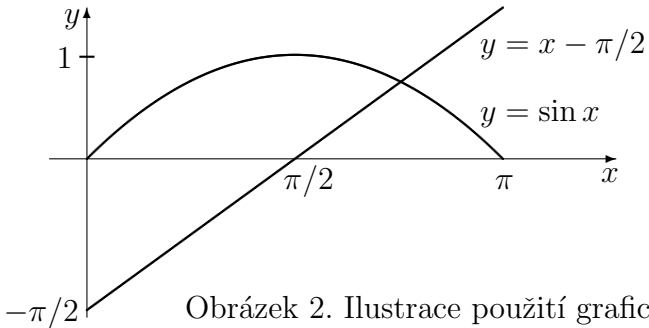
To je ekvivalentní s vyřešením rovnice

$$f(x) \equiv x - \sin x - \pi/2 = 0.$$



Obrázek 1. Příčný řez cisternou

Pohledem na Obr. 1 zjistíme, že po vyřešení této rovnice najdeme výšku  $h$  ve tvaru  $h = 1 - \cos(x/2)$ .



Obrázek 2. Ilustrace použití grafické metody

Protože

$$f(x) = 0 \iff x - \frac{\pi}{2} = \sin x$$

a grafy funkcí  $x - \pi/2$  i  $\sin x$  lze snadno schematicky nakreslit, viz Obr. 2, můžeme kořen rovnice  $f(x) = 0$  odhadnout hodnotou  $x = 2$ . Vypočtená hodnota  $f(2) = -0,480094$  říká, že pro  $x = 2$  je  $x - \pi/2 < \sin x$  a to znamená, že číslo 2 je menší, než hledaná hodnota úhlu  $x$ . Proto jsme spočítali ještě hodnotu  $f(2,5) = 0,330732$  pro větší úhel  $x = 2,5$ . Protože funkce  $f$  je spojitá a  $f(2) \cdot f(2,5) < 0$ , má funkce  $f$  v intervalu  $(2; 2,5)$  alespoň jeden kořen. Pro ilustraci postupů, které budou procvičovány v níže uvedených cvičeních budeme úlohu „najít  $x \in (2; 2,5)$  tak, aby  $f(x) = 0$ “ řešit postupně metodou

- a) půlení intervalu
- b) regula falsi
- c) prosté iterace
- d) Newtonovou

a) *Půlení intervalu:* Metoda pro vstupní data

$$a_0 < b_0, \varepsilon > 0 \text{ a } f \in C[a_0, b_0] \text{ s vlastností } f(a_0) \cdot f(b_0) < 0$$

postupně pro  $i = 1, 2, \dots$  počítá střed  $s_i = (a_{i-1} + b_{i-1})/2$ . Je-li  $s_i - a_{i-1} \geq \varepsilon$ , určí nový interval

$$\langle a_i, b_i \rangle, \text{ kde } \begin{cases} a_i = a_{i-1}, b_i = s_i, & \text{když } f(a_{i-1}) \cdot f(s_i) < 0 \\ a_i = s_i, b_i = b_{i-1}, & \text{když } f(s_i) \cdot f(b_{i-1}) < 0 \end{cases}.$$

Je-li  $s_i - a_{i-1} < \varepsilon$ , výpočet skončí s výsledkem  $x \doteq s_i$  a s chybou approximace menší, než  $s_i - a_{i-1}$ .

Průběh řešení úlohy metodou půlení s chybou, menší než  $\varepsilon = 0,01$  je

zaznamenán v Tabulce 1.

| $i$ | $a_{i-1}$ | $\text{sgn}f(a_{i-1})$ | $b_{i-1}$ | $\text{sgn}f(b_{i-1})$ | $s_i$    | $\text{sgn}f(s_i)$ |
|-----|-----------|------------------------|-----------|------------------------|----------|--------------------|
| 1   | 2         | -                      | 2,5       | +                      | 2,25     | -                  |
| 2   | 2,25      | -                      | 2,5       | +                      | 2,375    | +                  |
| 3   | 2,25      | -                      | 2,375     | +                      | 2,3125   | +                  |
| 4   | 2,25      | -                      | 2,3125    | +                      | 2,28125  | +                  |
| 5   | 2,28125   | -                      | 2,3125    | +                      | 2,296875 | -                  |
| 6   | 2,296875  | -                      | 2,3125    | +                      | 2,304687 | -                  |

Tabulka 1

Výsledek:  $x \doteq 2,304687 \pm 0,0078125$  a tedy  $h \doteq 0,593653$ .

b) *Regula falsi*: Tato metoda se od metody půlení liší právě v tom, že bod  $s_i \in (a_{i-1}, b_{i-1})$  se počítá předpisem

$$s_i = \frac{a_{i-1}f(b_{i-1}) - b_{i-1}f(a_{i-1})}{f(b_{i-1}) - f(a_{i-1})}$$

a výpočet skončí, jakmile  $|f(s_i)| < \varepsilon$ . Pak  $x \doteq s_i$ . Na rozdíl od metody půlení není známý pravdivý odhad chyby vypočtené approximace.

Průběh řešení úlohy metodou regula falsi s chybou, menší než  $\varepsilon = 0,01$  je zaznamenán v Tabulce 2. Podmínka  $|f(s_i)| < \varepsilon$  je v tomto příkladu splněna již po dvou krocích.

| $i$ | $a_{i-1}$ | $f(a_{i-1})$ | $b_{i-1}$ | $f(b_{i-1})$ | $s_i$    | $f(s_i)$  |
|-----|-----------|--------------|-----------|--------------|----------|-----------|
| 1   | 2         | -0,480094    | 2,5       | 0,330732     | 2,296053 | -0,023073 |
| 2   | 2,296053  | -0,023073    | 2,5       | 0,330732     | 2,309353 | -8,84e-4  |

Tabulka 2

Výsledek:  $x \doteq 2,309353$  a tedy  $h \doteq 0,595786$ .

c) *Prostá iterace*: Rovnice  $f(x) = 0$  se nejprve převede na ekvivalentní tvar  $x = F(x)$  tak, aby  $|F'(x)| \leq \alpha$  pro koeficient kontrakce  $\alpha < 1$  a pro všechna  $x$  z některého intervalu obsahujícího řešení. Pak se zvolí nultá approximace  $x_0$  co nejblíže k řešení a počítají se approximace  $x_1, x_2, \dots$  předpisem  $x_{i+1} = F(x_i)$  pro  $i = 0, 1, \dots$ . Výpočet skončí, jakmile  $|x_{i+1} - x_i| < \varepsilon$  a výsledkem je approximace  $x_{i+1}$  řešení úlohy.

Protože řešení vzorové úlohy leží v intervalu  $(2; 2,5)$ , převedeme rovnici  $f(x) = 0$  na tvar  $x = \sin x + \pi/2 \equiv F(x)$ . Platí totiž

$$F'(x) = \cos x \quad \text{a} \quad |\cos x| < 0,801144 < 1 \quad \text{pro } x \in \langle 2; 2,5 \rangle.$$

úlohu tedy řešíme metodou prosté iterace s chybou, menší než  $\varepsilon = 0,01$  tak, že za nultou approximaci zvolíme například střed intervalu  $x_0 = 2,25$  a pro  $i = 0, 1, \dots$  počítáme  $x_{i+1} = \sin x_i + \pi/2$ . Pak položíme  $x \doteq x_{i+1}$ , jakmile  $|x_{i+1} - x_i| < \varepsilon$ . Vypočtené approximace  $x_i$  jsou zaznamenány ve druhém sloupci Tabulky 3. Požadované přesnosti bylo dosaženo po 7 krocích.

| $i$ | $x_i$   | $x_i^S$ |
|-----|---------|---------|
| 0   | 2,25    | 2,25    |
| 1   | 2,34887 | 2,34887 |
| 2   | 2,28306 | 2,28306 |
| 3   | 2,32768 | 2,30936 |
| 4   | 2,29778 | 2,31023 |
| 5   | 2,31798 | 2,30965 |
| 6   | 2,30440 |         |
| 7   | 2,31356 |         |

Tabulka 3

Výsledkem je approximace řešení 2,31356 a tedy hloubka  $h \doteq 0,597711$ . Protože v tomto případě nelze koeficient kontrakce  $\alpha$  na intervalu  $\langle 2; 2,5 \rangle$  volit menší, než 0,801144, je konvergence vypočtené iterační posloupnosti pomalá.

Konvergenci iterační posloupnosti lze zrychlit *Steffensenovou metodou*: Pro danou nultou approximaci  $x_0^S$  se spočítá  $x_1^S = F(x_0^S)$ ,  $x_2^S = F(x_1^S)$ ,

$$x_3^S = x_2^S - \frac{(x_2^S - x_1^S)^2}{x_2^S - 2x_1^S + x_0^S}, \quad x_4^S = F(x_3^S), \quad x_5^S = F(x_4^S)$$

a každá další trojice  $x_{3i}^S, x_{3i+1}^S, x_{3i+2}^S$  se počítá stejným postupem. Viz [5], odst. 4.2, Poznámka 1.

Prvky  $x_i^S$  rychleji konvergující posloupnosti, získané Steffensenovou metodou jsou uvedeny ve třetím sloupci Tabulky 3. Pro dosažení přesnosti 0,01 stačilo 5 kroků Steffensenovy metody. Výsledek je  $x \doteq 2,30965$  a  $h \doteq 0,596188$ .

d) *Newtonova metoda* pro danou nultou approximaci  $x_0$  počítá approximace

$$x_{i+1} = x_i - \frac{f(x_i)}{f'(x_i)} \quad \text{pro } i = 0, 1, \dots$$

V Tabulce 4 jsou uvedeny iterace pro řešení vzorové úlohy s chybou, menší než  $\varepsilon = 1\text{e-}6$  pro počáteční iteraci  $x_0 = 2,25$ .

| $i$ | $x_i$     |
|-----|-----------|
| 0   | 2,25      |
| 1   | 2,3107242 |
| 2   | 2,3098816 |
| 3   | 2,3098815 |
| 4   | 2,3098815 |

Tabulka 4

Tato přesná hodnota vznikne po 41 krocích metody prosté iterace a po 9 krocích Steffensenovy metody. Tedy úhel  $x = 2,3098815$  a výška  $h = 0,5960272$ .

### Příklady k procvičení

Rovnice  $f(x) = 0$  pro funkce uvedené v příkladech 1 - 5 řešte metodou půlení a metodou regula falsi vždy s chybou, menší než dané číslo  $\varepsilon > 0$ . Interval, v němž leží řešení rovnice najděte grafickou metodou.

1.  $f(x) = (x - 1) \cdot \operatorname{arctg} x - 1$ ,  $\varepsilon = 1\text{e-}2$ , určete všechny kořeny.
- \*2.  $f(x) = \sin x - 0,2(x - 1)^2 + 1$ ,  $\varepsilon = 1\text{e-}2$ , určete všechny kořeny.
3.  $f(x) = x^4 + x^2 - 6x + 3$ ,  $\varepsilon = 5\text{e-}3$ , určete všechny kořeny.
4.  $f(x) = e^x - 2x - 2$ ,  $\varepsilon = 5\text{e-}3$ , určete všechny kořeny.
5.  $f(x) = \log x - 2x + 7$ , určete interval, v němž leží největší kořen, potom počet kroků metody půlení, které poskytnou approximaci s chybou, menší než  $\varepsilon = 1\text{e-}3$  a nakonec výpočet proveděte.

Rovnice  $f(x) = 0$  pro funkce v příkladech 6 až 18 řešte metodou prosté iterace s chybou, menší než dané číslo  $\varepsilon$ . Intervaly, v nichž kořeny leží najděte grafickou metodou a vždy nejprve ověrte, zda na nich je splněna podmínka  $|F'(x)| \leq \alpha < 1$ .

6.  $f(x) = 1 - x \cdot \ln x$ ,  $\varepsilon = 1\text{e-}2$ , všechny kořeny.
- \*7.  $f(x) = 3 \ln x - x + 4$ ,  $\varepsilon = 1\text{e-}3$ , všechny kořeny.
8.  $f(x) = e^x - x/2 - 2$ ,  $\varepsilon = 1\text{e-}4$ , všechny kořeny.
9.  $f(x) = 2,2x - 2^x$ ,  $\varepsilon = 1\text{e-}3$ , všechny kořeny.
10.  $f(x) = 5x - 8 \ln x - 8$ ,  $\varepsilon = 1\text{e-}3$ , největší kořen.
11.  $f(x) = x - \sin x - 0,25$ ,  $\varepsilon = 1\text{e-}5$ , všechny kořeny.
12.  $f(x) = x^3 - x - 5$ ,  $\varepsilon = 1\text{e-}3$ , všechny kořeny.
13.  $f(x) = x - \ln(x + 2)$ ,  $\varepsilon = 1\text{e-}4$ , kladný kořen.
14.  $f(x) = \arccos x - \sqrt{x + 1}$ ,  $\varepsilon = 1\text{e-}3$ , všechny kořeny.

$$15. f(x) = (x^2 + 1) \ln x - 1, \varepsilon = 1e-3, \text{ všechny kořeny.}$$

$$16. f(x) = \ln x + x/24 - 1, \varepsilon = 1e-4, \text{ všechny kořeny.}$$

$$17. f(x) = x^2 - \operatorname{arctg} x - 1, \varepsilon = 1e-3, \text{ všechny kořeny.}$$

$$18. f(x) = \operatorname{arctg} x + 2x - 1, \varepsilon = 1e-4, \text{ všechny kořeny.}$$

Rovnice v příkladech 19 až 25 řešte Newtonovou metodou s chybou, menší než dané číslo  $\varepsilon$ . Co nejpřesnější nultou approximaci kořene najděte grafickou metodou.

$$19. \operatorname{arctg} x - 0.4x - 0.2 = 0, \varepsilon = 1e-5, \text{ největší kořen.}$$

$$*20. e^{-x} + x^2 - 4 = 0, \varepsilon = 1e-6, \text{ největší kořen.}$$

$$21. x^2 - \operatorname{arctg} x = 0, \varepsilon = 1e-3, \text{ největší kořen.}$$

$$22. 2x - \log x - 7 = 0, \varepsilon = 1e-5, \text{ největší kořen.}$$

$$23. x^3 - 3x^2 - 4x - 10 = 0, \varepsilon = 1e-6, \text{ kořen z intervalu } (4.2; 4.6).$$

$$*24. x^3 - x - 5 = 0, \varepsilon = 1e-3, \text{ všechny kořeny.}$$

$$25. 10 \sin x - \ln x = 0, \varepsilon = 1e-6, \text{ kořen z intervalu } (3; 3.1).$$

Rovnice v příkladech 26 až 29 řešte Newtonovou metodou s chybou, menší než dané číslo  $\varepsilon$ . Pro každý kořen najděte interval, v němž jsou splněny Fourierovy podmínky (viz [5], odst. 4.3.4) a zvolte approximaci  $x_0$  tak, aby konvergence metody byla zaručena.

$$26. x - \sin x - 0.25 = 0, \varepsilon = 1e-5, \text{ všechny kořeny.}$$

$$27. x^2 - 1 - e^x = 0, \varepsilon = 1e-6, \text{ všechny kořeny.}$$

$$28. 3 \ln x - x + 4 = 0, \varepsilon = 1e-4, \text{ největší kladný kořen.}$$

$$29. e^x - x - 10 = 0, \varepsilon = 1e-6, \text{ největší kořen.}$$

## 2 Soustavy lineárních algebraických rovnic

Většina úloh pro přibližné řešení „matematických modelů“ vede na řešení soustav lineárních algebraických rovnic. Například v této sbírce je řešení soustav lineárních rovnic součástí řešení úloh z kapitol 3, 4, 6 a 8.

### Příklady k procvičení

## 2.1 Gaussova eliminační metoda a Gaussova eliminační metoda s částečným výběrem hlavních prvků

1. Ukažte, že systém rovnic  $Ax = b$  v případě a) nemá řešení a v případě b) má nekonečně mnoho řešení. Popište všechna řešení tohoto systému. Formulujte obecné podmínky, za nichž systém  $n$  rovnic pro  $n$  neznámých  $Ax = b$  má jediné řešení, má nekonečně mnoho řešení a nemá žádné řešení.

$$a) \begin{array}{l} 3x_1 + x_2 + 2x_3 = 1 \\ x_2 + x_3 = 3 \\ 3x_1 + 4x_2 + 5x_3 = 2 \end{array} \quad b) \begin{array}{l} 3x_1 + x_2 + 2x_3 = 1 \\ x_2 + x_3 = 3 \\ 3x_1 + 4x_2 + 5x_3 = 10 \end{array}$$

2. Ukažte, že systém rovnic

$$\begin{array}{l} -x_1 + 2x_2 - 3x_3 = 2 \\ 2x_1 - 4x_2 + x_3 = 1 \\ x_1 - 3x_3 = -1 \end{array}$$

není řešitelný Gaussovou eliminační metodou a je řešitelný Gaussovou eliminační metodou s částečným výběrem hlavních prvků. Formulujte obecné podmínky, za nichž je daný systém  $n$  rovnic pro  $n$  neznámých řešitelný a) Gaussovou eliminační metodou a b) Gaussovou eliminační metodou s částečným výběrem hlavních prvků.

\*3. Gaussovou eliminační metodou řešte soustavu rovnic

$$\begin{array}{l} 0,3x_1 + 1,2x_2 + 20,1x_3 = 12,7 \\ 1,1x_1 + 5,1x_2 + 93,1x_3 = -0,4 \\ -4,6x_1 - 7,2x_2 + 0,1x_3 = 5,9 \end{array}$$

a sestavte  $LU$ -rozklad její matice. Zaokrouhlujte na 4 desetinná místa.

4. Systémy rovnic a) - d) řešte Gaussovou eliminační metodou s částečným výběrem hlavních prvků. Zaokrouhlujte postupně na 1, 5, 4 a 6 desetinných míst.

$$a) \begin{array}{l} -2x_1 + x_2 + 5x_3 = 15 \\ 4x_1 - x_2 + x_3 = 7 \\ 4x_1 - 8x_2 + x_3 = -21 \end{array} \quad b) \begin{array}{l} -x_1 + 9x_2 + 4x_3 = 29 \\ -4x_1 - 4x_2 + 15x_3 = 33 \\ 33x_1 - 3x_2 - x_3 = 24 \end{array}$$

$$c) \begin{array}{l} -x_1 + 3x_2 + 2x_4 = -1 \\ 5x_1 - x_2 + 3x_3 + 2x_4 = 8 \\ x_1 - x_2 + 2x_3 - 2x_4 = 4 \\ 4x_2 + x_3 - 2x_4 = -4 \end{array} \quad d) \begin{array}{l} 1,4159x - 2,6535y - 8,9793z = -35,4738 \\ -2,3846x + 2,6435y - 8,3279z = 3,7145 \\ 5,0288x - 4,1971y - 6,92399z = -49,9517 \end{array}$$

5. Systémy rovnic a) - d) řešte Gaussovou eliminační metodou i Gaussovou eliminační metodou s částečným výběrem hlavních prvků. Sestavte  $LU$ -rozklad matice každé soustavy a zaokrouhlujte na 4 desetinná místa.

$$a) \begin{array}{l} x_1 + 2x_2 + 3x_3 = 6 \\ 2x_1 + 4x_2 + 5x_3 = 11 \\ 7x_1 + 8x_2 + 9x_3 = 24 \end{array} \quad b) \begin{array}{l} 0,00001x_1 + x_2 = 1 \\ x_1 + x_2 = 2 \end{array}$$

$$c) \begin{array}{l} x_1 + 0,25x_2 = 1,25 \\ 3,96x_1 + 1,01x_2 = 5,03 \end{array} \quad d) \begin{array}{l} 2,175x - 1,006y - 0,032z = 1,204 \\ -1,006x + 2,212y - 1,048z = 0,432 \\ -0,032x - 1,048y + 2,126z = 5,296 \end{array}$$

$$6. \text{ Pro matici } A = \begin{bmatrix} 3,1 & 1,3 & 2,7 \\ 1,1 & 3,2 & 1,8 \\ 2,0 & 1,6 & 3,3 \end{bmatrix} \text{ a vektory } b = \begin{bmatrix} 1 \\ 7 \\ 5 \end{bmatrix}, c = \begin{bmatrix} 6 \\ 9 \\ 1 \end{bmatrix}$$

řešte systémy rovnic  $Ax = b$  a  $Ay = c$  Gaussovou eliminací tak, že přímý chod budete počítat jednou s oběma pravými stranami současně.

7. Jordanovou metodou najděte matice inverzní k níže uvedeným maticím a) - e). Zaokrouhlujte na 3 desetinná místa.

$$\begin{array}{lll} a) \begin{bmatrix} 3 & 1 & 2 \\ 1 & 3 & 1 \\ 2 & 1 & 3 \end{bmatrix} & b) \begin{bmatrix} 1 & 1,2 & 1,3 \\ 1,2 & 1,3 & 1,4 \\ 1,3 & 1,4 & 1,5 \end{bmatrix} & c) \begin{bmatrix} 2,7 & 0 & -1,4 \\ 0 & 3,5 & 2,1 \\ -1,4 & 2,1 & 4,0 \end{bmatrix} \\ d) \begin{bmatrix} 2,0 & -1,3 & 0 & 0 \\ -1,3 & 2,0 & -1,7 & 0 \\ 0 & -1,7 & 2,0 & -1,0 \\ 0 & 0 & -1,0 & 2,0 \end{bmatrix} & e) \begin{bmatrix} 4 & -1 & 0 & 0 \\ -1 & 1 & 1 & 0 \\ 0 & 1 & 4 & -1 \\ 0 & 0 & -1 & 4 \end{bmatrix} & \end{array}$$

## 2.2 Symetrické pozitivně definitní matice, Choleského rozklad, Choleského metoda

\*1. Ověřte že matice a) - i) jsou symetrické pozitivně definitní a najděte jejich Choleského rozklady.

$$\begin{array}{lll} a) \begin{bmatrix} 3 & 1 & 2 \\ 1 & 3 & 1 \\ 2 & 1 & 3 \end{bmatrix} & b) \begin{bmatrix} 1 & 1/2 & 1/3 \\ 1/2 & 1/3 & 1/4 \\ 1/3 & 1/4 & 1/5 \end{bmatrix} & c) \begin{bmatrix} 2 & -1 & 0 & 0 \\ -1 & 2 & -1 & 0 \\ 0 & -1 & 2 & -1 \\ 0 & 0 & -1 & 2 \end{bmatrix} \\ d) \begin{bmatrix} 4 & -1 & -1 & 0 \\ -1 & 4 & 0 & -1 \\ -1 & 0 & 4 & -1 \\ 0 & -1 & -1 & 4 \end{bmatrix} & e) \begin{bmatrix} 2 & 0 & -1 \\ 0 & 3 & 2 \\ -1 & 2 & 4 \end{bmatrix} & f) \begin{bmatrix} 4 & -1 & 1 \\ -1 & 2 & 0,5 \\ 1 & 0,5 & 5 \end{bmatrix} \end{array}$$

$$g) \begin{bmatrix} 2 & -1 & 0 \\ -1 & 2 & -1 \\ 0 & -1 & 2 \end{bmatrix} \quad h) \begin{bmatrix} 5 & 0 & 10 & 5 \\ 0 & 10 & 5 & 0 \\ 10 & 5 & 32,5 & 20 \\ 5 & 0 & 20 & 65 \end{bmatrix} \quad i) \begin{bmatrix} 5 & 0 & 10 \\ 0 & 10 & 5 \\ 10 & 5 & 32,5 \end{bmatrix}$$

2. Ověřte že matice systémů rovnic a) - d) jsou symetrické pozitivně definitní a tyto systémy vyřešte Choleského metodou.

$$\begin{array}{ll} a) \begin{array}{l} x_1 + x_2 + x_3 = 3 \\ x_1 + 5x_2 + 5x_3 = 11 \\ x_1 + 5x_2 + 14x_3 = 20 \end{array} & b) \begin{array}{l} x_1 + x_2 + x_3 = 2 \\ x_1 + 5x_2 + 5x_3 = 5 \\ x_1 + 5x_2 + 14x_3 = 8 \end{array} \\ c) \begin{array}{l} 5x_1 + 3x_3 = -5 \\ 2x_2 - x_3 = 4 \\ 3x_1 - x_2 + 4x_3 = -5 \end{array} & d) \begin{array}{l} 5x_1 + x_2 + 2x_3 = 1 \\ x_1 + 7x_2 + 3x_3 = 2 \\ 2x_1 + 3x_2 + 6x_3 = 3 \end{array} \end{array}$$

3. Ověřte, že matice  $A^\top A$  je symetrická pozitivně definitní pro každou regulární matici  $A$ .

## 2.3 Číslo podmíněnosti matice

1. Definujte číslo podmíněnosti regulární matice  $A$  a uveďte nerovnost, vymezující jeho význam. Určete číslo podmíněnosti matic  $B$  a  $D$  užitím normy  $\|\cdot\|_\infty$ , když

$$B = \begin{bmatrix} 4 & -1 \\ -2 & 3 \end{bmatrix}, \quad D = \begin{bmatrix} 5 & 0 & 10 \\ 0 & 10 & 5 \\ 10 & 5 & 32,5 \end{bmatrix}$$

2. Najděte číslo podmíněnosti matice  $A = \begin{bmatrix} 3 & 1 & 0 \\ 0 & 2 & 1 \\ 1 & 1 & 4 \end{bmatrix}$  pomocí norem  $\|\cdot\|_\infty$  a  $\|\cdot\|_1$ .

3. V případě a) i b) ověřte, že  $B = A^{-1}$  a určete číslo podmíněnosti matice  $A$  užitím normy  $\|\cdot\|_\infty$  a matice  $B$  užitím  $\|\cdot\|_1$ .

$$\begin{array}{ll} a) \quad B = \begin{bmatrix} 4 & 0,8 & -2 \\ -8 & 0,4 & -5 \\ 2 & 0,4 & 6 \end{bmatrix}, \quad A = \begin{bmatrix} 11/140 & -1/10 & -2/35 \\ 19/28 & 1/2 & 9/14 \\ -1/14 & 0 & 1/7 \end{bmatrix} \\ b) \quad B = \begin{bmatrix} 4 & -10 & 10/3 \\ -8 & 27,5 & -10 \\ 4 & -15 & 20/3 \end{bmatrix}, \quad A = \begin{bmatrix} 1 & 0,5 & 0,25 \\ 0,4 & 0,4 & 0,4 \\ 0,3 & 0,6 & 0,9 \end{bmatrix} \end{array}$$

\*4. Pro matici  $A = \begin{bmatrix} 1 & 2 \\ 1,01 & 2 \end{bmatrix}$  vypočtěte číslo podmíněnosti užitím normy  $\|\cdot\|_\infty$  i  $\|\cdot\|_1$  a pro vektory  $b = \begin{bmatrix} 1,24 \\ 2,47 \end{bmatrix}$ ,  $c = \begin{bmatrix} 1,2 \\ 2,5 \end{bmatrix}$  řešte systémy rovnic  $Ax^{(1)} = b$ ,  $Ax^{(2)} = c$ .

## 2.4 Iterační Jacobiova, Gaussova-Seidelova a relaxační metoda

$$x_1 + 5x_2 - 8x_3 = -6,5$$

$$\begin{aligned} 1. \text{ Systém rovnic } & 10x_1 + 4x_2 - 5x_3 = 1,5 \\ & x_1 + 12x_2 - 10x_3 = -2,5 \end{aligned}$$

a) vyřešte přímou metodou.

b) Po modifikaci systému vhodnou změnou pořadí rovnic zdůvodněte, že řešení Jacobiovou i Gaussovou-Seidelovou metodou konvergují.

c) Položte  $x^{(0)} = [0, 0, 0]^\top$  a vypočtěte iterace  $x^{(1)}$ ,  $x^{(2)}$  řešení modifikace z b) Jacobiovou i Gaussovou-Seidelovou metodou.

2. Příklad 1 vyřešte i pro tyto systémy rovnic a), b):

$$\begin{aligned} a) \quad & 3x_1 + 10x_2 - 5x_3 = 8 & 3x_1 + 4x_2 - 8x_3 = -0,75 \\ & 20x_1 + 4x_2 + 6x_3 = 30 & b) \quad 4x_1 + 8x_2 + 3x_3 = 13,25 \\ & x_1 - 1x_2 + 4x_3 = 4 & -8x_1 + 4x_2 - 3x_3 = -7,75 \end{aligned}$$

3. Ověřte, že řešení systému

$$\begin{aligned} & 4x_1 + 2x_2 + x_3 = -1 \\ & x_1 + 5x_2 + 3x_3 = 2 \\ & 2x_1 - x_2 + 8x_3 = 4 \end{aligned}$$

Jacobiovou i Gaussovou-Seidelovou metodou konverguje. Soustavu potom řešte pro počáteční iteraci  $x^{(0)} = [-0,4; 0; 0]^\top$  výpočtem

a) pěti iterací Jacobiovou metodou a

b) tří iterací Gaussovou-Seidelovou metodou. Určete normu  $\|x^{(3)} - x^{(2)}\|_\infty$ . Zaokrouhlujte na 4 desetinná místa.

4. Gaussovou-Seidelovou metodou řešte následující soustavu rovnic s chybou, menší než  $\varepsilon = 0,01$ . Zvolte  $x^{(0)} = [0, 0, 0, 0]^\top$  a zaokrouhlujte na 3

desetinná místa.

$$\begin{aligned} -2x_1 + x_2 &= -1 \\ x_1 - 2x_2 + x_3 &= 0 \\ x_2 - 2x_3 + x_4 &= 0 \\ x_3 - 2x_4 &= 0 \end{aligned}$$

5. Rozhodněte, zda řešení soustavy rovnic

$$\begin{aligned} 4x_1 + x_2 + x_3 &= -1 \\ x_1 + 6x_2 + 2x_3 &= 0 \\ x_1 + 2x_2 + 3x_3 &= 1 \end{aligned}$$

Gaussovou-Seidelovou metodou konverguje. Pro  $x^{(0)} = [0, 0, 0]^\top$  vypočtěte iterace  $x^{(1)}$ ,  $x^{(2)}$ ,  $x^{(3)}$  a normu  $\|x^{(3)} - x^{(2)}\|_\infty$ . Zaokrouhlujte na 4 desetinní místa.

6. Soustavu rovnic

$$\begin{aligned} 10x_1 - x_2 + 2x_3 - 3x_4 &= 0 \\ x_1 + 10x_2 - x_3 + 2x_4 &= 5 \\ 2x_1 + 3x_2 + 20x_3 - x_4 &= -10 \\ 3x_1 + 2x_2 + x_3 + 20x_4 &= 15 \end{aligned}$$

řešte s nultou approximací  $x^{(0)} = [0, 0, 0, 0]^\top$

- a) Jacobiovou metodou. Najděte řešení s chybou, menší než  $\varepsilon = 0,01$ .
- b) Gaussovou-Seidelovou metodou. Spočítejte iteraci  $x^{(3)}$ .

7. Výpočtem první až čtvrté approximace řešení systému rovnic

$$\begin{aligned} x_1 + 2x_2 - 2x_3 &= 1 \\ x_1 + x_2 + x_3 &= 3 \\ 2x_1 + 2x_2 + x_3 &= 5 \end{aligned}$$

Jacobiovou i Gaussovou-Seidelovou metodou pro nultou approximaci  $x^{(0)} = [0, 0, 0]^\top$  ilustrujte skutečnost, že Jacobiova metoda konverguje a Gaussova-Seidelova metoda diverguje. Užitím řešení Př. 3 z odstavce 2.2 změňte daný systém rovnic tak, aby Gaussova-Seidelova metoda konvergovala a tuto konvergenci opět ilustrujte výpočtem první až čtvrté iterace pro  $x^{(0)} = [0, 0, 0]^\top$ . Zaokrouhlujte na 4 desetinná místa.

8. Pro matici

$$A = \begin{bmatrix} -4 & 0 & 1 & 0 \\ 2 & 6 & 0 & 1 \\ -1 & 0 & 5 & 1 \\ 1 & 0 & 1 & 5 \end{bmatrix} \quad \text{a vektor } b = \begin{bmatrix} 1 \\ 2 \\ 3 \\ 0 \end{bmatrix}$$

řešte soustavu rovnic  $Ax = b$  Jacobiovou a Gaussovou-Seidelovou metodou s chybou, menší než 0,02. Položte vždy  $x^{(0)} = [0,25; 0,3; 0,6; 0]^\top$ .

9. Soustavu lineárních rovnic  $Ax = b$  s maticí

$$A = \begin{bmatrix} 4 & 1 & 0 & -0,5 \\ 1 & 4 & -1 & 0 \\ 0 & -1 & 2 & 1 \\ 0,5 & 0 & 1 & 4 \end{bmatrix} \quad \text{a vektorem } b = \begin{bmatrix} 4 \\ 1 \\ 0 \\ -2 \end{bmatrix}$$

řešte Jacobiovou a Gaussovou-Seidelovou metodou s chybou, menší než 0,05. Položte  $x^{(0)} = [1; 0,25; 0; -0,5]^\top$  a zaokrouhlujte na 3 desetinná místa.

10. Soustavu lineárních rovnic  $Ax = b$  s maticí

$$A = \begin{bmatrix} 4 & 0 & 1 & 0,5 \\ 0,5 & 4 & -1 & 0 \\ 0 & -1 & 2 & -1 \\ 0,5 & 0 & -1 & 4 \end{bmatrix} \quad \text{a vektorem } b = \begin{bmatrix} 4 \\ 0 \\ 3 \\ 2 \end{bmatrix}$$

řešte Jacobiovou a Gaussovou-Seidelovou metodou s chybou, menší než 0,05. Položte  $x^{(0)} = [1; 0; 1,5; 0,5]^\top$  a zaokrouhlujte na 3 desetinná místa.

11. Soustavu lineárních rovnic  $Ax = b$  s maticí

$$A = \begin{bmatrix} 4 & -1 & -1 \\ -1 & 4 & 0 \\ -1 & 0 & 4 \end{bmatrix} \quad \text{a vektorem } b = \begin{bmatrix} 1 \\ 2 \\ 0 \end{bmatrix}$$

řešte Jacobiovou, Gaussovou-Seidelovou a relaxační Gaussovou-Seidelovou metodou s parametrem  $\omega = 1,08$  s chybou, menší než 0,01. Položte vždy  $x^{(0)} = [0, 0, 0]^\top$  a zaokrouhlujte na 4 desetinná místa.

### 3 Systémy nelineárních rovnic

Zabývejme se úlohou najít tlak, nutný ke vnoření velkých hmotných objektů do dané hloubky  $d$  měkké homogenní zeminy, podložené tvrdým podložím.

Za těchto podmínek je velikost tlaku  $p$ , nutného ke vnoření kruhové desky o poloměru  $r$  do hloubky  $d$  dána vztahem

$$p = k_1 e^{k_2 r} + k_3 r,$$

kde  $k_1, k_2 > 0$ ,  $k_3$  jsou konstanty, které závisí na hloubce vnoření  $d$  a na hustotě měkké zeminy, ale nezávisí na poloměru základny  $r$ .

Abychom určili konstanty  $k_1, k_2, k_3$ , provedeme experiment, při němž kruhové desky s malými poloměry  $r_1, r_2, r_3$  vnoříme do hloubky  $d$  a změříme příslušné tlaky  $p_1 = p_1(r_1)$ ,  $p_2 = p_2(r_2)$ ,  $p_3 = p_3(r_3)$ . Dostaneme tak rovnice

$$\begin{aligned} p_1 &= k_1 e^{k_2 r_1} + k_3 r_1, \\ p_2 &= k_1 e^{k_2 r_2} + k_3 r_2, \\ p_3 &= k_1 e^{k_2 r_3} + k_3 r_3. \end{aligned}$$

pro neznámé  $k_1, k_2, k_3$ . Protože tyto hodnoty obecně nelze spočítat přesně, používají se přibližné iterační metody, které jsou zobecněním metody prosté iterace a metody Newtonovy pro jednu nelineární rovnici s jednou neznámou na systémy obecně  $n$  nelineárních rovnic s  $n$  neznámými. V této úloze je  $n = 3$ . Ve všech ostatních příkladech této kapitoly je  $n = 2$ . Uvažme konkrétní případ naší úlohy:

*Najděte hodnoty  $k_1, k_2, k_3$ , jestliže se do hloubky 0,3 m měkké zeminy vnoří kruhová deska o poloměru 0,025 m při tlaku 68,948 kPa, o poloměru 0,050 m při tlaku 137,895 kPa a o poloměru 0,075 m při tlaku 206,843 kPa. Předpokládáme, že měkká zemina sahá do hloubky 1 m.*

V tomto případě má výsledný systém nelineárních rovnic tvar

$$\begin{aligned} 68,948 &= k_1 e^{0,025k_2} + 0,025k_3, \\ 137,895 &= k_1 e^{0,050k_2} + 0,050k_3, \\ 206,843 &= k_1 e^{0,075k_2} + 0,075k_3, \end{aligned}$$

hloubka podloží je 1 m,  $k_1 \in \mathbb{R}$ ,  $k_2 > 0$ ,  $k_3 \in \mathbb{R}$ . Jeho přibližným řešením jsou  $k_1 = 1,618e-3$ ,  $k_2 = 19,248473$ ,  $k_3 = 2757,815279$ , a tedy tlak  $p$ , nutný ke vnoření kruhové plochy o poloměru  $r$  do hloubky 0,3 m měkké zeminy je

$$p = 0,001678e^{19,248473r} + 2757,815279r.$$

V níže uvedeném příkladu ilustrujeme použití metody prosté iterace a metody Newtonovy pro řešení systémů nelineárních rovnic.

Grafickou metodou určete počet kořenů systému rovnic

$$\begin{aligned} f_1(x, y) &\equiv x^2 - x + y^2 = 0 \\ f_2(x, y) &\equiv x^2 - y^2 - y = 0 \end{aligned} \quad (1)$$

a nultou approximaci  $[x^{(0)}, y^{(0)}]$  kořene, ležícího uvnitř 1. kvadrantu. Tuto approximaci zpřesněte třemi kroky metody prosté iterace a dále Newtonovou metodou tak, aby chyba výsledné approximace byla menší, než  $\varepsilon = 5e-6$ . Užijte normu  $\|\cdot\|_\infty$ .

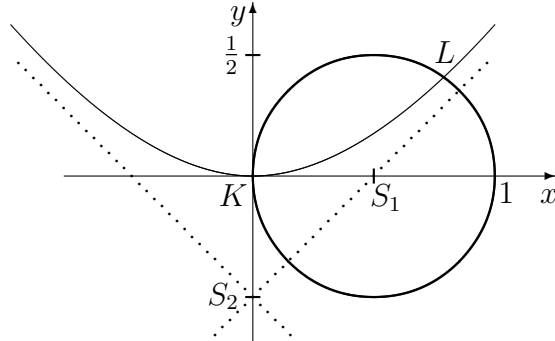
a) *Grafická metoda:* Doplněním  $x^2 - x$  v první rovnici na úplný čtverec získáme

$$x^2 - x + y^2 = 0 \iff \left(x - \frac{1}{2}\right)^2 + y^2 = \frac{1}{4},$$

což je rovnice kružnice se středem  $S_1 = [\frac{1}{2}, 0]$  a poloměrem  $\frac{1}{2}$ . Analogicky je

$$x^2 - y^2 - y = 0 \iff x^2 - \left(y + \frac{1}{2}\right)^2 = -\frac{1}{4}$$

rovnice hyperboly se středem  $S_2 = [0, -\frac{1}{2}]$  a průsečíky s osami v bodech  $[0, 0]$ ,  $[0, -1]$ . Řešením soustavy rovnic jsou všechny průsečíky těchto kuželoseček. Na Obr. 3 jsou znázorněny kružnice, horní větev hyperboly a osy hyperboly.



Obrázek 3. Ilustrace grafické metody

Vidíme, že systém rovnic má kořeny  $K, L$ , kde zřejmě  $K = [0, 0]$ . Za nultou approximaci kořene  $L$  zvolíme bod  $[0,7; 0,4]$ .

b) *Metoda prosté iterace:* Daný systém rovnic převedeme na ekvivalentní systém tvaru  $x = F_1(x, y)$ ,  $y = F_2(x, y)$  a požadujeme, aby vektorová funkce  $F = (F_1, F_2)$  byla v okolí kořene  $L \doteq [0,7; 0,4]$  kontrakcí.  $F$  vyberme takto:

$$x^2 - x + y^2 = 0 \implies x = \pm\sqrt{x - y^2} \implies F_1(x, y) = \sqrt{x - y^2},$$

$$x^2 - y^2 - y = 0 \implies y = \frac{1 \pm \sqrt{1 + 4x^2}}{-2} \implies F_2(x, y) = \frac{1 - \sqrt{1 + 4x^2}}{-2}.$$

Namísto  $\pm$  byla znaménka zvolena tak, aby  $F_1(x, y) > 0$  i  $F_2(x, y) > 0$ . Pak

$$F'(x, y) = \begin{bmatrix} \frac{\partial F_1}{\partial x} & \frac{\partial F_1}{\partial y} \\ \frac{\partial F_2}{\partial x} & \frac{\partial F_2}{\partial y} \end{bmatrix} = \begin{bmatrix} \frac{1}{2\sqrt{x-y^2}} & \frac{-y}{\sqrt{x-y^2}} \\ \frac{2x}{\sqrt{1+4x^2}} & 0 \end{bmatrix}.$$

Odtud však plyne

$$\|F'(0,7; 0,4)\|_\infty \doteq \begin{vmatrix} 0,68 & 0,54 \\ 0,81 & 0 \end{vmatrix}_\infty = 1,22 \not< 1,$$

takže  $F$  není kontrakcí v žádném okolí bodu  $[0,7; 0,4]$  a předpokládáme, že  $F$  není kontrakcí ani v žádném okolí kořene  $L$ . Kontrakci  $F$  najdeme tímto umělým způsobem: K první rovnici z (1) přičteme rovnici druhou s výsledkem

$$\begin{aligned} 2x^2 - x - y &= 0, \\ x^2 - y^2 - y &= 0 \end{aligned}$$

a potom

$$2x^2 - x - y = 0 \implies x = \frac{1 \pm \sqrt{1 + 8y}}{4} \implies F_1(x, y) = \frac{1 + \sqrt{1 + 8y}}{4},$$

$$x^2 - y^2 - y = 0 \implies y = \frac{1 \pm \sqrt{1 + 4x^2}}{-2} \implies F_2(x, y) = \frac{1 - \sqrt{1 + 4x^2}}{-2}.$$

Odtud

$$F'(x, y) = \begin{bmatrix} 0 & \frac{1}{\sqrt{1+8y}} \\ \frac{2x}{\sqrt{1+4x^2}} & 0 \end{bmatrix}$$

a protože  $\|F'(0,7; 0,4)\|_\infty \doteq \max\{0,49; 0,81\} = 0,81 < 1$ , je  $F$  kontrakce v okolí bodu  $[0,7; 0,4]$  a předpokládáme, že i v okolí bodu  $L$ . Iterační posloupnost je tedy určena předpisem  $x^{(0)} = 0,7$ ,  $y^{(0)} = 0,4$  a

$$x^{(i+1)} = \frac{1 + \sqrt{1 + 8y^{(i)}}}{4}, \quad y^{(i+1)} = \frac{1 - \sqrt{1 + 4(x^{(i)})^2}}{-2} \quad \text{pro } i = 0, 1, \dots$$

První 3 takto vypočtené iterace jsou uvedeny v tabulce.

| $i$       | 0   | 1        | 2        | 3        |
|-----------|-----|----------|----------|----------|
| $x^{(i)}$ | 0,7 | 0,762348 | 0,742561 | 0,768018 |
| $y^{(i)}$ | 0,4 | 0,360233 | 0,411688 | 0,395208 |

c) *Newtonova metoda:* Pro zpřesnění approximace z kroku b) položíme  $x^{(0)} = 0,768018$ ,  $y^{(0)} = 0,395208$ . Jacobiova matice levých stran rovnic (1) je

$$f'(x, y) = \begin{bmatrix} \partial f_1 / \partial x & \partial f_1 / \partial y \\ \partial f_2 / \partial x & \partial f_2 / \partial y \end{bmatrix} = \begin{bmatrix} 2x - 1 & 2y \\ 2x & -2y - 1 \end{bmatrix},$$

takže pro  $i = 0, 1, \dots$  postupně řešíme systém rovnic

$$\begin{bmatrix} 2x^{(i)} - 1 & 2y^{(i)} \\ x^{(i)} & -2y^{(i)} - 1 \end{bmatrix} \begin{bmatrix} d_1^{(i)} \\ d_2^{(i)} \end{bmatrix} = \begin{bmatrix} -f_1(x^{(i)}, y^{(i)}) \\ -f_2(x^{(i)}, y^{(i)}) \end{bmatrix} \quad (2)$$

pro neznámé diference  $d_1^{(i)}, d_2^{(i)}$  a počítáme  $(i+1)$ -tou approximaci jako součet

$$x^{(i+1)} = x^{(i)} + d_1^{(i)}, \quad y^{(i+1)} = y^{(i)} + d_2^{(i)}.$$

Pro  $i = 0$  tedy z (2) vznikne systém rovnic

$$\begin{bmatrix} 0,536036 & 0,790416 \\ 1,536036 & -1,790416 \end{bmatrix} \begin{bmatrix} d_1^{(0)} \\ d_2^{(0)} \end{bmatrix} = \begin{bmatrix} 0,021977 \\ -0,038454 \end{bmatrix},$$

který má řešení  $d_1^{(0)} = 0,004119$ ,  $d_2^{(0)} = 0,025011$  a tedy

$$x^{(1)} = x^{(0)} + d_1^{(0)} = 0,772137, \quad y^{(1)} = y^{(0)} + d_2^{(0)} = 0,420219.$$

Pro  $i = 1$  nabude systém (2) tvaru

$$\begin{bmatrix} 0,544273 & 0,840438 \\ 1,544273 & -1,840438 \end{bmatrix} \begin{bmatrix} d_1^{(1)} \\ d_2^{(1)} \end{bmatrix} = \begin{bmatrix} -0,000643 \\ 0,000609 \end{bmatrix}$$

a jeho řešení je  $d_1^{(1)} = -0,000292$ ,  $d_2^{(1)} = -0,000576$ , takže

$$x^{(2)} = x^{(1)} + d_1^{(1)} = 0,771845, \quad y^{(2)} = y^{(1)} + d_2^{(1)} = 0,419644.$$

Pro  $i = 2$  má systém rovnic (2) řešení

$$d_1^{(2)} = -2,437\text{e-}7, \quad d_2^{(2)} = -3,383\text{e-}7$$

a tedy při zápisu na 6 desetinných míst je  $x^{(3)} = x^{(2)}$ ,  $y^{(3)} = y^{(2)}$ . Protože zřejmě  $\|x^{(i+1)} - x^{(i)}, y^{(i+1)} - y^{(i)}\|_\infty = \|d^{(i)}\|_\infty$  a

$$\|d^{(0)}\|_\infty = 0,025011 > \varepsilon, \quad \|d^{(1)}\|_\infty = 0,000576 > \varepsilon, \quad \|d^{(2)}\|_\infty = 3,383\text{e-}7 < \varepsilon,$$

je bod  $[x^{(2)}, y^{(2)}] = [0,771845; 0,419644]$  hledaná approximace kořene  $L$ .

### Příklady k procvičení

1. Grafickou metodou odhadněte počet a přibližnou polohu všech kořenů daného systému nelineárních rovnic  $f(x, y) = 0, g(x, y) = 0$  a pro vhodně zvolenou nultou approximaci  $[x^{(0)}, y^{(0)}]$  spočítejte kořen užitím Newtonovy metody s přesností  $\varepsilon = 0,001$ . V průběhu výpočtu zaokrouhlujte na 4 desetinná místa a v každém kroku spočítejte normu  $\|[x^{(i+1)}, y^{(i+1)}] - [x^{(i)}, y^{(i)}]\|_\infty$ .

- a)  $x^2 - y - 0,2 = 0, \quad y^2 - x - 0,3 = 0$ , pouze kořen v 1. kvadrantu
- b)  $x - \frac{1}{y} - 2 = 0, \quad (x-2)^2 + \frac{1}{4}(y+2)^2 - 1 = 0$ , kořen s větší souřadnicí na ose  $x$
- c)  $2x + 3y^2 - 2 = 0, \quad x^2 - 3y = 0$ , kořen v 1. kvadrantu
- \*d)  $x^2 - 2x - y + 0,5 = 0, \quad x^2 + 4y^2 - 4 = 0$ , kořen v 1. kvadrantu
- \*e)  $xy - y - 1 = 0, \quad x^2 - y^2 - 1 = 0$ , kořen v 1. kvadrantu
- \*f)  $x^2 - x - y = 0, \quad x^2 - y^2 - 2y = 0$ , approximujte kořen uvnitř 1. kvadrantu, druhý uhádněte.

2. Pro zadanou nultou approximaci  $[x^{(0)}, y^{(0)}]$  určete Newtonovou metodou kořen nelineárního systému  $f(x, y) = 0, g(x, y) = 0$  s přesností  $\varepsilon = 0,01$ . Ve vyznačených případech, kdy funkce  $f, g$  lze snadno nakreslit, určete také počet a přibližnou polohu všech kořenů systému. Počítejte s přesností na 4 desetinná místa, použijte normu  $\|\cdot\|_\infty$ .

- a)  $3y - 4x^2 + 1 = 0, \quad 2x - y^2 + 1 = 0$ ,  $[x^{(0)}, y^{(0)}] = [1,3; 1,8]$ , nakreslete, druhý z kořenů určete přímo z obrázku
- b)  $xy - x - 1 = 0, \quad 9(x - \frac{1}{2})^2 + y^2 - 9 = 0$ ,  $[x^{(0)}, y^{(0)}] = [1,3; 2]$ , nakreslete
- c)  $2 \cos(xy) - 1 = 0, \quad 2 \sin(x + y) - 1 = 0$ ,  $[x^{(0)}, y^{(0)}] = [2,50; 0,25]$
- d)  $2 \cos(xy) - \sin x = 0, \quad 2x \sin y - 3y \sin x + 1 = 0$ ,  $[x^{(0)}, y^{(0)}] = [1; 1]$
- e)  $4x^2 + y^2 + 2xy - y - 2 = 0, \quad 2x^2 + y^2 + 3xy - 3 = 0$ ,  $[x^{(0)}, y^{(0)}] = [0,4; 0,9]$
- f)  $2x^3 - y^2 - 1 = 0, \quad xy^3 - y - 4 = 0$ ,  $[x^{(0)}, y^{(0)}] = [1,2; 1,7]$ .

3. Užitím Newtonovy metody spočítejte druhou aproximaci  $[x^{(2)}, y^{(2)}]$  řešení nelineárního systému  $f(x, y) = 0, g(x, y) = 0$  pro zadanou počáteční aproximační  $[x^{(0)}, y^{(0)}]$ . V průběhu výpočtu zaokrouhlujte na 6 desetinných míst. V případě jednodušších funkcí  $f, g$  určete z obrázku také počet a přibližnou polohu všech kořenů systému.

- a)  $2x - e^y + 2 = 0, e^x + y - 1 = 0, [x^{(0)}, y^{(0)}] = [0; 0]$ , nakreslete
- b)  $e^x - y = 0, x + \sin y = 0, [x^{(0)}, y^{(0)}] = [-0,5; 0,5]$ , nakreslete
- c)  $\ln x - y + 1 = 0, x - y^2 + 1 = 0, [x^{(0)}, y^{(0)}] = [2; 1,5]$ , nakreslete
- d)  $x^2 - 4x + y^2 = 0, xy - 1 = 0, [x^{(0)}, y^{(0)}] = [1; 1,5]$ , nakreslete
- e)  $x^2 - 2y - 2 = 0, xy - 1 = 0, [x^{(0)}, y^{(0)}] = [1,8; 0,5]$ , nakreslete
- f)  $4(x - 1)^2 + \frac{1}{16}y^2 - 1 = 0, y - \frac{1}{x} - 0,5 = 0, [x^{(0)}, y^{(0)}] = [1,6; 1]$ ,  
nakreslete
- g)  $y^2 - x^2 - 1 = 0, (x - 2)^2 + (y - 2)^2 - 1 = 0, [x^{(0)}, y^{(0)}] = [1,2; 1,6]$ ,  
nakreslete
- h)  $x^2 - y^2 - 1 = 0, (x - 1)^2 + (y + 1)^2 - 1 = 0, [x^{(0)}, y^{(0)}] = [1,2; 0,2]$ ,  
nakreslete
- i)  $\frac{(x-1)^2}{9} + \frac{(y-2)^2}{4} - 1 = 0, y - \cos x = 0, [x^{(0)}, y^{(0)}] = [1,4; 0,2]$ , nakreslete
- j)  $y - e^{2x} - 1 = 0, x - y^2 + 9 = 0, [x^{(0)}, y^{(0)}] = [-4; 0,8]$ , další kořen  
pro počáteční aproximační  $[x^{(0)}, y^{(0)}] = [0,4; 4]$ , nakreslete
- k)  $x^2 - y^2 + 1 = 0, x^2 + \frac{y^2}{4} - 1 = 0, [x^{(0)}, y^{(0)}] = [-0,9; 1]$ , nakreslete
- l)  $x^2 - 2y - 2 = 0, x^3y - 1 = 0, [x^{(0)}, y^{(0)}] = [1,6; 0,5]$ , nakreslete
- m)  $e^x + xy - 2y + 2,4 = 0, x + y - 1,2 = 0, [x^{(0)}, y^{(0)}] = [-0,4; 1,5]$ ,
- n)  $x + 3 \ln x - y^2 = 0, 2x^2 - xy - 5y + 1 = 0, [x^{(0)}, y^{(0)}] = [0,8; 0,4]$ ,
- o)  $2 \cos x + y^2 - 4x = 0, x^2 + 2xy - 5y = 0, [x^{(0)}, y^{(0)}] = [0,5; 0]$ ,
- p)  $x^2 + 4x - y^2 - 2y - 1 = 0, x^2 + 5y - 4 = 0, [x^{(0)}, y^{(0)}] = [0,5; 0,5]$ ,  
nakreslete
- q)  $2x^2 + y^2 - 1 = 0, x^3 + 6x^2y - 1 = 0, [x^{(0)}, y^{(0)}] = [0,7; 0,3]$ .

4. Metodou prosté iterace spočítejte aproximační kořene  $[\hat{x}, \hat{y}]$  zadaného nelineárního systému. V průběhu výpočtu zaokrouhlujte na 6 desetinných míst.

- a) Grafickou metodou ověřte, že systém  $x^2 + y^2 - 1 = 0$ ,  $y - x^3 = 0$  má dva kořeny v 1. a 3. kvadrantu symetrické vzhledem k bodu  $[0, 0]$ . Kořen v 1. kvadrantu approximujte iterací  $[x^{(4)}, y^{(4)}]$  užitím nulté approximace  $[x^{(0)}, y^{(0)}] = [0,7; 0,5]$ . Ověřte konvergenci iterační posloupnosti.
- b) Ukažte, že nelineární systém rovnic  $f(x, y) = 0$ ,  $g(x, y) = 0$  ve tvaru

$$y = x^2, \quad \frac{(x-1)^2}{9} + \frac{y^2}{4} = 1$$

lze upravit na iterační tvar

$$x = \frac{2x - x^2 + y}{2} = F_1(x, y), \quad y = \frac{2x - x^2 + 8}{9} + \frac{4y - y^2}{4} = F_2(x, y),$$

approximaci  $[x^{(4)}, y^{(4)}]$  kořene počítejte pro volbu  $[x^{(0)}, y^{(0)}] = [1,4; 2]$ . Znázorněte graficky množiny bodů  $[x, y]$ , splňujících každou z daných rovnic a určete počet a polohu všech kořenů.

- c) Pro zadaný nelineární systém  $x^2 - 10x + y^2 + 8 = 0$ ,  $xy^2 + x - 10y + 8 = 0$  najděte ekvivalentní systém  $x = F_1(x, y)$ ,  $y = F_2(x, y)$ , ukažte, že v okolí bodu  $[x^{(0)}, y^{(0)}] = [0,75; 0,75]$ , je funkce  $(F_1(x, y), F_2(x, y))$  kontrakce a vypočtěte čtvrtou iteraci.
- d) Ukažte, že funkce  $(F_1(x, y), F_2(x, y))$ , kde

$$F_1(x, y) = 0,2 + 0,1(-xy^2 + 3x), \quad F_2(x, y) = 0,6 + 0,1(-x^2y^3 - 2y)$$

je kontrakcí v okolí bodu  $[x^{(0)}, y^{(0)}] = [0,5; 0,5]$  a spočítejte čtvrtou iteraci  $[x^{(4)}, y^{(4)}]$ . Dále ověřte, že výše uvedené rovnice kontrakce  $F$  tvaru

$$x = 0,2 + 0,1(-xy^2 + 3x), \quad y = 0,6 + 0,1(-x^2y^3 - 2y)$$

jsou ekvivalentní nelineárnímu systému

$$0,1xy^2 + 0,7x - 0,2 = 0, \quad 0,1x^2y^3 + 1,2y - 0,6 = 0.$$

## 4 Aproximace funkce

Tato kapitola je věnovaná procvičení řešení úlohy approximace funkce  $f(x)$ , jejíž hodnoty jsou známé jen v uzlech  $x_0, \dots, x_n$  jednoduchou funkcí  $F(x)$  *Lagrangeovou interpolací*, kdy funkce  $F(x)$  splňuje podmínu

$$F(x_i) = f(x_i) \text{ pro } i = 0, \dots, n,$$

*Hermiteovou interpolací*, kdy

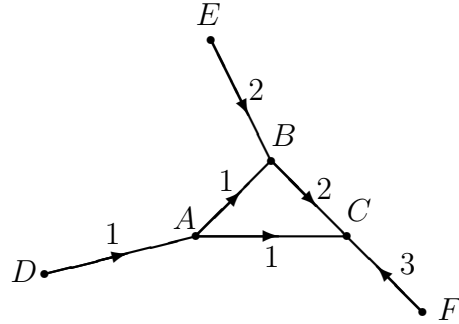
$$F(x_i) = f(x_i) \text{ a také } F'(x_i) = f'(x_i) \text{ pro } i = 0, \dots, n$$

a nakonec *diskrétní metodou nejmenších čtverců*, kdy funkce  $F$  minimalizuje hodnotu součtu

$$(F(x_0) - f(x_0))^2 + \dots + (F(x_n) - f(x_n))^2.$$

Níže uvedená řešená úloha naznačuje, že diskrétní metoda nejmenších čtverců, prezentovaná v [5], odstavec 9.3, je použitelná na řešení širší třídy úloh.

Za účelem zjištění nadmořské výšky bodů  $A, B, C$  bylo změřeno šest výškových rozdílů, znázorněných na Obr. 4, kde nadmořské výšky bodů  $D, E, F$  jsou nulové. Najděte co nejlepší aproximace výšek bodů  $A, B$  a  $C$ .



Obrázek 4. Naměřené výškové rozdíly

Každý naměřený výškový rozdíl poskytuje jednu lineární rovnici mezi nadmořskými výškami  $x_A, x_B, x_C$  bodů  $A, B, C$ :

$$\begin{bmatrix} 1 & 0 & 0 \\ 0 & 1 & 0 \\ 0 & 0 & 1 \\ -1 & 1 & 0 \\ 0 & -1 & 1 \\ -1 & 0 & 1 \end{bmatrix} \begin{bmatrix} x_A \\ x_B \\ x_C \end{bmatrix} = \begin{bmatrix} 1 \\ 2 \\ 3 \\ 1 \\ 2 \\ 1 \end{bmatrix}$$

Označíme-li sloupcové vektory matice této soustavy postupně  $a^{(1)}, a^{(2)}, a^{(3)}$  a vektor pravých stran  $b$ , pak jsou hodnoty jejich skalárních součinů  $\langle a^{(1)}, a^{(1)} \rangle = 3, \langle a^{(2)}, a^{(1)} \rangle = -1, \langle a^{(3)}, a^{(1)} \rangle = -1, \langle b, a^{(1)} \rangle = -1$  atd., takže normální rovnice mají tvar

$$\begin{bmatrix} 3 & -1 & -1 \\ -1 & 3 & -1 \\ -1 & -1 & 3 \end{bmatrix} \begin{bmatrix} x_A \\ x_B \\ x_C \end{bmatrix} = \begin{bmatrix} -1 \\ 1 \\ 6 \end{bmatrix}$$

a jejich řešením obdržíme výšky  $x_A = 1,25$ ,  $x_B = 1,75$ ,  $x_C = 3$ .

Pro stanovení hodnot  $x_A, x_B, x_C$  z předchozího příkladu zřejmě stačí provést tři měření; například ta, která přísluší prvním třem uvedeným rovnicím. Je však ověřeno, že větší množství měření a řešení přeurčeného systému rovnic metodou nejmenších čtverců poskytuje výsledek zpravidla méně závislý na chybách měření.

## 4.1 Lagrangeova a Hermiteova interpolace

**Příklad 1.** Pro níže uvedenou úlohu interpolace a) i b) najděte interpolační polynom  $P(x)$  v Lagrangeově i Newtonově tvaru.

- a)  $P(1) = 4$ ,  $P(3) = 2$ .
- b)  $P(x_0) = y_0$ ,  $P(x_1) = y_1$  pro libovolná  $x_0 \neq x_1$ .

(bez zaokrouhllování)

**Příklad 2.** V případě a) a b) najděte Lagrangeův i Newtonův interpolační polynom funkce s hodnotami  $y_i$  v uzlech  $x_i$  z tabulky.

a)

|       |   |   |   |   |
|-------|---|---|---|---|
| $x_i$ | 0 | 2 | 3 | 4 |
| $y_i$ | 3 | 1 | 5 | 7 |

b)

|       |    |   |   |   |   |
|-------|----|---|---|---|---|
| $x_i$ | -1 | 0 | 2 | 3 | 4 |
| $y_i$ | 8  | 3 | 1 | 5 | 7 |

(bez zaokrouhllování)

**Příklad 3.** Najděte Newtonův interpolační polynom funkce  $f(x) = \cos x$  v uzlech

- a)  $x_0 = 0$ ,  $x_1 = 1$ ,
- b)  $x_0 = 0$ ,  $x_1 = 1$ ,  $x_2 = 2$ ,
- c)  $x_0 = 0$ ,  $x_1 = 1$ ,  $x_2 = 2$ ,  $x_3 = 3$ ,
- d)  $x_0 = 0$ ,  $x_1 = 1$ ,  $x_2 = 2$ ,  $x_3 = 3$ ,  $x_4 = 4$ .

Jaké jsou absolutní chyby approximací a) - d) v bodě  $x = 1,5$ ?

(4 desetinná místa)

**Příklad 4.** V případě a) i b) najděte Newtonův interpolační polynom funkce  $f$  užitím hodnot  $y_i = f(x_i)$  v uzlech  $x_i$  z tabulky.

a)

|       |   |   |    |     |
|-------|---|---|----|-----|
| $x_i$ | 0 | 1 | 2  | 5   |
| $y_i$ | 2 | 3 | 12 | 147 |

b)

|       |   |   |     |    |     |
|-------|---|---|-----|----|-----|
| $x_i$ | 0 | 1 | 1,5 | 2  | 5   |
| $y_i$ | 2 | 3 | 8   | 12 | 147 |

(bez zaokrouhlování)

**Příklad 5.** Sestrojte Newtonův interpolační polynom funkce  $f(x) = \sqrt{x}$  v uzlech  $x_0 = 100$ ,  $x_1 = 121$ ,  $x_2 = 144$  a s jeho pomocí approximujte hodnotu  $\sqrt{115}$ . Jaká je absolutní chyba této approximace?

(4 desetinná místa)

**Příklad 6.** Najděte Newtonův interpolační polynom  $N(x)$  funkce  $f(x) = \log x - \frac{x-1}{x}$  v uzlech 4, 8, 10 a pomocí hodnoty  $N(5,25)$  approximujte  $\log(5,25)$ . Jaká je absolutní chyba této approximace?

( $\log = \log_{10}$ , počítejte s přesností na 5 desetinných míst)

**Příklad 7.** Newtonovým interpolačním polynomem funkce  $f(x) = \sqrt[3]{x}$  v uzlech  $x_0 = 4$ ,  $x_1 = 5$ ,  $x_2 = 6$  approximujte hodnotu  $\sqrt[3]{4,8}$  a určete absolutní chybu této approximace.

(5 desetinných míst)

**Příklad 8.** Newtonovým interpolačním polynomem funkce  $f(x) = \cos(\pi x)$  v uzlech  $x_0 = 0$ ,  $x_1 = 0,25$ ,  $x_2 = 0,5$  approximujte hodnotu  $\cos \frac{\pi}{6}$  a určete absolutní chybu této approximace.

(6 desetinných míst)

**Příklad 9.** V případě a) i b) rozhodněte, zda je funkce  $s(x)$  kubický splajn případně přirozený kubický splajn.

a)  $s(x) = \begin{cases} 1 - \frac{7}{8}x + \frac{3}{16}x^2 + \frac{1}{16}x^3, & x \in \langle -1, 0 \rangle, \\ 1 - \frac{7}{8}x + \frac{3}{16}x^2 + \frac{1}{16}x^3, & x \in \langle 0, 2 \rangle, \\ \frac{9}{2} - \frac{49}{8}x + \frac{45}{16}x^2 - \frac{5}{16}x^3, & x \in \langle 2, 3 \rangle. \end{cases}$

$$\text{b) } s(x) = \begin{cases} 1 + \frac{23}{15}x + \frac{4}{5}x^2 + \frac{4}{15}x^3, & x \in \langle -2, 0 \rangle, \\ 1 + \frac{23}{15}x + \frac{4}{5}x^2 - \frac{4}{3}x^3, & x \in \langle 0, 1 \rangle, \\ -\frac{7}{5} + \frac{131}{15}x - \frac{32}{5}x^2 + \frac{16}{15}x^3, & x \in \langle 1, 3 \rangle. \end{cases}$$

**Příklad 10.** Najděte Hermiteův interpolační polynom funkce  $f$ , jejíž hodnoty v uzlech interpolace jsou uvedeny v tabulce.

|           |    |    |
|-----------|----|----|
| $x_i$     | -1 | 2  |
| $f(x_i)$  | 4  | -1 |
| $f'(x_i)$ | 0  | 3  |

Ověrte všechny definiční podmínky Hermiteova polynomu. Jaká je přibližná hodnota  $f(1)$ ?

(bez zaokrouhlování)

**Příklad 11.** Najděte a) Hermiteův interpolační polynom a b) Hermiteův interpolační kubický splajn funkce  $f$  v uzlech z tabulky.

|           |    |    |   |
|-----------|----|----|---|
| $x_i$     | -1 | 0  | 2 |
| $f(x_i)$  | 0  | -1 | 2 |
| $f'(x_i)$ | -1 | 1  | 4 |

(bez zaokrouhlování)

**Příklad 12.** Najděte Hermiteův interpolační kubický splajn pro uzly  $x_i$  a hodnoty  $y_i$ ,  $y'_i$  uvedené v tabulce.

|        |   |    |   |
|--------|---|----|---|
| $x_i$  | 0 | 1  | 4 |
| $y_i$  | 2 | 5  | 1 |
| $y'_i$ | 1 | -1 | 2 |

Ověrte všechny definiční podmínky Hermiteova kubického splajnu.

(6 desetinných míst)

**Příklad 13.** Funkci  $f$ , jejíž hodnoty a první derivace v uzlech  $-1, 0, 1$  jsou uvedeny v tabulce approximujte a) Hermiteovým interpolačním polynomem a b) Hermiteovým interpolačním kubickým splajnem.

|           |    |   |   |
|-----------|----|---|---|
| $x_i$     | -1 | 0 | 1 |
| $f(x_i)$  | -1 | 0 | 1 |
| $f'(x_i)$ | 0  | 0 | 0 |

(bez zaokrouhllování)

**Příklad 14.** Funkci  $f(x) = x + \sin x$  approximujte a) Hermiteovým interpolačním polynomem a b) Hermiteovým interpolačním kubickým splajnem v uzlech  $x_0 = 1,5$ ,  $x_1 = 2$ ,  $x_2 = 3$ . Hodnotami interpolantů a) a b) approximujte hodnotu  $f(2,5)$  a uveďte absolutní chyby těchto approximací.

(6 desetinných míst)

**Příklad 15.** Funkci  $f(x) = \ln x$  approximujte a) Hermiteovým interpolačním polynomem a b) Hermiteovým interpolačním kubickým splajnem v uzlech  $x_0 = 1$ ,  $x_1 = 2$ ,  $x_2 = 3$  a  $x_3 = 4$ . Hodnotami interpolantů a) a b) approximujte hodnotu  $f(2,5)$  a uveďte absolutní chyby těchto approximací.

(4, resp. 6 desetinných míst)

**Příklad 16.** Hodnotu  $e^{0,15}$  approximujte pomocí a) Newtonova a b) Hermiteova interpolačního polynomu funkce  $f(x) = e^x$  v uzlech  $x_0 = 0,1$ ,  $x_1 = 0,2$ . V obou případech uveďte absolutní chybu approximace.

(6 desetinných míst)

**Příklad 17.** Funkci  $f(x) = 2^x - x$  approximujte užitím a) Newtonova interpolačního polynomu, b) Hermiteova interpolačního polynomu a c) Hermiteova interpolačního kubického splajnu v uzlech 1, 2, 4. Jaké jsou absolutní chyby těchto approximací v bodě  $x = 3,5$ ?

(4 desetinná místa)

**Příklad 18.** Aproximujte hodnotu  $\sin\left(\frac{3\pi}{4}\right)$  Hermiteovým interpolačním polynomem funkce  $f(x) = \sin(\pi x)$  v uzlech  $x_0 = 0,5$ ,  $x_1 = 0,7$ ,  $x_2 = 1$ . Jaká je absolutní chyba této approximace?

(6 desetinných míst)

## 4.2 Diskrétní metoda nejmenších čtverců

**Příklad 1.** Funkci  $f$ , jejíž hodnoty v uzlech  $x_i$  jsou uvedeny v tabulce, approximujte kvadratickým polynomem.

|          |   |   |   |   |
|----------|---|---|---|---|
| $x_i$    | 1 | 2 | 3 | 4 |
| $f(x_i)$ | 1 | 2 | 5 | 7 |

Vektor chyb approximace v uzlech z tabulky znázorněte graficky a vypočtěte jeho Euklidovskou normu (tuto normu budeme stručně nazývat *chyba approximace*).

(2 desetinná místa)

**Příklad 2.** Funkci  $f(x) = e^x$  approximujte polynomem 1. stupně v uzlech  $x_i = -1 + 0,5i$  pro  $i = 0, 1, 2, 3, 4$ . Vypočtěte chybu approximace i absolutní chybu approximace hodnoty  $e^{0,25}$ .

(5 desetinných míst)

**Příklad 3.** Approximujte průměrnou spotřebu auta [l/100 km] v obcích a mimo obce, jestliže při 3 cestách byly zjištěny tyto údaje:

| cesta | počet km v obcích | počet km mimo obce | celková spotřeba |
|-------|-------------------|--------------------|------------------|
| 1     | 30                | 100                | 8 l              |
| 2     | 90                | 210                | 20 l             |
| 3     | 25                | 150                | 11 l             |

(4 desetinná místa)

**Příklad 4.** V případě a) i b) approximujte funkci  $f$ , jejíž známé hodnoty  $y_i = f(x_i)$  jsou uvedeny v tabulce, polynomem ve tvaru  $c_0 + c_1 x$ .

a) 

|       |    |   |   |   |
|-------|----|---|---|---|
| $x_i$ | 1  | 2 | 4 | 8 |
| $y_i$ | -1 | 3 | 5 | 0 |

b) 

|       |    |   |   |   |   |
|-------|----|---|---|---|---|
| $x_i$ | -1 | 1 | 3 | 5 | 7 |
| $y_i$ | 1  | 3 | 4 | 5 | 6 |

(6 desetinných míst)

**Příklad 5.** Funkci  $f$ , jejíž hodnoty  $y_i = f(x_i)$  v uzlech  $x_i$  jsou uvedeny v tabulce, approximujte kvadratickým polynomem.

|       |    |    |    |   |    |    |    |
|-------|----|----|----|---|----|----|----|
| $x_i$ | -3 | -2 | -1 | 0 | 1  | 2  | 3  |
| $y_i$ | 4  | 2  | 3  | 0 | -1 | -2 | -5 |

(4 desetinná místa)

**Příklad 6.** Funkci  $f$ , jejíž hodnoty  $y_i = f(x_i)$  v uzlech  $x_i$  jsou uvedeny v tabulce, approximujte funkci ve tvaru

$$a \cdot \frac{1}{x} + b.$$

|       |    |   |   |     |
|-------|----|---|---|-----|
| $x_i$ | -1 | 1 | 2 | 3   |
| $y_i$ | 1  | 3 | 2 | 1,7 |

Vypočtěte chybu approximace.

(3 desetinná místa)

**Příklad 7.** Funkci, jejíž naměřené hodnoty jsou uvedeny v tabulce, approximujte funkci ve tvaru  $a + b \cdot e^{-x}$ .

|       |      |      |      |      |
|-------|------|------|------|------|
| $x_i$ | 0    | 0,5  | 1    | 1,5  |
| $y_i$ | 3,57 | 2,99 | 2,62 | 2,33 |

(4 desetinná místa)

**Příklad 8.** Funkci  $f(x) = x^2$  approximujte lineární kombinací funkcí 1,  $\sin x$  a  $\cos x$  v uzlech  $x_1 = -1$ ,  $x_2 = 0$ ,  $x_3 = 1$  a  $x_4 = 2$ . Vypočtěte chybu approximace.

(3 desetinná místa)

**Příklad 9.** Funkci  $f$ , jejíž naměřené hodnoty jsou uvedeny v tabulce, approximujte kvadratickým polynomem  $f^*$ .

|       |     |      |     |     |
|-------|-----|------|-----|-----|
| $x_i$ | -1  | 0    | 1   | 2   |
| $y_i$ | 0,9 | -0,1 | 1,2 | 3,9 |

Vypočtěte chybu approximace a porovnejte ji s chybou approximace funkce  $y = x^2$  polynomem  $f^*$  v uzlech z tabulky.

(3 desetinná místa)

**Příklad 10.** Funkci  $f(x) = x^2$  approximujte lineární kombinaci funkcí 1,  $e^x$ ,  $e^{-x}$  v uzlech  $x_i = -2 + i$  pro  $i = 1, 2, 3, 4$ . Vypočtěte chybu approximace.

(3 desetinná místa)

**Příklad 11.** Najděte přibližné řešení níže uvedených přeurovených soustav lineárních rovnic a), b), c) metodou nejmenších čtverců a vždy vypočtěte chybu approximace.

a) 
$$\begin{cases} x_1 + x_2 = 1 \\ x_1 - x_2 = 1 \\ x_1 + 2x_2 = 3 \end{cases}$$

b) 
$$\begin{cases} x + 2y = 6 \\ 2x + 4y = 11 \\ 7x + 8y = 24 \end{cases}$$

$$c) \quad \begin{cases} a + b + c + d = 4 \\ a - b + c - d = 1 \\ a - b - c - d = -3 \\ a + b - c - d = 0 \\ a - b + c + d = 2 \end{cases}$$

(počítejte bez zaokrouhlování)

**Příklad 12.** Funkci  $f(x) = |x|$  approximujte kvadratickým polynomem v uzlech  $x_1 = -1,5$ ,  $x_2 = -1$ ,  $x_3 = -0,5$ ,  $x_4 = 0$  a  $x_5 = 0,2$ . Jaká je chyba approximace?

(4 desetinná místa)

## 5 Počáteční úlohy pro obyčejné diferenciální rovnice (ODR)

Podle Newtonova zákona je rychlosť ochlazovania tělesa v studeném prostredí úmerná rozdielu medzi teplotou tělesa a teplotou prostredí. Tedy pre funkcie teploty  $y(x)$  tělesa a teploty  $a(x)$  okolního vzduchu v čase  $x$  existuje kladná konstanta  $K$  tak, že

$$y'(x) = -K(y(x) - a(x)).$$

Tato rovnica je využívána napríklad v soudním lékařství. Pro ilustraci vyřešíme tuto jednoduchou úlohu:

*Najdete dobu  $\delta t$  [hod] od okamžiku vraždy do času, kdy byla naměřena teplota  $24^{\circ}\text{C}$  těla oběti za předpokladu, že tělo se nacházelo v místnosti o konstantní teplotě  $21^{\circ}\text{C}$ .*

Předpokládáme, že na začátku časového intervalu  $(0, \delta t)$  je teplota těla  $y(0) = 37^{\circ}\text{C}$ . Použijeme-li v soudním lékařství běžný koeficient  $K = 0,22314$ , vznikne počáteční úloha

$$y'(x) = -0,22314(y(x) - 21), \quad y(0) = 37,$$

jejíž řešení lze snadno najít metodou separace proměnných ve tvaru

$$y(x) = 21 + 16e^{-0,22314x}.$$

Našim úkolem je najít dobu  $\delta t$  s vlastností  $y(\delta t) = 24$ , tj.

$$21 + 16e^{-0,22314\delta t} = 24 \iff \delta t = 7,50191106 \text{ hodin.}$$

Tedy doba mezi vraždou a měřením teploty těla je přibližně 7 hodin, 30 minut a 7 sekund.

Znalosti řešení výše uvedené motivační úlohy využijeme pro experimentální porovnání přesnosti těch numerických metod, které budou v této kapitole procvičovány.

**Příklad.** Řešení počáteční úlohy

$$y'(x) = -0,22314(y(x) - 21) \quad v \quad (0, 1), \quad y(0) = 37$$

aproximujte **a)** Eulerovou metodou, **b)** modifikací Eulerovy metody (Heunovou metodou), **c)** klasickou čtyřbodovou Rungeovou-Kuttovou metodou, **d)** implicitní Eulerovou metodou, **e)** lichoběžníkovou metodou s krokem  $h = 0,25$  a vypočtěte absolutní chyby těchto aproximací v bodě  $x_4 = 1$  užitím hodnoty přesného řešení  $y(1) = 33,8000$ . Zaokrouhlujte na 4 desetinná místa.

**Výsledky:**

| $i$ | $x_i$        | $y_i^{Eul}$ | $y_i^{Heun}$ | $y_i^{RK}$ | $y_i^{ImplEul}$ | $y_i^{Lich}$ |
|-----|--------------|-------------|--------------|------------|-----------------|--------------|
| 0   | 0            | 37          | 37           | 37         | 37              | 37           |
| 1   | 0,25         | 36,1074     | 36,1323      | 36,1318    | 36,1074         | 36,1317      |
| 2   | 0,50         | 35,2646     | 35,3117      | 35,3108    | 35,2646         | 35,3105      |
| 3   | 0,75         | 34,4688     | 34,5356      | 34,5343    | 34,4688         | 34,5339      |
| 4   | 1,0          | 33,7174     | 33,8016      | 33,8000    | 33,7174         | 33,7994      |
|     | $y(1) - y_4$ | 0,0826      | -0,0016      | 0,0000     | 0,0826          | 0,0006       |

**Příklady k procvičení:**

Řešení níže uvedených počátečních úloh 1 - 25 approximujte s krokem  $h = 0,25$

- a) Eulerovou metodou,
- b) modifikací Eulerovy metody (Heunovou metodou),
- c) klasickou čtyřbodovou Rungeovou-Kuttovou metodou,
- d) implicitní Eulerovou metodou,
- e) lichoběžníkovou metodou.

$$1. \quad y' = xy^2 \quad v \quad (0,1), \quad y(0) = 0,1$$

2.  $y' = x - y$ , v (0,1),  $y(0) = 0$
3.  $y' = x(1 + 2y)$ , v (0,1),  $y(0) = 2$
4.  $y' = \frac{x}{y}$ , v (1,2),  $y(1) = 2$
5.  $y' = y + x^2$ , v (0,1),  $y(0) = 1$
6.  $y' = x^2y$ , v (0,1),  $y(0) = 2$
7.  $y' = \frac{x-y}{x}$ , v (2,3),  $y(2) = 2$
8.  $y' = x + y$ , v (0,1),  $y(0) = 1$
9.  $y' = 2y$ , v (0,1),  $y(0) = 1$
10.  $y' = y^2 \sin(x)$ , v (0,1),  $y(0) = 1$
11.  $y' = y + e^{-x}$ , v (0,1),  $y(0) = 1$
12.  $y' = -y + e^{-x}$ , v (0,1),  $y(0) = 1$
13.  $y' = \sqrt{1 - y^2}$ , v (0,1),  $y(0) = 0$
14.  $y' = \frac{x}{y}$ , v (0,1),  $y(0) = 1$
15.  $y' = x + x^2 + y^2$ , v (0,1),  $y(0) = 0$
16.  $y' = y + 2$ , v (0,1),  $y(0) = 1$
17.  $y' = y - e^x$ , v (0,1),  $y(0) = 0,1$
18.  $y' = xy$ , v (0,1),  $y(0) = 1$
19.  $y' = x^2y^2$ , v (0,1),  $y(0) = 1$
20.  $y' = y - 2\frac{x}{y}$ , v (0,1),  $y(0) = 1$
21.  $y' = y^2 - 3x^2 - 1$ , v (0,1),  $y(0) = 1$
22.  $y' = xy + 1$ , v (0,1),  $y(0) = 0$
23.  $y' = -y\sqrt{x}$ , v (0,1),  $y(0) = 1$
24.  $y' = \frac{1-x+y^2}{1+1,5y+x^2}$ , v (0,1),  $y(0) = 0$
25.  $y' = \frac{2y^3+1}{15y-x+5}$ , v (0,1),  $y(0) = 0$

## 6 Řešení okrajové úlohy pro ODR 2. řádu metodou sítí

V této kapitole budeme procvičovat řešení okrajové úlohy pro ODR

$$-a^2y'' + py' + qy = f \text{ na intervalu } (0, l) \quad (1)$$

s Dirichletovou, Neumannovou nebo Newtonovou okrajovou podmínkou v každém z hraničních bodů 0 a  $l$ . Hodnota hledané funkce  $y(x)$  má nejčastěji význam teploty nebo koncentrace příměsi v bodu  $x$ . Pak koeficient

- $a^2 > 0$  druhé derivace  $y''$  je tepelná vodivost nebo difuzivita příměsi,
- $p(x)$  první derivace  $y'$  je rychlosť toku látky,
- $q(x) \geq 0$  funkce  $y$  je absorpcie příp. reakce,
- $f(x)$  na pravé straně je intenzita zdrojů tepla nebo příměsi.

Význam Dirichletovy okrajové podmínky je zřejmý. Význam dalších typů okrajových podmínek je odvozen od skutečnosti, že  $-a^2y'(x)$  udává intenzitu toku tepla nebo příměsi přes bod  $x$  v kladném směru osy  $x$ . Pak Neumannova okrajová podmínka, kterou lze zapsat ve tvaru

$$a^2y'(0) = c_0 \text{ případně } -a^2y'(l) = c_l,$$

předepisuje intenzitu toku tepla nebo příměsi přes hraniční bod 0 případně  $l$  ven z intervalu  $\langle 0, l \rangle$ . Newtonova přestupová okrajová podmínka

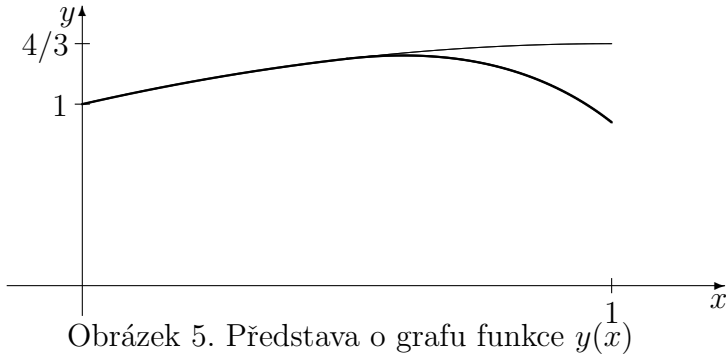
$$a^2y'(0) = \alpha_0(u(0) - u_{\text{ext}}) \text{ případně } -a^2y'(l) = \alpha_l(u(l) - u_{\text{ext}})$$

říká, že intenzita toku tepla nebo příměsi ven z intervalu  $\langle 0, l \rangle$  je úměrná rozdílu teploty nebo koncentrace příměsi v hraničním bodu intervalu a teploty nebo koncentrace příměsi  $u_{\text{ext}}$  vně intervalu. Koeficient úměrnosti  $\alpha_0 > 0$  případně  $\alpha_l > 0$  charakterizuje tepelnou „prostupnost“ rozhraní mezi intervalem a jeho okolím. Řešení úlohy metodou sítí ilustruje tento příklad:

*Metodou sítí s krokem  $h = 0,2$  approximujte teplotu  $y(x)$  látky s tepelnou vodivostí  $0,2 \text{ W m}^{-1}({}^0\text{C})^{-1}$ , protékající intervalem  $\langle 0, 1 \rangle$  rychlostí  $1,5 \text{ m s}^{-1}$  a zahřívané s intenzitou  $1 - x \text{ W m}^{-1}$ . Látka do intervalu vtéká přes bod 0 o teplotě  $1 {}^0\text{C}$  a přes bod 1 teplo z intervalu uniká s intenzitou  $0,4 \text{ W}$ .*

*Fyzikální představa:* Částice látky protékají intervalem délky 1 m konstantní rychlostí  $1,5 \text{ ms}^{-1}$ , takže v něm pobudou  $2/3 \text{ s}$  a po tuto dobu jsou zahřívány s intenzitou, lineárně klesající z hodnoty 1 na 0, tj. o průměru

$1/2 \text{ W m}^{-1}$ . Jejich teplota by se proto měla zvýšit z  $1^{\circ}\text{C}$  pro  $x = 0$  na  $4/3^{\circ}\text{C}$  pro  $x = 1$ . Viz tenký graf na Obr. 5. Navíc však teplo uniká z intervalu přes bod 1 s intenzitou  $0,4 \text{ W}$ , což způsobuje pokles teploty v bodu 1 a v jeho blízkém okolí. Tento odhad průběhu teploty (grafu funkce  $y(x)$ ) je na Obr. 5 znázorněn tučně.



*Řešení:* Jde o úlohu (3) s koeficienty  $a^2 = 0,2$ ,  $p(x) = 1,5$ ,  $q(x) = 0$  a  $f(x) = 1 - x$  a s okrajovými podmínkami  $y(0) = 1$ ,  $-0,2y'(1) = 0,4$ , tj.

$$-0,2y'' + 1,5y' = 1 - x \quad \text{v } (0,1), \quad y(0) = 1, \quad -0,2y'(1) = 0,4.$$

*Řešení metodou sítí:* S krokem  $h = 0,2$  rozdělíme interval  $\langle 0, 1 \rangle$  pomocí uzlů  $x_0 = 0$ ,  $x_1 = 0,2$ ,  $x_2 = 0,4$ ,  $x_3 = 0,6$ ,  $x_4 = 0,8$ ,  $x_5 = 1$  na 5 podintervalů. Metoda sítí poskytne přibližné hodnoty  $y_i \doteq y(x_i)$  pro  $i = 0, \dots, 5$ . Z Dirichletovy podmínky  $y(0) = 1$  plyne  $y_0 = 1$  a zbývající hodnoty  $y_1, \dots, y_5$  jsou řešením systému lineárních rovnic, vzniklého diskretizací rovnic, získaných z dané ODR pro  $x = x_i$ ,  $i = 1, \dots, 5$  následujícím způsobem. V rovnici

$$-0,2y''(x_i) + 1,5y'(x_i) = 1 - x_i,$$

aproximujeme  $y'(x_i)$  centrální diferencí  $(y_{i+1} - y_{i-1})/0,4$  a  $y''(x_i)$  druhou centrální diferencí  $(y_{i-1} - 2y_i + y_{i+1})/0,04$  s výsledkem

$$-0,2 \frac{y_{i-1} - 2y_i + y_{i+1}}{0,04} + 1,5 \frac{y_{i+1} - y_{i-1}}{0,4} = 1 - x_i.$$

Po vynásobení  $h^2 = 0,04$  a po úpravě vznikne systém rovnic

$$\begin{array}{rcl} -0,35y_0 & +0,40y_1 & -0,05y_2 & = 0,032 \\ -0,35y_1 & +0,40y_2 & -0,05y_3 & = 0,024 \\ -0,35y_2 & +0,40y_3 & -0,05y_4 & = 0,016 \\ -0,35y_3 & +0,40y_4 & -0,05y_5 & = 0,008 \\ -0,35y_4 & +0,40y_5 & -0,05y_6 & = 0 \end{array}.$$

Za  $y_0$  do 1. rovnice dosadíme hodnotu 1 a za  $y_6$  do 5. rovnice dosadíme vyjádření z diskretizace Neumannovy podmínky centrální diferencí:

$$-0,2y'(1) = 0,4 \implies -0,2 \frac{y_6 - y_4}{0,4} = 0,4 \implies y_6 = y_4 - 0,8.$$

Vznikne systém rovnic

$$\left[ \begin{array}{ccccc|c} 0,40 & -0,05 & 0 & 0 & 0 & 0,382 \\ -0,35 & 0,40 & -0,05 & 0 & 0 & 0,024 \\ 0 & -0,35 & 0,40 & -0,05 & 0 & 0,016 \\ 0 & 0 & -0,35 & 0,40 & -0,05 & 0,008 \\ 0 & 0 & 0 & -0,40 & 0,40 & -0,04 \end{array} \right],$$

který má řešení

$$y_1 = 1,10218, y_2 = 1,17746, y_3 = 1,22437, y_4 = 1,23293, y_5 = 1,13293.$$

V tabulce jsou uvedeny hodnoty  $y(x_i)$  přesného řešení

$$y(x) = 1 + \frac{26}{45}x - \frac{1}{3}x^2 - \frac{172}{675}(e^{\frac{15}{2}x} - 1) \cdot e^{-\frac{15}{2}},$$

aproximace  $y_i$  a chyby  $e_i = y(x_i) - y_i$  pro  $i = 1, \dots, 5$ :

| $i$      | 1       | 2       | 3       | 4       | 5       |
|----------|---------|---------|---------|---------|---------|
| $x_i$    | 0,2     | 0,4     | 0,6     | 0,8     | 1       |
| $y(x_i)$ | 1,10173 | 1,17509 | 1,21412 | 1,19217 | 0,98977 |
| $y_i$    | 1,10218 | 1,17746 | 1,22437 | 1,23293 | 1,13293 |
| $e_i$    | 0,00045 | 0,00237 | 0,01025 | 0,04076 | 0,14316 |

Níže uvedený příklad ilustruje případy, pro něž „standardní“ metoda sítí poskytuje tzv. nestabilní approximace řešení. Je vyřešen metodou sítí a dvěma jejími jednoduchými modifikacemi, které tuto nestabilitu odstraňují.

*Aproximujte řešení úlohy*

$$-0,02y'' + 4y' = 1, \quad y(0) = 5, \quad y(1) = 0$$

*s krokem  $h = 0,2$  metodou sítí, metodou umělé difúze a upwindem. Porovnejte velikosti chyb těchto approximací.*

*Fyzikální představa:* Úloha je mj. modelem tohoto procesu: Částice proudící látky protékají intervalm délky 1 m konstantní rychlostí  $4 \text{ ms}^{-1}$ , takže v něm pobudou  $1/4 \text{ s}$  a po tuto dobu jsou zahřívány s intenzitou  $1 \text{ W m}^{-1}$ . Jejich

teplota by se proto měla zvýšit z  $5^0C$  pro  $x = 0$  na  $5,25^0C$  pro  $x = 1$ . Tomu odpovídá graf přesného řešení na Obr. 4 v celém intervalu  $(0, 1)$  s výjimkou malého podintervalu, tzv. *hraniční vrstvy* v okolí bodu 1. Z této vrstvy teplo uniká ven přes bod 1 s intenzitou, způsobující ochlazení proudící látky na teplotu  $0^0C$  v bodu  $x = 1$ . Protože látka vtéká do bodu 1 s velkou rychlostí  $4 \text{ ms}^{-1}$  a koeficient tepelné vodivosti  $0,02 \text{ W m}^{-1} (\text{ }^0\text{C})^{-1}$  je relativně malý, teplota látky se snižuje jen v malé hraniční vrstvě okolo bodu 1.

Interval  $\langle 0, 1 \rangle$  rozdělíme uzly  $x_0 = 0, x_1 = 0,2, x_2 = 0,4, x_3 = 0,6, x_4 = 0,8, x_5 = 1$  na 5 podintervalů délky  $h$  a hledáme approximace  $y_i$  hodnot  $y(x_i)$  pro  $i = 0, \dots, 5$ . Z Dirichletových podmínek plyne  $y_0 = 5$  a  $y_5 = 0$ .

*Metoda sítí:* Neznámé  $y_1, \dots, y_4$  jsou řešením systému lineárních rovnic vzniklých diskretizací identit

$$-0,02y''(x_i) + 4y'(x_i) = 1$$

pro  $i = 1, \dots, 4$  užitím centrálních diferencí. Výsledkem je soustava

$$-0,42y_{i-1} + 0,04y_i + 0,38y_{i+1} = 0,04 \quad \text{pro } i = 1, \dots, 4.$$

Po dosazení hodnot  $y_0 = 5$  a  $y_5 = 0$  vznikne systém rovnic

$$\left[ \begin{array}{cccc|c} 0,04 & 0,38 & 0 & 0 & 2,14 \\ -0,42 & 0,04 & 0,38 & 0 & 0,04 \\ 0 & -0,42 & 0,04 & 0,38 & 0,04 \\ 0 & 0 & -0,42 & 0,04 & 0,04 \end{array} \right]$$

a jeho řešením jsou approximace

$$y_1 = 0,87828, \quad y_2 = 5,53913, \quad y_3 = 0,49292, \quad y_4 = 6,17557.$$

V tabulce jsou pro  $i = 1, \dots, 4$  uvedeny hodnoty  $y(x_i)$  přesného řešení

$$y(x) = 5 + \frac{21}{4(1 - e^{200})} \cdot e^{200x} + \frac{1}{4}x,$$

jejich approximace  $y_i$  a chyby  $e_i = y(x_i) - y_i$ .

| $i$      | 1       | 2        | 3       | 4        |
|----------|---------|----------|---------|----------|
| $x_i$    | 0,2     | 0,4      | 0,6     | 0,8      |
| $y(x_i)$ | 5,05    | 5,10     | 5,15    | 5,20     |
| $y_i$    | 0,87828 | 5,53913  | 0,49292 | 6,17557  |
| $e_i$    | 4,17172 | -0,43913 | 4,65708 | -0,97557 |

Vidíme, že uzlové chyby aproximace jsou obrovské a střídají znaménka, takže neposkytují o přesném řešení žádnou rozumnou informaci. Říkáme, že tato aproximace je *nestabilní* nebo že *osciluje*. Ve skriptech [5] je vysvětleno, že takto nestabilní aproximace vznikají, když matice systému lineárních rovnic není monotónní (tj. má mimo hlavní diagonálu kladné hodnoty) a tato skutečnost je ekvivalentní s podmínkou

$$\text{existuje } i \in \{0, \dots, n\} \text{ tak, že } a^2 < \left| \frac{h}{2} p(x_i) \right|. \quad (2)$$

*Metoda umělé difúze:* Je-li řešení metodou sítí nestabilní, tj. je-li splněna podmínka (2), pak v řešené okrajové úloze nahradíme koeficient  $a^2$  nejmenším větším koeficientem  $\bar{a}^2$  tak, aby

$$\bar{a}^2 \geq \left| \frac{h}{2} p(x_i) \right| \text{ pro } i = 0, \dots, n$$

a takto modifikovaná úloha se řeší metodou sítí. V řešené úloze je  $a^2 = 0,02$  a  $|hp(x_i)/2| = 0,4$  pro  $i = 0, \dots, 5$  a proto položíme  $\bar{a}^2 = 0,4$  a metodou sítí řešíme úlohu

$$-0,4y'' + 4y' = 1, \quad y(0) = 5, \quad y(1) = 0.$$

Vznikne systém rovnic

$$\left[ \begin{array}{cccc|c} 0,8 & 0 & 0 & 0 & 4,04 \\ -0,8 & 0,8 & 0 & 0 & 0,04 \\ 0 & -0,8 & 0,8 & 0 & 0,04 \\ 0 & 0 & -0,8 & 0,8 & 0,04 \end{array} \right]$$

s monotónní maticí a jeho řešením jsou aproximace  $y_1 = 5,05$ ,  $y_2 = 5,10$ ,  $y_3 = 5,15$ ,  $y_4 = 5,20$ . Ty jsou v režimu zaokrouhlování na 5 desetinných míst totožné s hodnotami přesného řešení.

*Upwind:* Tato metoda se liší od metody sítí tím, že derivaci  $y'(x_i)$  místo centrální diferencí  $(y_{i+1} - y_{i-1})/(2h)$  approximujeme

$$\begin{cases} \text{zpětnou diferencí } (y_i - y_{i-1})/h & \text{pro } p > 0, \\ \text{diferencí směrem dopředu } (y_{i+1} - y_i)/h & \text{pro } p < 0. \end{cases}$$

Protože v řešené úloze  $p = 4 > 0$ , užijeme zpětné diference s výsledkem

$$-0,02 \frac{y_{i-1} - 2y_i + y_{i+1}}{0,04} + 4 \frac{y_i - y_{i-1}}{0,2} = 1$$

a po úpravě

$$-0,82y_{i-1} + 0,84y_i - 0,02y_{i+1} = 0,04$$

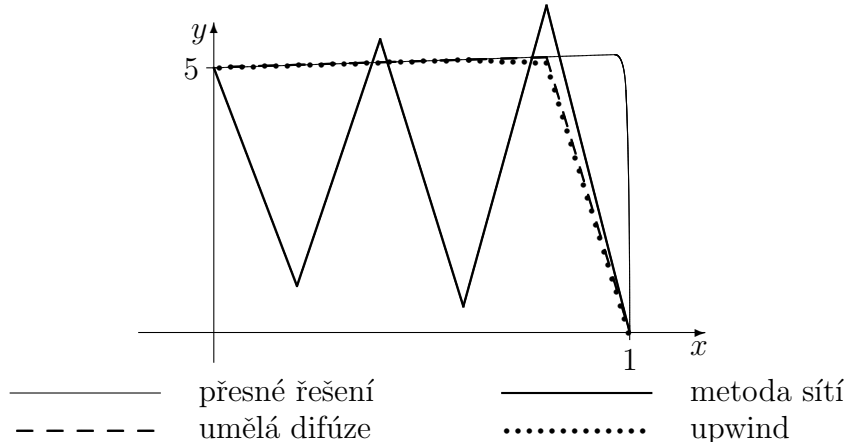
pro  $i = 1, \dots, 4$ . Dosazením  $y_0 = 5$  a  $y_5 = 0$  vznikne systém rovnic s monotonní maticí

$$\left[ \begin{array}{cccc|c} 0,84 & -0,02 & 0 & 0 & 4,14 \\ -0,82 & 0,84 & -0,02 & 0 & 0,04 \\ 0 & -0,82 & 0,84 & -0,02 & 0,04 \\ 0 & 0 & -0,82 & 0,84 & 0,04 \end{array} \right].$$

Přesné hodnoty řešení dané úlohy, vypočtené approximace  $y_1, y_2, y_3, y_4$  a jejich chyby jsou uvedeny v tabulce:

| $i$      | 1       | 2       | 3       | 4       |
|----------|---------|---------|---------|---------|
| $x_i$    | 0,2     | 0,4     | 0,6     | 0,8     |
| $y(x_i)$ | 5,05    | 5,10    | 5,15    | 5,20    |
| $y_i$    | 5,05000 | 5,09992 | 5,14688 | 5,07195 |
| $e_i$    | 0,0     | 0,00008 | 0,00312 | 0,12805 |

Grafy přesného řešení úlohy a lineárních splajnů přiřazených approximacím, vypočteným třemi numerickými metodami, jsou znázorněny na Obr. 6.



Obrázek 6. Grafy řešení úlohy a jeho approximací

### Příklady k procvičení:

Řešení okrajových úloh z příkladů 1 - 35 approximujte metodou sítí s daným krokem  $h$ .

1.  $-y'' - 2y' + y = 0, \quad y(-1) = 8, \quad y(0) = 0, \quad h = 0,25$
2.  $-y'' + y = -2e^x, \quad y'(-1) = 0, \quad y(0) = 0, \quad h = 0,2$

3.  $-y'' - 0,5e^x y' = 2x, \quad y'(0) - 2y(0) = -1, \quad y(1) = 3, \quad h = 0,25$
4.  $-y'' + x^2 y = -x^3, \quad y'(0) = -1, \quad y'(1,2) = 1, \quad h = 0,4$
5.  $-0,1y'' + y' = 3x + 1, \quad y(0) = 20, \quad 0,1y'(1) + 0,5y(1) = 2,5, \quad h = 0,25$
6.  $-0,25y'' + y' = 1, \quad y(0) = 1, \quad -0,25y'(1) = 0,5y(1), \quad h = 0,25$
7.  $-0,001y'' - (x^2 + 1)y' = 0,5, \quad y(0) = 0, \quad y(1) = 1, \quad h = 0,2$
8.  $-y'' + y = x, \quad y(0) = 1, \quad y(1) = 2, \quad h = 0,2$
9.  $-y'' = -6x, \quad y(0) + y'(0) = 0, \quad y(1) - y'(1) = -2, \quad h = 0,2$
10.  $-y'' + 0,1y = 1, \quad y(0) = 1, \quad y'(2) = 5, \quad h = 0,5$
11.  $-y'' + 0,3x^2 y = x, \quad y'(0) = -1, \quad y(1) = 2, \quad h = 0,25$
12.  $-y'' + x^2 y = 2x, \quad y(0) = 0, \quad y'(0,8) = -1, \quad h = 0,2$
13.  $-y'' + (x + 2)y = e^x, \quad y(0) - y'(0) = 1, \quad y(1) = -1, \quad h = 0,25$
14.  $-y'' + \frac{1}{x+1}y = \ln(x + 1), \quad 2y(0) - y'(0) = 0, \quad y(1) = 1, \quad h = 0,25$
15.  $-0,5y'' + y = 1, \quad 0,5y'(0) = 1, \quad y(1) = 1, \quad h = 0,2$
16.  $-0,2y'' + y' = x^2, \quad y(0) = 1, \quad -0,2y'(1) = 2y(1) - 2, \quad h = 0,2$
17.  $-y'' + 2y = x, \quad y(0) = 0, \quad -y'(1) = 4y(1) - 2, \quad h = 0,2$
- \*18.  $-0,2y'' + y' = 2, \quad y(0) = 0, \quad y(1) = 0, \quad h = 0,25$
19.  $-y'' + 0,5y' = 1, \quad y(0) = 1, \quad -y'(1) = 1, \quad h = 0,2$
20.  $-y'' - 2y' = x, \quad y'(0) = 0,5y(0) - 1, \quad y(1) = 1, \quad h = 0,25$
21.  $-0,1y'' + y' = x, \quad y(0) = 1, \quad -0,1y'(1) = y(1), \quad h = 0,2$
22.  $-y'' + 4y' = x^2, \quad y(0) = 1, \quad -y'(1) = 2y(1) - 1, \quad h = 0,25$
23.  $-0,4y'' + y' = 0,5, \quad y(0) = 1, \quad -0,4y'(1) = 2y(1) - 1, \quad h = 0,2$
24.  $-0,1y'' + y' = 1, \quad y(0) = 2, \quad -0,1y'(1) = 0,5y(1), \quad h = 0,25$
25.  $-0,5y'' + y' = 2, \quad y(0) = 0, \quad y(1) = 0, \quad h = 0,25$
26.  $-y'' + 5y' = 1, \quad y(0) = 1, \quad y(1) = 0, \quad h = 0,2$
27.  $-y'' + (x + 2)y = x, \quad y'(1) = 0, \quad y'(2) = 0, \quad h = 0,2$

28.  $-0,25y'' + y' = 1, \quad y(0) = 1, \quad -0,25y'(1) = 0,5y(1), \quad h = 0,25$
29.  $-y'' + xy = x, \quad y(0) - 2y'(0) = -1, \quad 2y(1) + y'(1) = 1, \quad h = 0,2$
30.  $-y'' + y = x, \quad y(0) = 0, \quad y'(1) = 0, \quad h = 0,2$
31.  $-y'' + y = x, \quad y(0) + y'(0) = 3, \quad 2y(1) + y'(1) = -2, \quad h = 0,2$
32.  $-y'' + y = 4xe^x, \quad y(0) = 0, \quad y(1) = 0, \quad h = 0,2$
33.  $-0,1y'' + y' = x, \quad y(0) = 1, \quad y(1) + 0,1y'(1) = 0, \quad h = 0,2$
34.  $-y'' + \frac{e^x}{x+1}y = x^2, \quad 2y(0) - y'(0) = -1, \quad y(1) + 2y'(1) = 1, \quad h = 0,2$
35.  $-y'' + xy = 3x, \quad y(0) = 0, \quad y(4) = 0, \quad h = 1.$

Řešení okrajových úloh z příkladů 36 a 37 approximujte metodou sítí, metodou umělé difúze a upwindem se zadaným krokem  $h$ .

- \*36.  $-0,04y'' + 5y' = x, \quad y(0) = 1, \quad y(2) = -1, \quad h = 0,4$
- \*37.  $-0,1y'' + (x + 2)y' = 0,5, \quad y(0) = 2, \quad y'(1) = -2, \quad h = 0,2.$

## 7 Numerická integrace

Numerická integrace se používá pro přibližný výpočet určitých integrálů všude tam, kde integrál nelze vypočítat přesně nebo tam, kde je na výpočet různých integrálů nutno použít jednoho postupu. První z uvedených případů může nastat z důvodu, že pro daný integrand neexistuje elementární primitivní funkce nebo proto, že hodnoty integrované funkce jsou známy jen v konečném počtu bodů; tak je tomu v této úloze:

*Rychlosť  $v(t)$  [m/s] rakety vypuštenej ze Zeme ve vertikálním smere byla namerena 6 krát každých 5 s. Viz tabuľka. Použijte (složené) Simpsonovo pravidlo pro approximaci výšky rakety po 30 s letu.*

|              |   |      |      |       |       |       |       |
|--------------|---|------|------|-------|-------|-------|-------|
| $t$ [s]      | 0 | 5    | 10   | 15    | 20    | 25    | 30    |
| $v(t)$ [m/s] | 0 | 20,2 | 60,0 | 113,9 | 176,1 | 241,2 | 303,5 |

*Řešení:* V daném případě je výška rakety rovna dráze  $s(30)$ , kterou urazila od startu (od času  $t = 0$ ). Tedy

$$\begin{aligned} s(30) &= \int_0^{30} v(t) dt \\ &\doteq \frac{5}{3} (0 + 4 \cdot 20,2 + 2 \cdot 60,0 + 4 \cdot 113,9 + 2 \cdot 176,1 + 4 \cdot 241,2 + 303,5) \\ &= 3794,8m \end{aligned}$$

### Příklady k procvičení

- Najděte approximace  $I_O$  a  $I_L$  integrálu

$$I(f) = \int_0^1 (1 - x^3) dx$$

obdélníkovým a lichoběžníkovým pravidlem pro počet podintervalů  $n = 2$ . Potom integrál vypočtěte přesně a určete chyby  $E_O$  a  $E_L$ .

- Úlohu z příkladu 1 vyřešte pro integrál

$$I(f) = \int_1^2 e^{-x^2} dx$$

a když víte, že  $I(f) = 0,135257$ . Zaokrouhlujte na 5 desetinných míst.

- Z příkladů 1 a 2 je patrné, že  $E_L \doteq -2E_O$  a ekvivalentně  $E_L + 2E_O \doteq 0$ . Potom pravidlo, které integrál  $I(f)$  approximuje hodnotou  $(I_L + 2I_O)/3$  má chybu  $(E_L + 2E_O)/3$  a mělo by tedy být velmi přesné. Vyjádřete approximace  $(I_L + 2I_O)/3$  pro hodnoty  $I_O$  a  $I_L$  z příkladů 1 a 2 jako kombinace hodnot funkce  $f$ . Jaké známé pravidlo takto vznikne?
- Najděte approximace  $I_L$  pro  $n = 1$  a  $\bar{I}_L$  pro  $n = 2$  integrálu

$$I(f) = \int_0^1 \sqrt{4 - x^2} dx$$

lichoběžníkovým pravidlem. Integrál vypočtěte přesně a určete chyby  $E_L$  a  $\bar{E}_L$ . Na základě porovnání chyb najděte co nejpřesnější approximaci ve tvaru kombinace hodnot  $I_L$  a  $\bar{I}_L$ . Jaké pravidlo pro numerickou integraci vznikne? Zaokrouhlujte na šest desetinných míst.

5. Částice se pohybuje po přímce tak, že její rychlosť  $v$  v čase  $t$  je  $v(t) = t\sqrt{8-t^3}$ . Použitím složeného Simpsonova pravidla pro  $n = 8$  určete približne, jakou dráhu  $s$  částice urazí od  $t = 0$  do  $t = 2$ .
6. Integrál  $I(f) = \int_1^{3,4} xe^x dx$
- vypočtěte přesně,
  - vypočtěte približne obdélníkovým, lichoběžníkovým i Simpsonovým pravidlem pro 6 podintervalů a určete chyby těchto approximací,
  - najděte horní odhad chyb approximací z b) užitím obecných tvarů
- $$E_O = \frac{lh^2}{24} f''(\xi_1), \quad E_L = -\frac{lh^2}{12} f''(\xi_2), \quad E_S = -\frac{lh^4}{180} f^{(4)}(\xi_3)$$
- pro délku  $l = b - a$  a vhodná  $\xi_1, \xi_2, \xi_3 \in (a, b)$ . Tyto odhady porovnejte s chybami z kroku b),
- Pro každé z použitých pravidel určete počet podintervalů, zaručující chybu, menší než  $\varepsilon = 0,1$ .
7. Příklad 6 vyřešte pro integrál  $I(f) = \int_2^4 x \ln x dx$ . Volte 4 podintervaly.
8. Určete počet podintervalů, který zaručí, že chyba approximace níže uvedených integrálů a) - f) obdélníkovým, lichoběžníkovým a Simpsonovým pravidlem bude menší, než  $\varepsilon$ .

a)  $\int_0^1 \sin(\pi x) dx, \quad \varepsilon = 0,01$

b)  $\int_0^1 e^{-2x} dx, \quad \varepsilon = 0,005$

c)  $\int_0^2 \sin(x^2) dx, \quad \varepsilon = 0,001$

d)  $\int_0^1 \cos x \cdot e^x dx, \quad \varepsilon = 0,001$

e)  $\int_0^1 e^{-x} \sin x dx, \quad \varepsilon = 0,0005$

f)  $\int_{-1}^2 (x^3 + e^{-x}) dx, \quad \varepsilon = 0,000005$

9. Vzorce pro dvoubodovou a tříbodovou Gaussovou kvadraturu zjednodušte pro interval  $\langle -1, 1 \rangle$ . Integrál

$$I(f) = \int_{-1}^1 \frac{x+1}{x^2-x+1,25} dx = 1,69191 \quad \text{aproximujte}$$

a) dvoubodovou a tříbodovou Gaussovou kvadraturou,

b) Simpsonovým pravidlem pro  $n = 2$  a  $n = 4$ ,

vypočtěte jejich chyby  $E_{G2}$ ,  $E_{G3}$ ,  $E_{S2}$ ,  $E_{S4}$  a porovnejte je.

10. Integrály a) - c) approximujte dvoubodovou Gaussovou kvadraturou a jednoduchým Simpsonovým pravidlem a vypočtěte chyby těchto approximací.

a)  $\int_1^e \frac{1}{x(1 + \ln^2 x)} dx = 0,785398$

b)  $\int_1^2 \frac{\ln x}{1+x} dx = 0,147221$

c)  $\int_0^{0,5} \sin(e^{t/2}) dt = 0,451976$

11. Integrály a) - d) approximujte tříbodovou Gaussovou kvadraturou a Simpsonovým pravidlem pro  $n = 4$  a vypočtěte chyby těchto approximací.

a)  $\int_1^\pi x \sin x dx = 2,840424$

b)  $\int_0^{2\pi} (\cos x)^2 (\sin x)^2 dx = 0,785398$

c)  $\int_0^3 \frac{1}{1+t^2+t^4} dt = 0,895372$

d)  $\int_0^4 \sqrt{1+\sqrt{x}} dx = 6,075896$

12. Integrál

$$\int_0^2 \frac{\sin x}{x} dx = 1,605413$$

aproximujte tříbodovou Gaussovou kvadraturou a Simpsonovým pravidlem pro  $n = 8$  a vypočtěte chyby těchto approximací. Jakou hodnotu přiřadíte funkci  $\sin x/x$  pro  $x = 0$ ?

13. Integrál

$$I = \int_{-1}^1 \int_{-1}^1 e^{0,9x-1,1y} dx dy$$

vypočtěte přesně, approximujte

- a) jednoduchým obdélníkovým pravidlem
- b) jednoduchým lichoběžníkovým pravidlem
- c) jednoduchým Simpsonovým pravidlem

a vypočtěte chyby všech approximací.

14. Integrál z příkladu 13 approximujte složeným

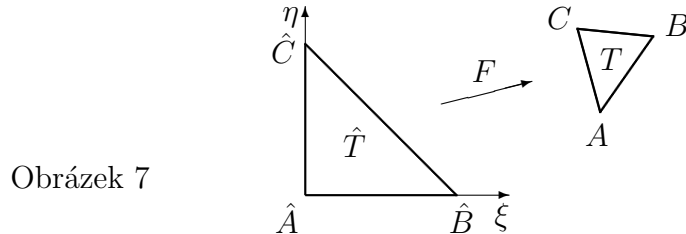
- a) obdélníkovým pravidlem,
- b) lichoběžníkovým pravidlem a
- c) Simpsonovým pravidlem,

když obě strany čtverce  $\langle -1, 1 \rangle \times \langle -1, 1 \rangle$  rozdělít na 4 podintervaly a vypočtěte chyby těchto approximací.

15. Odvod'te vzorec pro výpočet plochy  $|T|$  trojúhelníka  $T = \overline{ABC}$  s vrcholy  $A = [a_1, a_2]$ ,  $B = [b_1, b_2]$ ,  $C = [c_1, c_2]$ . Počítejte  $|T| = \int \int_T dx dy$  transformací  $F$ :

$$\begin{aligned} x &= a_1 + \xi(b_1 - a_1) + \eta(c_1 - a_1) \\ y &= a_2 + \xi(b_2 - a_2) + \eta(c_2 - a_2) \end{aligned}$$

na trojúhelník  $\hat{T} = \overline{\hat{A}\hat{B}\hat{C}}$  s vrcholy  $\hat{A} = [0, 0]$ ,  $\hat{B} = [1, 0]$ ,  $\hat{C} = [0, 1]$  z Obr. 7.



Obrázek 7

16. Pro body  $A = [1; 0]$ ,  $B = [2; 0,5]$  a  $C = [0,5; 2]$  a pro trojúhelník  $T = \overline{ABC}$  approximujte integrál

$$I(f) = \int \int_T (x^3 - 0,5y^3 - 4(x+y)y) dxdy = -6,38672$$

každým ze tří známých pravidel.

17. Numerickou integrací vypočtěte přesnou hodnotu integrálu

$$I(f) = \int \int_{\Omega} (2 - (x - 0,5)^2 - 2y^2) dxdy$$

přes polygon  $\Omega = \overline{ABCDEFG}$ , když  $A = [1,5; 0,5]$ ,  $B = [0,7; 0,9]$ ,  $C = [0; 0,7]$ ,  $D = [-0,6; 0,2]$ ,  $E = [0; -0,8]$ ,  $F = [0,6; -0,9]$ ,  $G = [1,6; -0,4]$ .  
 $\{I(f) = 3,738625.\}$

## 8 Řešení okrajové úlohy pro ODR 2. řádu metodou konečných prvků

V této kapitole jsou metodou konečných prvků (stručně MKP) řešeny konkrétní příklady okrajové úlohy pro ODR 2. řádu stejného typu jako v kapitole 6. Vzorové řešení MKP je předvedeno na příkladu

$$-0,2y'' + 1,5y' = 1 - x \quad v \quad (0, 1), \quad y(0) = 1, \quad -0,2y'(1) = 0,4$$

s krokem  $h = 0,2$ , který je stejný jako v kap. 6. Postup řešení MKP je pouze uveden. Jednotlivé kroky ani použitá terminologie a značení nejsou vysvětleny. MKP je vysvětlována v přednáškách a v kapitole 14 skript [5].

*Řešení úlohy* MKP spočívá v postupném provedení těchto kroků 1 až 3:

1. *Galerkinova (slabá) formulace*: Nejprve se libovolnou (blíže nespecifikovanou) *testovací funkcí*  $v$  s vlastností  $v(0) = 0$  obě strany dané ODR vynásobí a zintegrují přes daný interval s výsledkem

$$\int_0^1 (-0,2y'' + 1,5y')v \, dx = \int_0^1 (1-x)v \, dx. \quad (1)$$

Levá strana se *symetrizuje* tím, že součin  $-0,2y''v$  se integruje metodou per partes s volbou  $s' = -0,2y'', t = v$  a při počítání  $[s \cdot t]_0^1 = [-0,2y''v]_0^1$  se užijí identity  $-0,2y'(1) = 0,4$  a  $v(0) = 0$ :

$$\begin{aligned} \int_0^1 (-0,2y''v) \, dx &= \left| \begin{array}{ll} s' = -0,2y'' & t = v \\ s = -0,2y' & t' = v' \end{array} \right| = [-0,2y''v]_0^1 + \int_0^1 0,2y'v' \, dx \\ &= 0,4v(1) + \int_0^1 0,2y'v' \, dx. \end{aligned}$$

Dosazením výsledku do (1) a umístěním právě všech členů obsahujících hledané řešení  $y$  na levou stranu vznikne identita

$$\int_0^1 (0,2y'v' + 1,5y'v) \, dx = \int_0^1 (1-x)v \, dx - 0,4v(1). \quad (2)$$

Levou stranu (2) značíme standardně  $B(y, v)$  a pravou  $L(v)$ , takže

$$B(y, v) = \int_0^1 (0,2y'v' + 1,5y'v) \, dx \quad \text{a} \quad L(v) = \int_0^1 (1-x)v \, dx - 0,4v(1).$$

Pro Galerkinovu formulaci úlohy zbývá najít co největší množiny *přípustných řešení*  $W$  a *testovacích funkcí*  $V$  tak, aby identita (2) měla na obou stranách konečnou hodnotu pro všechna  $y \in W$  a  $v \in V$ . Symetrizací byla náročnost tohoto požadavku na funkce  $y$  a  $v$  sjednocena, *přirozená* Neumannova okrajová podmínka byla „zabudovaná“ do rovnosti (2), ale splnění *podstatných* Dirichletových okrajových podmínek je nutno požadovat. Proto položíme

$$W = \{y \in H^1(0, 1); y(0) = 1\}, \quad V = \{v \in H^1(0, 1); v(0) = 0\}$$

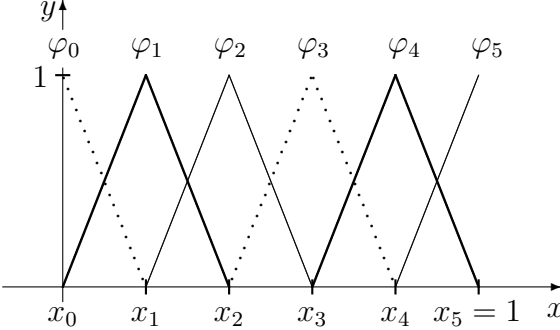
a tedy *Galerkinova (slabá) formulace* zní:

$$\text{Najděte } y \in W \text{ tak, aby } B(y, v) = L(v) \text{ pro všechna } v \in V. \quad (3)$$

2. *Diskretizace*: Interval rozdělíme uzly  $x_i = ih$  pro  $i = 0, \dots, 5$  s krokem  $h = 0,2$ , tj. budeme hledat přibližné řešení ve tvaru

$$y_h = \varphi_0 + y_1\varphi_1 + \dots + y_5\varphi_5.$$

Grafy nenulových hodnot funkcí  $\varphi_0, \dots, \varphi_5$  jsou znázorněny na Obr. 8.

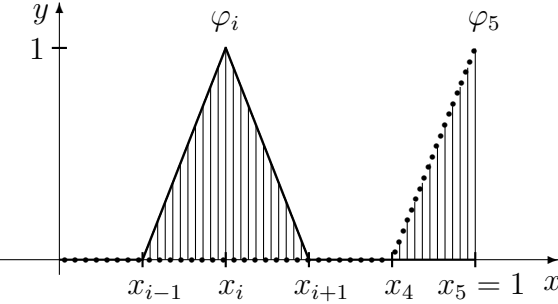


Obrázek 8

Funkce  $y_h$  se dosadí za  $y$  do (3) a jako testovací funkce se použijí  $\varphi_1, \dots, \varphi_5$ ; tj. právě ty funkce, u nichž je v  $y_h$  neznámý koeficient. Takto vznikne systém 5 rovnic pro neznámé  $y_1, \dots, y_5$  s rozšířenou třídiagonální maticí

$$\left[ \begin{array}{ccc|c} B(\varphi_1, \varphi_1) & B(\varphi_2, \varphi_1) & & \tilde{L}(\varphi_1) \\ B(\varphi_1, \varphi_2) & B(\varphi_2, \varphi_2) & B(\varphi_3, \varphi_2) & L(\varphi_2) \\ & B(\varphi_2, \varphi_3) & B(\varphi_3, \varphi_3) & B(\varphi_4, \varphi_3) \\ & & B(\varphi_3, \varphi_4) & B(\varphi_4, \varphi_4) \\ & & & B(\varphi_4, \varphi_5) \end{array} \right] \left[ \begin{array}{c} L(\varphi_1) \\ L(\varphi_2) \\ L(\varphi_3) \\ L(\varphi_4) \\ L(\varphi_5) \end{array} \right],$$

kde  $\tilde{L}(\varphi_1) = L(\varphi_1) - B(\varphi_0, \varphi_1)$ . Při výpočtu hodnot prvků této matice lze využít skutečnosti, že  $\int_0^1 \varphi_i(x)dx = 0,2$  pro  $i = 1, \dots, 4$  a  $\int_0^1 \varphi_5(x)dx = 0,1$  jsou obsahy trojúhelníků vyšrafovovaných na Obr. 9 a funkce  $\varphi_i$  mají hodnoty



Obrázek 9

$$\varphi_i(x) = \begin{cases} 5(x - x_{i-1}) & \text{pro } x \in (x_{i-1}, x_i) \cap \langle 0, l \rangle \\ 5(x_{i+1} - x) & \text{a } \varphi'_i(x) = \begin{cases} 5 & \text{pro } x \in (x_{i-1}, x_i) \cap \langle 0, l \rangle \\ -5 & \text{pro } x \in (x_i, x_{i+1}) \cap \langle 0, l \rangle \\ 0 & \text{jinak} \end{cases} \end{cases} \quad (4)$$

pro  $i = 0, \dots, 5$ . Protože  $\varphi_{i-1}$  i  $\varphi_i$  jsou nenulové jen pro  $x \in (x_{i-1}, x_i)$ , platí

$$\begin{aligned} B(\varphi_{i-1}, \varphi_i) &= \int_{x_{i-1}}^{x_i} (0,2\varphi'_{i-1}\varphi'_i + 1,5\varphi'_{i-1}\varphi_i) dx = \int_{x_{i-1}}^{x_i} (-5 - 7,5\varphi_i) dx \\ &= -1 - 7,5 \int_{x_{i-1}}^{x_i} \varphi_i dx = -1,75 \end{aligned}$$

pro  $i = 1, \dots, 5$ . Analogicky

$$\begin{aligned} B(\varphi_{i+1}, \varphi_i) &= \int_{x_i}^{x_{i+1}} (0,2\varphi'_{i+1}\varphi'_i + 1,5\varphi'_{i+1}\varphi_i) dx = \int_{x_i}^{x_{i+1}} (-5 + 7,5\varphi_i) dx \\ &= -1 + 7,5 \int_{x_{i-1}}^{x_i} \varphi_i dx = -0,25 \end{aligned}$$

pro  $i = 1, \dots, 4$ ,

$$\begin{aligned} B(\varphi_i, \varphi_i) &= \int_{x_{i-1}}^{x_i} (0,2\varphi'^2_i + 1,5\varphi'_i\varphi_i) dx + \int_{x_i}^{x_{i+1}} (0,2\varphi'^2_i + 1,5\varphi'_i\varphi_i) dx \\ &= 1 + 7,5 \int_{x_{i-1}}^{x_i} \varphi_i dx + 1 - 7,5 \int_{x_i}^{x_{i+1}} \varphi_i dx = 2 \end{aligned}$$

pro  $i = 1, \dots, 4$  a

$$\begin{aligned} B(\varphi_5, \varphi_5) &= \int_{0,8}^1 (0,2\varphi'^2_5 + 1,5\varphi'_5\varphi_5) dx \\ &= \int_{0,8}^1 (0,2 \cdot 25 + 7,5\varphi_5) dx = 1 + 0,75 = 1,75. \end{aligned}$$

Zbývá spočítat složky vektoru pravých stran. Dle (4) je pro  $i = 1, \dots, 4$

$$\begin{aligned} L(\varphi_i) &= \int_{x_{i-1}}^{x_{i+1}} \varphi_i(x)(1-x)dx = \left| \begin{array}{l} t = x - x_i \\ dt = dx \end{array} \right| \\ &= \int_{-0,2}^{0,2} \varphi_i(t+x_i)(1-x_i-t)dt \\ &= (1-x_i) \int_{-0,2}^{0,2} \varphi_i(t+x_i)dt - \int_{-0,2}^{0,2} t\varphi_i(t+x_i)dt = 0,2(1-x_i) \\ &\quad - 5 \int_{-0,2}^0 t(0,2+t)dt - 5 \int_0^{0,2} t(0,2-t)dt = 0,2(1-x_i) \text{ a} \\ L(\varphi_5) &= \int_{0,8}^1 \varphi_5 \cdot (1-x)dx - 0,4 = \int_{0,8}^1 \varphi_5 dx - \int_{0,8}^1 x\varphi_5 dx - 0,4 \\ &= 0,1 - 5 \int_{0,8}^1 x(x-0,8)dx - 0,4 \doteq -0,39333, \end{aligned}$$

takže rozšířená matice soustavy je

$$\left[ \begin{array}{ccc|c} 2 & -0,25 & & 1,91 \\ -1,75 & 2 & -0,25 & 0,12 \\ & -1,75 & 2 & 0,08 \\ & & -1,75 & 0,04 \\ & & & -0,39333 \end{array} \right].$$

3. Řešením soustavy rovnic získáme hodnoty  $y_1, \dots, y_5$  přibližného řešení v uzlech  $x_1, \dots, x_5$ , uvedené v Tabulce 1.

| $i$            | 1       | 2       | 3       | 4       | 5       |
|----------------|---------|---------|---------|---------|---------|
| $x_i$          | 0,2     | 0,4     | 0,6     | 0,8     | 1       |
| $y(x_i)$       | 1,10173 | 1,17509 | 1,21412 | 1,19217 | 0,98977 |
| $y_i$          | 1,10213 | 1,17704 | 1,22144 | 1,21218 | 0,98742 |
| $\bar{y}_{2i}$ | 1,10185 | 1,17562 | 1,21586 | 1,19622 | 0,98917 |

Tabulka 1

V tabulce jsou uvedeny i approximace  $\bar{y}_{2i}$  řešení v uzlech  $x_i$ , vypočtené metodou konečných prvků s krokem  $h = 0,1$  a hodnoty  $y(x_i)$  přesného řešení

$$y(x) = 1 + \frac{26}{45}x - \frac{1}{3}x^2 - \frac{172}{675} \left( e^{\frac{15}{2}x} - 1 \right) e^{-\frac{15}{2}}.$$

### Příklady k procvičení

a) *Úlohy s konstantními koeficienty a s nulovou absorpcí.* Řešení úloh 1 - 13 nejprve schematicky nakreslete na základě znalosti fyzikálního významu a potom je approximujte MKP s daným krokem  $h$ .

- \*1.  $-y'' = 1$ ,  $y(0) = 1$ ,  $y(1) = 0$ ,  $h = 1/6$
- 2.  $-0,5y'' = 1$ ,  $y(0) = -1$ ,  $-0,5y'(1) = 1$ ,  $h = 1/5$
- 3.  $-y'' = 1$ ,  $y(0) = -1$ ,  $-y'(1) = 1$ ,  $h = 1/5$
- 4.  $-y'' = 0$ ,  $y(0) = 2$ ,  $-y'(1) = 2(y(1) - 0,5)$ ,  $h = 1/4$
- 5.  $-0,2y'' = 1,5$ ,  $0,2y'(0) = 0,5y(0)$ ,  $y(1) = 0$ ,  $h = 1/4$
- 6.  $-0,4y'' = 1,5$ ,  $0,4y'(0) = 1$ ,  $y(1) = 2$ ,  $h = 1/5$
- 7.  $-4y'' + 3y' = -1$ ,  $y(0) = 2$ ,  $y(1) = 0$ ,  $h = 1/6$
- 8.  $-0,8y'' + y' = 1$ ,  $y(0) = 0$ ,  $-0,8y'(1) = 1$ ,  $h = 1/5$
- 9.  $-0,4y'' + y' = 2$ ,  $y(0) = -1$ ,  $-0,4y'(1) = 2y(1)$ ,  $h = 1/4$
- 10.  $-0,5y'' - y' = 1$ ,  $y(0) = 0$ ,  $y(1) = 0$ ,  $h = 1/6$
- 11.  $-0,2y'' - y' = 1$ ,  $y(0) = 0$ ,  $y(1) = 0$ ,  $h = 1/6$
- 12.  $-y'' - 0,5y' = 2$ ,  $y'(0) = 2(y(0) - 0,5)$ ,  $y(1) = 0$ ,  $h = 1/5$
- \*13.  $-2y'' - 0,4y' = 1$ ,  $2y'(0) = -1$ ,  $y(1) = 1,2$ ,  $h = 1/5$

b) *Úlohy s nekonstantním koeficientem tepelné vodivosti - rovnice v divergenčním tvaru*

- \*14.  $-[(1+x)y']' + 1,2y' = 1, y(0) = 1, -2y'(1) = 0,4(y(1) - 0,8), h = 1/5$
- 15.  $-[\cos(x)y']' - y' = -1, y'(0) = -3, y(1) = 4, h = 1/5$
- 16.  $-[(1-0,4x)y']' + 0,2y' = 1, y(0) = 0, -0,6y'(1) = 2, h = 1/4$
- 17.  $-[(1-(x-0,5)^2)y']' - 2y' = 0,8, 0,75y'(0) = 0, y(1) = 0, h = 1/4$

c) *Úlohy s kladným koeficientem absorpce nebo s proměnnou intenzitou zdrojů.* Jak naznačuje řešená úloha, je přesný výpočet hodnot  $L(\varphi_i)$  relativně složitý i pro intenzitu zdrojů  $f(x) = 1 - x$ . Proto požadujeme, aby ve shodě se standardními procedurami byly v úlohách 18 - 23 integrály přes intervaly  $(x_{i-1}, x_i)$  počítány přibližně jednoduchým lichoběžníkovým pravidlem.

- 18.  $-y'' + 0,5y = 1/(x+1), y(0) = 1, -y'(1) = 2(y(1) - 0,2), h = 1/4$
- \*19.  $-0,3y'' + y' + y = x^2, y(0) = 0 = y(1), h = 1/5$
- 20.  $-[(0,1+x)y']' + y = 1+x, 0,1y'(0) = 2, y(1) = 0, h = 1/5$
- \*21.  $-0,5y'' + 2y' + 0,4y = 2, y(0) = 1, -0,5y'(1) = 1, h = 1/4$
- 22.  $-y'' + 3y = \sin x, y(0) = 1, y(1) = 2, h = 1/5$
- \*23.  $-[(1-x^2/2)y']' + y' = e^{x/2}, y(0) = 1 = y(1), h = 1/5$

## 9 Výsledky řešení příkladů

### Kapitola 1

**1.**  $f(x) = 0 \iff \arctg x = 1/(x-1) \implies$  rovnice má 2 kořeny  $x^{(1)} \doteq -0,8$  a  $x^{(2)} \doteq 2$ . Z  $f(-1) \cdot f(-0,5) < 0$  plyne  $x^{(1)} \in (-1; -0,5)$  a z  $f(1,5) \cdot f(2) < 0$  plyne  $x^{(2)} \in (1,5; 2)$ . Po 6 krocích metody půlení  $x^{(1)} = -0,6796875 \pm 0,0078125$  a  $x^{(2)} = 1,914062 \pm 0,0078125$ . Po 1 kroku metody regula falsi  $x^{(1)} \doteq -0,6739517$  a  $|f(-0,6739517)| < 0,0073$ ,  $x^{(2)} \doteq 1,912994$  a  $|f(1,912994)| < 0,00564$ .

**2.**  $f(x) = 0 \iff \sin x = 0,2(x-1)^2 - 1 \implies$  rovnice má 2 kořeny  $x^{(1)} \doteq -0,6, x^{(2)} \doteq 3$ .  $f(-0,9) \cdot f(-0,5) < 0 \implies x^{(1)} \in (-0,9; -0,6)$  a  $f(3) \cdot f(3,4) < 0 \implies x^{(2)} \in (3; 3,4)$ . Po 6 krocích metody půlení  $x^{(1)} = -0,54375 \pm 0,00625$

a  $x^{(2)} = 3,18125 \pm 0,00625$ . Po 1 kroku metody regula falsi  $x^{(1)} \doteq -0,549018$  a  $|f(-0,549018)| < 0,00175$ ,  $x^{(2)} \doteq 3,182256$  a  $|f(3,182256)| < 0,0069$ .

**3.**  $f(x) = 0 \iff x^4 = 6 - (x - 3)^2 \implies$  rovnice má 2 kořeny  $x^{(1)} \doteq 0,5$ ,  $x^{(2)} \doteq 1,3$ .  $f(0,3) \cdot f(0,6) < 0 \implies x^{(1)} \in (0,3; 0,6)$  a po 5 krocích metody půlení  $x^{(1)} = 0,576562 \pm 0,0046875$ . Podobně  $f(1,2) \cdot f(1,8) < 0 \implies x^{(2)} \in (1,2; 1,8)$ . Po 6 krocích metody půlení  $x^{(2)} = 1,3453125 \pm 0,0046875$ . Po 2 krocích metody regula falsi  $x^{(1)} \doteq 0,573092$  a  $|f(0,573092)| < 0,00225$ ,  $x^{(2)} \doteq 1,342774$  a  $|f(1,342375)| < 0,0027$  po 9 krocích regula falsi.

**4.**  $f(x) = 0 \iff e^x = 2x + 2 \implies$  rovnice má 2 kořeny  $x^{(1)} \doteq -0,8$ ,  $x^{(2)} \doteq 1,8$ .  $f(-0,8) \cdot f(-0,5) < 0 \implies x^{(1)} \in (-0,8; -0,5)$  a po 6 krocích metody půlení  $x^{(1)} = -0,7671875 \pm 0,00469$ . Podobně  $f(1,4) \cdot f(1,8) < 0 \implies x^{(2)} \in (1,4; 1,8)$ . Po 7 krocích metody půlení  $x^{(2)} = 1,678125 \pm 0,003125$ . Po 1 kroku metody regula falsi  $x^{(1)} \doteq -0,76658$  a  $|f(-0,76658)| < 0,00225$ ,  $x^{(2)} \doteq 1,6781$  a  $|f(1,6781)| < 0,00083$  po 3 krocích regula falsi.

**5.**  $f(x) = 0 \iff \log x = 2x - 7 \implies$  rovnice má 1 kořen  $x^{(1)} \doteq 4$ .  $f(3,6) \cdot f(4) < 0 \implies x^{(1)} \in (3,6; 4)$   $\implies$  stačí provést 8 kroků metody půlení. Výsledek:  $x^{(1)} = 3,78984375 \pm 0,00078125$ . Po 1 kroku metody regula falsi je  $x^{(1)} \doteq 3,78896$  s chybou, menší než 0,00061.

**6.**  $f(x) = 0 \iff \ln x = \frac{1}{x} \implies$  rovnice má jeden kořen  $\hat{x} \doteq 1,6$ .  $f(x) = 0 \iff x = F(x)$  pro  $F(x) = e^{\frac{1}{x}}$  a  $|F'(x)| = \frac{e^{\frac{1}{x}}}{x^2}$  je klesající na  $(1,6; \infty)$ , neboť je podílem klesající funkce  $e^{\frac{1}{x}}$  a rostoucí funkce  $x^2$ . Současně  $|F'(1,6)| = 0,72978 < 1$ . Položíme tedy  $x_0 = 1,6$  a počítáme  $x_{i+1} = F(x_i)$  pro  $i = 0, 1, \dots$ . Výsledek:  $x_7 = 1,76656$  je aproximací  $\hat{x}$  s chybou, menší než 0,01.

**7.**  $f(x) = 0 \iff \ln x = \frac{x-4}{3} \implies$  rovnice má dva kořeny  $x^{(1)} \doteq 0,2$ ,  $x^{(2)} \doteq 12$ .  $f(x) = 0 \iff x = 3 \ln x + 4 \equiv F_1(x)$  a  $x = e^{(x-4)/3} \equiv F_2(x)$ .  $|F'_1(x)| = \frac{3}{x} < 1 \iff x > 3$  a  $|F'_2(x)| = \frac{1}{3}e^{(x-4)/3} < 1 \iff x < 3 \ln 3 + 4 = 7,2958$ . Tedy  $x^{(1)} \doteq 0,29031$  je vypočteno třemi kroky iterace  $x_0 = 0,2$ ,  $x_{i+1} = e^{(x_i-4)/3}$  a  $x^{(2)} \doteq 11,26539$  je vypočteno šesti kroky iterace  $x_0 = 12$ ,  $x_{i+1} = 3 \ln x_i + 4$  pro  $i = 0, 1, \dots$

**8.**  $f(x) = 0 \iff e^x = \frac{x}{2} + 2 \implies$  rovnice má dva kořeny  $x^{(1)} \doteq -4$ ,  $x^{(2)} \doteq 1$ .  $f(x) = 0 \iff x = 2e^x - 4 \equiv F_1(x)$  a  $x = \ln(2 + \frac{x}{2}) \equiv F_2(x)$ . Pak  $|F'_1(x)| = 2e^x < 1 \iff x < \ln 0,5 = -0,69315$  a  $|F'_2(x)| = \frac{1}{|4+x|} < 1 \iff x > -3$  nebo  $x < -5$ . Tedy  $x^{(1)} \doteq -3,96195$  je vypočteno čtyřmi kroky iterace  $x_0 = 4$ ,  $x_{i+1} = 2e^{x_i} - 4$  a  $x^{(2)} \doteq 0,89509$  je vypočteno šesti kroky iterace  $x_0 = 1$  a  $x_{i+1} = \ln(2 + x_i/2)$  pro  $i = 0, 1, \dots$

**9.**  $f(x) = 0 \iff 2,2x = 2^x \implies$  rovnice má dva kořeny  $x^{(1)} \doteq 1$ ,  $x^{(2)} \doteq 2,1$ .  $f(x) = 0 \iff x = \frac{e^{x \cdot \ln 2}}{2,2} \equiv F_1(x)$  a  $x = \frac{\ln(2,2x)}{\ln 2} \equiv F_2(x)$ . Pak  $|F'_1(x)| < 1 \iff x < 1,66627$  a  $|F'_2(x)| < 1 \iff x > 1,44270$ . Tedy  $x^{(1)} \doteq 0,78216$  je vypočteno devíti kroky iterace  $x_0 = 1$ ,  $x_{i+1} = \frac{e^{x_i \cdot \ln 2}}{2,2}$  a

$x^{(2)} \doteq 2,40003$  je vypočteno jedenácti kroky iterace  $x_0 = 2,1$ ,  $x_{i+1} = \frac{\ln(2,2x_i)}{\ln 2}$  pro  $i = 0, 1, \dots$

**10.**  $f(x) = 0 \iff \ln(x) = \frac{5}{8}x - 1 \implies$  rovnice má dva kořeny  $x^{(1)} \doteq 0,5$ ,  $x^{(2)} \doteq 4$ .  $f(x) = 0 \iff x = e^{\frac{5}{8}x-1} \equiv F_1(x)$  a  $x = \frac{8}{5}(\ln x + 1) \equiv F_2(x)$ . Pak  $|F'_1(x)| < 1 \iff x < 2,352$  a  $|F'_2(x)| < 1 \iff x > 1,6$ . Tedy  $x^{(1)} \doteq 0,504$  je vypočteno třemi kroky iterace  $x_0 = 0,5$ ,  $x_{i+1} = e^{\frac{5}{8}x_i-1}$  a  $x^{(2)} \doteq 3,68860$  je vypočteno osmi kroky iterace  $x_0 = 4$ ,  $x_{i+1} = 1,6(\ln x_i + 1)$  pro  $i = 0, 1, \dots$

**11.**  $f(x) = 0 \iff x = \sin x + 0,25 \implies$  rovnice má 1 kořen  $\hat{x} \doteq 1,2$ . Protože  $|F'(x)| = \cos x < 1$  pro  $x \in (1, \pi/2)$ , získáme aproximaci 1,171232 po desíti krocích iterace  $x_0 = 1,2$ ,  $x_{i+1} = \sin x_i + 0,25$  s chybou, menší než 1e-5.

**12.**  $f(x) = 0 \iff x^3 = x + 5 \implies$  rovnice má 1 kořen  $\hat{x} \doteq 2$ .  $f(x) = 0 \iff x = (x+5)^{\frac{1}{3}} \equiv F(x)$  a  $|F'(x)| = \frac{1}{3}(x+5)^{-\frac{2}{3}} < 0,101$  pro  $x > 1$ , vznikne aproximace 1,90423 s chybou, menší než 1e-3 po třech krocích iterace  $x_0 = 2$ ,  $x_{i+1} = (1+x_i)^{\frac{1}{3}}$  pro  $i = 0, 1, \dots$

**13.**  $f(x) = 0 \iff x = \ln(x+2) \implies$  rovnice má 2 kořeny  $x^{(1)} \doteq 2$  a  $x^{(2)} \doteq -1,5$ .  $f(x) = 0 \iff x = \ln(x+2) \equiv F_1(x)$  a  $x = e^x - 2 \equiv F_2(x)$ . Protože  $|F'_1(x)| = \frac{1}{|x+2|} < 1 \iff x > -1$  a  $|F'_2(x)| = e^x < 1 \iff x < 0$ , vznikne aproximace 1,14622 kořene  $x^{(1)}$  po devíti krocích iterace  $x_0 = 2$ ,  $x_{i+1} = \ln(x_i + 2)$  a aproximace  $-1,84140$  kořene  $x^{(2)}$  po šesti krocích iterace  $x_0 = -1,5$ ,  $x_{i+1} = e^{x_i} - 2$  s chybou, menší než 1e-4.

**14.**  $f(x) = 0 \iff \arccos x = \sqrt{x+1} \implies$  rovnice má 1 kořen  $\hat{x} \doteq 0,5$ . Protože  $f(x) = 0 \iff x = \cos \sqrt{x+1} \equiv F(x)$  a  $|F'(x)| = \frac{\sin \sqrt{x+1}}{2\sqrt{x+1}} < \frac{1}{2}$  pro  $x > 0$ , vznikne aproximace 0,383975 s chybou, menší než 1e-3 po jedenácti krocích iterace  $x_0 = 0,5$ ,  $x_{i+1} = \cos \sqrt{x+1}$  pro  $i = 0, 1, \dots$

**15.**  $f(x) = 0 \iff \ln x = \frac{1}{x^2+1} \implies$  rovnice má 1 kořen  $\hat{x} \doteq 1,2$ . Protože  $f(x) = 0 \iff x = e^{\frac{1}{x^2+1}} \equiv F(x)$  a  $|F'(x)| = \frac{2xe^{\frac{1}{x^2+1}}}{(x^2+1)^2}$  je klesající pro  $x \in (1, \infty)$  a  $|F'(1)| = \frac{\sqrt{e}}{2} < 1$ , vznikne aproximace 1,40148 s chybou, menší než 1e-3 po devíti krocích iterace  $x_0 = 1,2$ ,  $x_{i+1} = e^{\frac{1}{x_i^2+1}}$  pro  $i = 0, 1, \dots$

**16.**  $f(x) = 0 \iff \ln x = 1 - \frac{x}{24} \implies$  rovnice má 1 kořen  $\hat{x} \doteq 2,4$ . Protože  $f(x) = 0 \iff x = e^{1-\frac{x}{24}} \equiv F(x)$  a  $|F'(x)| = \frac{e^{1-\frac{x}{24}}}{24} < \frac{e}{24} < 1$  pro  $x > 0$ , vznikne aproximace 2,45406 s chybou, menší než 1e-4 po čtyřech krocích iterace  $x_0 = 2,4$ ,  $x_{i+1} = e^{1-\frac{x_i}{24}}$  pro  $i = 0, 1, \dots$

**17.**  $f(x) = 0 \iff x^2 - 1 = \operatorname{arctg} x \implies$  rovnice má 2 kořeny  $x^{(1)} \doteq -0,5$  a  $x^{(2)} \doteq 1,6$ .  $f(x) = 0 \iff x = \frac{\operatorname{arctg} x}{x-1} - 1 \equiv F_1(x)$ . Pro  $x \in (-1, 0)$  platí  $0 < -\operatorname{arctg} x < -x$  a tedy  $F'_1(x) = \frac{x-1-\operatorname{arctg} x(1+x^2)}{(1+x^2)(x-1)^2} > \frac{1}{(x-1)(1+x^2)} > -1$  a  $F'_1(x) < \frac{x-1-x(1+x^2)}{(x-1)^2(1+x^2)} = \frac{-x^3-1}{(x-1)^2(1+x^2)} < 0$ . Tedy  $|F'_1(x)| < 1$  pro  $x \in (-1, 0)$ .

$f(x) = 0 \iff x = \sqrt{1 + \arctg x} \equiv F_2(x)$  a  $|F'_2(x)| = \frac{1}{2(1+x^2)\sqrt{1+\arctg x}} < \frac{1}{2}$  pro  $x > 0$ . Tedy po pěti krocích iterace  $x_0 = -0,5$ ,  $x_{i+1} = \frac{\arctg x_i}{x_i - 1} - 1$  získáme approximaci  $-0,65064$  kořene  $x^{(1)}$  s chybou menší než  $1e-3$  a podobně po čtyřech krocích iterace  $x_0 = 1,6$ ,  $x_{i+1} = \sqrt{1 + \arctg x_i}$  získáme approximaci  $1,39619$  kořene  $x^{(2)}$ .

**18.**  $f(x) = 0 \iff \arctg x = 1 - 2x \implies$  rovnice má 1 kořen  $\hat{x} \doteq 0,3$ . Protože  $f(x) = 0 \iff x = \frac{1-\arctg x}{2} \equiv F(x)$  a  $|F'(x)| = \frac{1}{2(x^2+1)} < 0,5$  pro  $x > 0$ , získáme approximaci  $0,33736$  kořene  $\hat{x}$  po desíti krocích iterace  $x_0 = 0,3$ ,  $x_{i+1} = \frac{1-\arctg x_i}{2}$  pro  $i = 0, 1, \dots$  s chybou, menší než  $1e-4$ .

**19.**  $f(x) = 0 \iff \arctg x = 0,4x + 0,2 \implies$  rovnice má 3 kořeny, největší  $\hat{x} \doteq 3$ . Metoda poskytne approximaci  $\hat{x} = 2,462693$  s chybou, menší než  $1e-5$  po třech krocích.

**20.**  $f(x) = 0 \iff e^{-x} = 4 - x^2 \implies$  rovnice má 2 kořeny, největší  $\hat{x} \doteq 2$ . Metoda poskytne approximaci  $\hat{x} = 1,9646356$  s chybou menší než  $1e-6$  po třech krocích.

**21.**  $f(x) = 0 \iff x^2 = \arctg x \implies$  rovnice má 2 kořeny, největší  $\hat{x} \doteq 0,8$ . Metoda poskytne approximaci  $\hat{x} = 0,83361$  s chybou, menší než  $1e-3$  po třech krocích.

**22.**  $f(x) = 0 \iff \log x = 7 - 2x \implies$  rovnice má 1 kořen  $\hat{x} \doteq 2,8$ . Metoda poskytne approximaci  $\hat{x} = 3,789278$  s chybou, menší než  $1e-5$  po třech krocích.

**23.**  $f(x) = 0 \iff x^3 = 3(x + \frac{2}{3})^2 + \frac{26}{3} \implies$  rovnice má 1 kořen  $\hat{x} \doteq 4,3$ . Metoda poskytne approximaci  $\hat{x} = 4,41780209$  s chybou, menší než  $1e-6$  po třech krocích.

**24.**  $f(x) = 0 \iff x^3 = x + 5 \implies$  rovnice má 1 kořen  $\hat{x} \doteq 1,8$ . Metoda poskytne approximaci  $\hat{x} = 1,90416$  s chybou, menší než  $1e-3$  po třech krocích.

**25.** Newtonova metoda poskytne approximaci  $3,0304917$  kořene  $\hat{x} \in (3; 3,1)$  pro nultou approximaci  $x_0 = 3,1$  s chybou, menší než  $1e-6$  po třech krocích.

**26.**  $f(x) = 0 \iff x - 0,25 = \sin x \implies$  rovnice má 1 kořen  $\hat{x} \doteq 1,3$ . Fourierovy podmínky jsou splněny na intervalu  $\langle 1; 1,5 \rangle$  pro nultou approximaci  $x_0 = 1,5$ . Metoda poskytne approximaci  $1,171230$  s chybou, menší než  $1e-5$  po čtyřech krocích.

**27.**  $f(x) = 0 \iff e^x = x^2 - 1 \implies$  rovnice má 1 kořen  $\hat{x} \doteq -1,1$ . Fourierovy podmínky jsou splněny na intervalu  $\langle -1,5; -1 \rangle$  pro nultou approximaci  $x_0 = -1,5$ . Metoda poskytne approximaci  $-1,147758$  s chybou, menší než  $1e-4$  po čtyřech krocích.

**28.**  $f(x) = 0 \iff \ln x = \frac{x-4}{3} \implies$  rovnice má 2 kořeny, největší kladný kořen je  $\hat{x} \doteq 11$ . Fourierovy podmínky jsou splněny na intervalu  $\langle 10; 12 \rangle$  pro nultou approximaci  $x_0 = 12$ . Metoda poskytne approximaci  $11,26514$  s chybou, menší než  $1e-4$  po třech krocích.

**29.**  $f(x) = 0 \iff e^x = x + 10 \implies$  rovnice má 2 kořeny, největší je  $\hat{x} \doteq 2,5$ . Fourierovy podmínky jsou splněny na intervalu  $\langle 2, 3 \rangle$  pro nultou approximaci  $x_0 = 3$ . Metoda poskytne approximaci 2,5279632 s chybou, menší než 1e-6 po pěti krocích.

## Kapitola 2

### 2.1. Gaussova eliminační metoda a Gaussova eliminační metoda s částečným výběrem hlavních prvků

- 1.** a)  $h(A) = 2 < h(A|b) = 3$   
 b)  $h(A) = 2 = h(A|b)$ ,  $x = [-2/3 - t/3; 3 - t; t]^\top$  pro všechna  $t \in \Re$   
 Systém  $n$  rovnic  $Ax = b$  pro  $n$  neznámých má 1 řešení, když  $h(A) = h(A|b) = n$ , má nekonečně mnoho řešení, když  $h(A) = h(A|b) < n$  a nemá žádné řešení, když  $h(A) < h(A|b)$ .

- 2.** Daný systém rovnic není řešitelný Gaussovou eliminační metodou, protože matice  $A^{(2)} = \begin{bmatrix} -1 & 2 \\ 2 & -4 \end{bmatrix}$  je singulární a je řešitelný Gaussovou eliminační metodou s částečným výběrem hlavních prvků, protože jeho matice soustavy je regulární. Obecně systém rovnic  $Ax = b$  se čtvercovou maticí  $A$  rádu  $n$  je

- a) řešitelný Gaussovou eliminační metodou právě když všechny matice

$$A^{(1)} = [a_{11}], A^{(2)} = \begin{bmatrix} a_{11} & a_{12} \\ a_{21} & a_{22} \end{bmatrix}, \dots, A^{(n)} = A$$

jsou regulární a

- b) řešitelný Gaussovou eliminační metodou s částečným výběrem hlavních prvků právě když matice  $A$  je regulární.

$$\begin{aligned} \mathbf{3.} \quad & x = [-19573,2789; 12498,0340; -453,3810]^\top, \\ & A = LU = \begin{bmatrix} 1 & 0 & 0 \\ 3,6667 & 1 & 0 \\ -15,3333 & 16 & 1 \end{bmatrix} \begin{bmatrix} 0,3 & 1,2 & 20,1 \\ 0 & 0,7 & 19,3994 \\ 0 & 0 & -2,0911 \end{bmatrix} \end{aligned}$$

- 4.** a)  $x = [2; 4; 3]^\top$ , b)  $x = [1; 2; 3]^\top$ , c)  $x = [-0,6379; -1,1897; 2,6897; 0,9655]^\top$ ,  
 d)  $x = [-3,0136; 4,9900; 2,0008]^\top$ .

- 5.** a) Systém rovnic není řešitelný Gaussovou eliminační metodou a matice soustavy nemá LU-rozklad. Řešením Gaussovou eliminační metodou s

částečným výběrem hlavních prvků je vektor  $x = [1; 1; 1]^\top$ .

b)  $x = [0; 1]^\top$  je řešení Gaussovou eliminací,  $x = [1; 1]^\top$  je řešení Gaussovou eliminací s částečným výběrem,  $A = LU = \begin{bmatrix} 1 & 0 \\ 100000 & 1 \end{bmatrix} \begin{bmatrix} 0,00001 & 1 \\ 0 & -99999 \end{bmatrix}$ ,  
V c) a d) jsou řešení oběma metodami stejná.

$$\text{c)} x = [0,25; 4]^\top, A = LU = \begin{bmatrix} 1 & 0 \\ 3,96 & 1 \end{bmatrix} \begin{bmatrix} 1 & 0,25 \\ 0 & 0,02 \end{bmatrix},$$

$$\text{d)} x = [2; 3; 4]^\top, A = LU = \begin{bmatrix} 1 & 0 & 0 \\ -0,4625 & 1 & 0 \\ -0,0147 & -0,6085 & 1 \end{bmatrix} \begin{bmatrix} 2,175 & -1,006 & -0,032 \\ 0 & 1,7467 & -1,0628 \\ 0 & 0 & 1,4789 \end{bmatrix}.$$

$$6. x = [-2,1003; 1,8441; 1,8940]^\top, y = [3,5629; 3,6189; -3,6109]^\top.$$

$$\text{7. a)} \begin{bmatrix} 0,615 & -0,077 & -0,385 \\ -0,077 & 0,385 & -0,077 \\ -0,385 & -0,077 & 0,615 \end{bmatrix} \quad \text{b)} \begin{bmatrix} -10 & 20 & -10 \\ 20 & -190 & 160 \\ -10 & 160 & -140 \end{bmatrix}$$

$$\text{c)} \begin{bmatrix} 0,504 & -0,155 & 0,257 \\ -0,155 & 0,465 & -0,298 \\ 0,257 & -0,298 & 0,497 \end{bmatrix} \quad \text{d)} \begin{bmatrix} 0,048 & -0,842 & -0,955 & -0,477 \\ -0,842 & 1,296 & -1,469 & -0,734 \\ -0,955 & -1,469 & -0,998 & -0,499 \\ -0,477 & -0,734 & -0,499 & 0,251 \end{bmatrix}$$

$$\text{e)} \begin{bmatrix} 0,379 & 0,517 & -0,138 & -0,035 \\ 0,517 & 2,069 & -0,552 & -0,138 \\ -0,138 & -0,552 & 0,414 & 0,103 \\ -0,035 & -0,138 & 0,103 & 0,276 \end{bmatrix}$$

## 2.2. Symetrické pozitivně definitní matice, Choleského rozklad, Choleského metoda

1. Matice a) - e) jsou symetrické pozitivně definitní, protože jsou symetrické a v jejich LU-rozkladu má horní trojúhelníková matice  $U$  všechny prvky v hlavní diagonále kladné. Jejich Choleského rozklady jsou součiny  $U^\top U$  pro

$$\text{a)} U = \begin{bmatrix} 1,732 & 0 & 0 \\ 0,577 & 1,633 & 0 \\ 1,155 & 0,204 & 1,257 \end{bmatrix} \quad \text{b)} U = \begin{bmatrix} 1 & 0 & 0 \\ 0,5 & 0,289 & 0 \\ 0,333 & 0,289 & 0,075 \end{bmatrix}$$

$$\text{c)} U = \begin{bmatrix} 1,414 & 0 & 0 & 0 \\ -0,707 & 1,225 & 0 & 0 \\ 0 & -0,817 & 1,155 & 0 \\ 0 & 0 & -0,866 & 1,118 \end{bmatrix} \quad \text{d)} U = \begin{bmatrix} 2 & 0 & 0 & 0 \\ -0,5 & 1,937 & 0 & 0 \\ -0,5 & -0,129 & 1,932 & 0 \\ 0 & -0,516 & -0,552 & 1,852 \end{bmatrix}$$

$$\begin{aligned}
e) \quad U &= \begin{bmatrix} 1,414 & 0 & 0 \\ 0 & 1,732 & 0 \\ -0,707 & 1,155 & 1,472 \end{bmatrix} & f) \quad U &= \begin{bmatrix} 2 & 0 & 0 \\ -0,5 & 1,323 & 0 \\ 0,5 & 0,567 & 2,104 \end{bmatrix} \\
g) \quad U &= \begin{bmatrix} 1,414 & 0 & 0 \\ -0,707 & 1,225 & 0 \\ 0 & -0,817 & 1,155 \end{bmatrix} & h) \quad U &= \begin{bmatrix} 2,236 & 0 & 0 & 0 \\ 0 & 3,162 & 0 & 0 \\ 4,472 & 1,581 & 3,162 & 0 \\ 2,236 & 0 & 3,162 & 7,071 \end{bmatrix} \\
i) \quad U &= \begin{bmatrix} 2,236 & 0 & 0 \\ 0 & 3,162 & 0 \\ 4,472 & 1,581 & 3,162 \end{bmatrix}
\end{aligned}$$

**2.** a)  $x = [1; 1; 1]^\top$ , b)  $x = [1,250; 0,417; 0,333]^\top$ , c)  $x = [-1; 2; 0]^\top$ , d)  $x = [0; 0,091; 0,455]^\top$ .

**3.** Matice  $A^\top A$  je symetrická, neboť  $(A^\top A)^\top = A^\top (A^\top)^\top = A^\top A$ . Je-li  $x$  nenulový vektor, pak je nenulový i vektor  $Ax$ , neboť matice  $A$  je regulární. Pak

$$x^\top (A^\top A) x = (x^\top A^\top) Ax = (Ax)^\top Ax = \|Ax\|_2^2 > 0.$$

### 2.3. Číslo podmíněnosti matice

**1.**  $C(A) = \|A\| \cdot \|A^{-1}\|$  pro libovolnou normu matic  $\|\cdot\|$ . Pro systém rovnic  $Ax = b$  s regulární maticí  $A$  a s vektorem pravých stran  $b$  s chybou  $e_b$  splňuje chyba  $e_x$  vektoru řešení  $x$  nerovnost

$$\frac{\|e_x\|}{\|x\|} \leq \|A\| \cdot \|A^{-1}\| \frac{\|e_b\|}{\|b\|}$$

pro libovolnou normu vektorů  $\|\cdot\|$  a jí přidruženou normu matic  $\|\cdot\|$ ,  $C(B) = 3, C(D) = 42,75$

**2.**  $C(A) = 48/11$  pro  $\|\cdot\|_\infty$  a  $C(A) = 45/11$  pro  $\|\cdot\|_1$

**3.** a)  $C(A) = 24,407$ ;  $C(B) = 11,8$  b)  $C(A) = 81,9$ ;  $C(B) = 89,25$

**4.**  $C(A) = 602$  pro obě normy,  $x^{(1)} = [123; -60,88]^\top$ ,  $x^{(2)} = [130; -64,4]^\top$ .

### 2.4. Iterační Jacobiova, Gaussova-Seidelova a relaxační metoda

**1.** a)  $\hat{x} = [0,5; 1; 1,5]^\top$ , b) Soustava rovnic v pořadí 2, 3, 1 je silně diagonálně dominantní, proto obě iterační metody konvergují.

c) Jacobi:  $x^{(1)} = [0,15; -0,208; 0,813]^\top$ ,  $x^{(2)} = [0,640; 0,456; 0,701]^\top$ ,  
Gauss-Seidel:  $x^{(1)} = [0,15; -0,221; 0,693]^\top$ ,  $x^{(2)} = [0,585; 0,321; 1,086]^\top$

**2.** a)  $\hat{x} = [1; 1; 1]^\top$ . Po záměně prvních dvou rovnic bude matice systému ryze diagonálně dominantní a obě požadované metody budou konvergovat.

Jacobiova metoda:  $x^{(1)} = [1,5; 0,8; 1]^\top$ ,  $x^{(2)} = [1,04; 0,85; 0,825]^\top$ , Gaussova-Seidelova metoda:  $x^{(1)} = [1,5; 0,35; 0,713]^\top$ ,  $x^{(2)} = [1,216; 0,791; 0,894]^\top$ .

b)  $\hat{x} = [1,039; 0,805; 0,886]^\top$ . Při pořadí rovnic 3, 2, 1 bude matice systému ryze diagonální dominantní a obě požadované metody budou konvergovat.

Jacobiova metoda:  $x^{(1)} = [0,969; 1,656; 0,094]^\top$ ,  $x^{(2)} = [1,762; 1,137; 1,285]^\top$ ,  
Gaussova-Seidelova metoda:  $x^{(1)} = [0,969; 1,172; 1,043]^\top$ ,  $x^{(2)} = [1,164; 0,683; 0,872]^\top$ .

**3.** a)  $x^{(5)} = [-0,4517; 0,1198; 0,6347]^\top$ , b)  $x^{(3)} = [-0,497; 0,093; 0,636]^\top$ ,  
 $\|x^{(3)} - x^{(2)}\|_\infty = 0,133$ .

**4.**  $x = [0,787; 0,582; 0,386; 0,193]^\top$

**5.**  $x^{(1)} = [-0,2500; 0,0417; 0,3889]^\top$ ,  $x^{(2)} = [-0,3576; -0,0700; 0,4992]^\top$ ,  
 $x^{(3)} = [-0,3573; -0,1069; 0,5237]^\top$ ,  $\|x^{(3)} - x^{(2)}\|_\infty = 0,0368$ , konverguje.

**6.** a)  $x = [0,34; 0,27; -0,54; 0,70]^\top$ , b)  $x^{(3)} = [0,342; 0,273; -0,541; 0,698]^\top$ .

**7.** Jacobiova metoda :

$$x^{(1)} = [1; 3; 5]^\top, \|x^{(1)} - x^{(0)}\|_\infty = 5$$

$$x^{(2)} = [5; -3; -3]^\top, \|x^{(2)} - x^{(1)}\|_\infty = 8$$

$$x^{(3)} = [1; 1; 1]^\top, \|x^{(3)} - x^{(2)}\|_\infty = 4$$

$$x^{(4)} = [1; 1; 1]^\top, \|x^{(4)} - x^{(3)}\|_\infty = 0, \text{ konverguje}$$

Gaussova-Seidelova metoda :

$$x^{(1)} = [1; 2; -1]^\top, \|x^{(1)} - x^{(0)}\|_\infty = 2$$

$$x^{(2)} = [-5; 9; -3]^\top, \|x^{(2)} - x^{(1)}\|_\infty = 7$$

$$x^{(3)} = [-23; 29; -7]^\top, \|x^{(3)} - x^{(2)}\|_\infty = 20$$

$$x^{(4)} = [-71; 81; -15]^\top, \|x^{(4)} - x^{(3)}\|_\infty = 52, \text{ diverguje}$$

**8.** Jacobiova metoda :  $x^{(3)} = [-0,097; 0,381; 0,605; -0,105]^\top$

Gaussova-Seidelova metoda :  $x^{(2)} = [-0,105; 0,384; 0,598; -0,099]^\top$

**9.** Jacobiova metoda :  $x^{(4)} = [0,889; 0,133; 0,396; -0,714]^\top$   
 Gaussova-Seidelova metoda :  $x^{(3)} = [0,889; 0,123; 0,416; -0,715]^\top$

**10.** Jacobiova metoda :  $x^{(5)} = [0,330; 0,504; 2,230; 1,004]^\top$   
 Gaussova-Seidelova metoda :  $x^{(4)} = [0,312; 0,522; 2,271; 1,029]^\top$

**11.** Jacobiova metoda :  $x^{(6)} = [0,4258; 0,6055; 0,1055]^\top$   
 Gaussova-Seidelova metoda :  $x^{(5)} = [0,4282; 0,6071; 0,1071]^\top$   
 Relaxační Gaussova-Seidelova metoda :  $x^{(4)} = [0,4295; 0,6073; 0,1071]^\top$

### Kapitola 3

**1a)** průnik dvou parabol, dva kořeny, např. pro volbu  $[x^{(0)}, y^{(0)}] = [1,2; 1,2]$  vychází  $[x^{(1)}, y^{(1)}] = [1,1924; 1,2218], [x^{(2)}, y^{(2)}] = [1,1924; 1,2216]$  tedy kořen  $\hat{x} \doteq 1,192$ ,  $\hat{y} \doteq 1,222$ .

**1b)** průnik hyperboly a elipsy, dva kořeny, např. pro volbu  $[x^{(0)}, y^{(0)}] = [1,7; -4]$  vychází  $[x^{(1)}, y^{(1)}] = [1,7461; -3,9377], [x^{(2)}, y^{(2)}] = [1,7459; -3,9344], [x^{(3)}, y^{(3)}] = [1,7459; -3,9344]$  tedy kořen  $\hat{x} \doteq 1,746$ ,  $\hat{y} \doteq -3,934$ .

**1c)** průnik dvou parabol, dva kořeny, např. pro volbu  $[x^{(0)}, y^{(0)}] = [0,9; 0,3]$  vychází  $[x^{(1)}, y^{(1)}] = [0,8949; 0,2668], [x^{(2)}, y^{(2)}] = [0,8937; 0,2662], [x^{(3)}, y^{(3)}] = [0,8937; 0,2662]$  tedy kořen  $\hat{x} \doteq 0,894$ ,  $\hat{y} \doteq 0,266$ .

**1d)** průnik paraboly a elipsy, dva kořeny, např. pro volbu  $[x^{(0)}, y^{(0)}] = [2; 0,25]$  vychází  $[x^{(1)}, y^{(1)}] = [1,9062; 0,3125], [x^{(2)}, y^{(2)}] = [1,9007; 0,3112], [x^{(3)}, y^{(3)}] = [1,9006; 0,3112]$  tedy kořen  $\hat{x} \doteq 1,901$ ,  $\hat{y} \doteq 0,311$ .

**1e)** průnik dvou hyperbol, dva kořeny, např. pro volbu  $[x^{(0)}, y^{(0)}] = [1,75; 1,45]$  vychází  $[x^{(1)}, y^{(1)}] = [1,7172; 1,3967], [x^{(2)}, y^{(2)}] = [1,7167; 1,3953], [x^{(3)}, y^{(3)}] = [1,7167; 1,3953]$  tedy kořen  $\hat{x} \doteq 1,717$ ,  $\hat{y} \doteq 1,395$ .

**1f)** průnik paraboly a hyperboly, dva kořeny, první zřejmě  $[0, 0]$  a druhý například pro volbu  $[x^{(0)}, y^{(0)}] = [1,8; 1,5]$  vychází  $[x^{(1)}, y^{(1)}] = [1,6181; 0,9670], [x^{(2)}, y^{(2)}] = [1,5495; 0,8468], [x^{(3)}, y^{(3)}] = [1,5437; 0,8393] = [x^{(4)}, y^{(4)}]$  tedy kořen  $\hat{x} \doteq 1,544$ ,  $\hat{y} \doteq 0,839$

**2a)** průnik dvou parabol, dva kořeny, v prvním kvadrantu  $[x^{(1)}, y^{(1)}] = [1,2931; 1,8962], [x^{(2)}, y^{(2)}] = [1,2923; 1,8933]$ , odtud ihned  $\hat{x} \doteq 1,29$ ,  $\hat{y} \doteq 1,89$ , druhý z kořenů přímo z obrázku  $[-0,5; 0]$ .

**2b)**  $[x^{(1)}, y^{(1)}] = [1,3143; 1,7582], [x^{(2)}, y^{(2)}] = [1,3089; 1,7640]$ , odtud ihned  
 $\hat{x} \doteq 1,31$ ,  $\hat{y} \doteq 1,76$ .

**2c)**  $[x^{(1)}, y^{(1)}] = [2,1217; 0,5004], [x^{(2)}, y^{(2)}] = [2,1251; 0,4928]$ , odtud ihned  
 $\hat{x} \doteq 2,13$ ,  $\hat{y} \doteq 0,49$ .

**2d)**  $[x^{(1)}, y^{(1)}] = [1,0252; 1,1087], [x^{(2)}, y^{(2)}] = [1,0234; 1,1039]$ , odtud ihned  
 $\hat{x} \doteq 1,02$ ,  $\hat{y} \doteq 1,10$ .

**2e)**  $[x^{(1)}, y^{(1)}] = [0,5140; 0,9999]$ ,  $[x^{(2)}, y^{(2)}] = [0,5002; 0,9999]$ ,  $[x^{(3)}, y^{(3)}] = [0,5000; 1,0000]$ , odtud ihned  $\hat{x} \doteq 0,50$ ,  $\hat{y} \doteq 1,00$ .

**2f)**  $[x^{(1)}, y^{(1)}] = [1,2349; 1,6610], [x^{(2)}, y^{(2)}] = [1,2343; 1,6615]$ , odtud ihned  
 $\hat{x} \doteq 1,23$ ,  $\hat{y} \doteq 1,66$ .

**3a)**  $[x^{(1)}, y^{(1)}] = [-0,333333; 0,333333]$ ,  $[x^{(2)}, y^{(2)}] = [-0,335771; 0,285215]$

**3b)**  $[x^{(1)}, y^{(1)}] = [-0,547586; 0,577668]$ ,  $[x^{(2)}, y^{(2)}] = [-0,546948; 0,578713]$

**3c)**  $[x^{(1)}, y^{(1)}] = [2,341117; 1,863706]$ ,  $[x^{(2)}, y^{(2)}] = [2,200044; 1,790363]$

**3d)**  $[x^{(1)}, y^{(1)}] = [0,653846; 1,519231]$ ,  $[x^{(2)}, y^{(2)}] = [0,669343; 1,493405]$

**3e)**  $[x^{(1)}, y^{(1)}] = [1,768984; 0,564171]$ ,  $[x^{(2)}, y^{(2)}] = [1,769292; 0,565198]$

**3f)**  $[x^{(1)}, y^{(1)}] = [1,490948; 1,167598]$ ,  $[x^{(2)}, y^{(2)}] = [1,478058; 1,176513]$

**3g)**  $[x^{(1)}, y^{(1)}] = [1,122727; 1,504545]$ ,  $[x^{(2)}, y^{(2)}] = [1,129190; 1,508324]$

**3h)**  $[x^{(1)}, y^{(1)}] = [1,005405; 0,032432]$ ,  $[x^{(2)}, y^{(2)}] = [0,999508; 0,000526]$

**3i)**  $[x^{(1)}, y^{(1)}] = [1,548794; 0,023338]$ ,  $[x^{(2)}, y^{(2)}] = [1,538359; 0,032434]$

**3j)**  $[x^{(1)}, y^{(1)}] = [-8,043804; 0,997622]$ ,  $[x^{(2)}, y^{(2)}] = [-8,000005; 1]$ ,

další kořen  $[x^{(1)}, y^{(1)}] = [0,388317; 3,173540]$ ,  $[x^{(2)}, y^{(2)}] = [0,362494; 3,061857]$

**3k)**  $[x^{(1)}, y^{(1)}] = [-0,783333; 1,300000]$ ,  $[x^{(2)}, y^{(2)}] = [-0,774645; 1,265385]$

**3l)**  $[x^{(1)}, y^{(1)}] = [1,585868; 0,257389]$ ,  $[x^{(2)}, y^{(2)}] = [1,582605; 0,252314]$

**3m)**  $[x^{(1)}, y^{(1)}] = [-0,231592; 1,431592]$ ,  $[x^{(2)}, y^{(2)}] = [-0,231264; 1,431264]$

**3n)**  $[x^{(1)}, y^{(1)}] = [0,805480; 0,395749]$ ,  $[x^{(2)}, y^{(2)}] = [0,805503; 0,395774]$

**3o)**  $[x^{(1)}, y^{(1)}] = [0,450627; 0,050157]$ ,  $[x^{(2)}, y^{(2)}] = [0,450688; 0,049558]$

**3p)**  $[x^{(1)}, y^{(1)}] = [0,633929; 0,723214]$ ,  $[x^{(2)}, y^{(2)}] = [0,637107; 0,718821]$

**3q)**  $[x^{(1)}, y^{(1)}] = [0,687873; 0,239928]$ ,  $[x^{(2)}, y^{(2)}] = [0,686595; 0,239120]$ .

**4a)** průnik kružnice a kubické paraboly, dva symetrické kořeny,  
 $[x^{(1)}, y^{(1)}] = [0,793701; 0,714143]$ ,  $[x^{(2)}, y^{(2)}] = [0,893844; 0,608308]$ ,  $[x^{(3)}, y^{(3)}] = [0,847308; 0,448378]$ ,  $[x^{(4)}, y^{(4)}] = [0,765388; 0,531102]$ , kořen  $\hat{x} \doteq 0,826031$ ,  
 $\hat{y} \doteq 0,563624$ , druhý z kořenů je  $[-\hat{x}, -\hat{y}]$ .

**4b)** průnik elipsy a paraboly, dva symetrické kořeny,  
 $[x^{(1)}, y^{(1)}] = [1,420000, 1,982222]$ ,  $[x^{(2)}, y^{(2)}] = [1,402911; 1,980321]$ ,  $[x^{(3)}, y^{(3)}] = [1,408992; 1,981866]$ ,  $[x^{(4)}, y^{(4)}] = [1,407296; 1,981331]$ , řešení  $\hat{x} \doteq 1,407640$ ,  
 $\hat{y} \doteq 1,981451$ , druhý z kořenů má souřadnice  $[\hat{x}, -\hat{y}]$ .

**4c)**  $[x^{(1)}, y^{(1)}] = [0,912500; 0,917188]$ ,  $[x^{(2)}, y^{(2)}] = [0,967390; 0,968013]$ ,  $[x^{(3)}, y^{(3)}] = [0,987290; 0,987388]$ ,  $[x^{(4)}, y^{(4)}] = [0,994968; 0,994883]$ , přesné řešení  $\hat{x} = 1$ ,  
 $\hat{y} = 1$ .

**4d)**  $[x^{(1)}, y^{(1)}] = [0,337500; 0,496875]$ ,  $[x^{(2)}, y^{(2)}] = [0,292918; 0,495036]$ ,  $[x^{(3)}, y^{(3)}] = [0,280697; 0,496829]$ ,  $[x^{(4)}, y^{(4)}] = [0,277280; 0,499668]$ , kořen  $\hat{x} \doteq 0,275892$ ,  
 $\hat{y} \doteq 0,499211$ .

## Kapitola 4

### 4.1. Lagrangeova a Hermiteova interpolace

1. a) Lagrangeův tvar:  $P(x) = -2(x - 3) + (x - 1)$ ,  
 Newtonův tvar:  $P(x) = 4 - (x - 1)$ ;

- b) Lagrangeův tvar:  $P(x) = y_0 \frac{x-x_1}{x_0-x_1} + y_1 \frac{x-x_0}{x_1-x_0}$ ,  
 Newtonův tvar:  $P(x) = y_0 + \frac{y_1-y_0}{x_1-x_0}(x - x_0)$ .

2. a) Lagrangeův tvar:

$$L(x) = -\frac{1}{8}(x-2)(x-3)(x-4) + \frac{1}{4}x(x-3)(x-4) - \frac{5}{3}x(x-2)(x-4) + \frac{7}{8}x(x-2)(x-3),$$

Newtonův tvar:

$$N_3(x) = 3 - x + \frac{5}{3}x(x-2) - \frac{2}{3}x(x-2)(x-3), \quad x \in \langle 0, 4 \rangle;$$

b) Lagrangeův tvar:

$$L(x) = \frac{2}{15}x(x-2)(x-3)(x-4) - \frac{1}{8}(x+1)(x-2)(x-3)(x-4) + \frac{1}{12}(x+1)x(x-3)(x-4) - \frac{5}{12}(x+1)x(x-2)(x-4) + \frac{7}{40}(x+1)x(x-2)(x-3);$$

Newtonův tvar:

$$N(x) = N_3(x) - \frac{3}{20}x(x-2)(x-3)(x-4), \quad x \in \langle -1, 4 \rangle.$$

- 3. a)  $N_1(x) = 1 - 0,4597x, x \in \langle 0, 1 \rangle$ , abs. chyba  $\doteq -0,2397$ ,
- b)  $N_2(x) = N_1(x) - 0,2484x(x-1), x \in \langle 0, 2 \rangle$ , abs. chyba  $\doteq -0,0534$ ,
- c)  $N_3(x) = N_2(x) + 0,1465x(x-1)(x-2), x \in \langle 0, 3 \rangle$ , abs. chyba  $\doteq 0,0016$ ,
- d)  $N_4(x) = N_3(x) - 0,0146x(x-1)(x-2)(x-3), x \in \langle 0, 4 \rangle$ , abs. chyba  $\doteq 0,00974$ .
- 4. a)  $N_3(x) = 2 + x + 4x(x-1) + x(x-1)(x-2)$ ,
- b)  $N_4(x) = 2 + x + 4x(x-1) + x(x-1)(x-2) + 1,42857\bar{3}x(x-1)(x-2)(x-5)$ .
- 5.  $N(x) = 10 + 0,0476(x-100) - 0,0001(x-100)(x-121)$ ,  $\sqrt{115} \doteq N(115) = 10,7230$ , takže absolutní chyba je  $\sqrt{115} - 10,7230 \doteq 0,0008$ .
- 6.  $N(x) = -0,14794 + 0,04401(x-4) - 0,00134(x-4)(x-8)$ ,  
 $N(x) \doteq \log x - \frac{x-1}{x} \Rightarrow \log x \doteq N(x) + \frac{x-1}{x}$ . Odtud  $\log(5,25) \doteq 0,72120$ , absolutní chyba je  $-0,00104$ .
- 7.  $N(x) = 1,58740 + 0,12258(x-4) - 0,00772(x-4)(x-5)$ ,  
 $\sqrt[3]{4,8} \doteq 1,68670$ , takže absolutní chyba je  $0,00017$ .
- 8.  $N(x) = 1 - 1,171572x - 3,313712x(x-0,25)$ ,  
 $\cos \frac{\pi}{6} \doteq 0,850762$  a absolutní chyba je  $0,015263$ .
- 9. a)  $s(x)$  je přirozený kubický splajn.
- b)  $s(x)$  je kubický splajn a není přirozený kubický splajn.
- 10.  $H(x) = 4 - \frac{5}{9}(x+1)^2 + \frac{19}{27}(x+1)^2(x-2)$ , definiční podmínky jsou  $H(-1) = 4, H'(-1) = 0, H(2) = -1, H'(2) = 3$  a  $f(1) \doteq H(1) = -1,0370$ .

11. a)  $H(x) = -(x+1) + 2(x+1)^2x - \frac{31}{36}(x+1)^2x^2 + \frac{11}{27}(x+1)^2x^2(x-2),$

b)  $s(x) = \begin{cases} -(x+1) + 2(x+1)^2x & \text{pro } x \in \langle -1, 0 \rangle, \\ -1 + x + \frac{1}{4}x^2 + \frac{1}{2}x^2(x-2) & \text{pro } x \in \langle 0, 2 \rangle. \end{cases}$

12.  $s(x) = \begin{cases} -6x^3 + 8x^2 + x + 2 & \text{pro } x \in \langle 0, 1 \rangle, \\ 0,407407x^3 - 2,555556x^2 + 2,888889x + 4,259259 & \text{pro } x \in \langle 1, 4 \rangle, \end{cases}$   
 a definiční podmínky jsou  $s(0) = 2, s'(0) = 1, s(1) = 5, s'(1) = -1,$   
 $s(4) = 1, s'(4) = 2.$

13. a)  $H(x) = -1 + (x+1)^2 - 2(x+1)^2x + 1,5(x+1)^2x^2 - 1,5(x+1)^2x^2(x-1),$

b)  $s(x) = \begin{cases} -2x^3 - 3x^2 & \text{pro } x \in \langle -1, 0 \rangle, \\ -2x^3 + 3x^2 & \text{pro } x \in \langle 0, 1 \rangle. \end{cases}$

$$H(x) = 2,497495 + 1,070737(x-1,5) - 0,494266(x-1,5)^2 +$$

14. a)  $+0,029528(x-1,5)^2(x-2) + 0,036969(x-1,5)^2(x-2)^2 -$   
 $-0,004542(x-1,5)^2(x-2)^2(x-3),$

$f(2,5) = 3,098472, H(2,5) = 3,098540$  a abs. chyba je -0,000068,

b)  $s(x) = \begin{cases} 0,029522x^3 - 0,641875x^2 + 2,79709x - 0,353556, & x \in \langle 1,5; 2 \rangle, \\ 0,130216x^3 - 1,263540x^2 + 4,075430x - 1,229120, & x \in \langle 2; 3 \rangle, \end{cases}$   
 a  $s(2,5) = 3,096955$  a tedy absolutní chyba je 0,001517.

$H(x) = x - 1 - 0,3069(x-1)^2 + 0,1138(x-1)^2(x-2) -$   
 $-0,0323(x-1)^2(x-2)^2 + 0,0094(x-1)^2(x-2)^2(x-3) -$   
 15. a)  
 $-0,0021(x-1)^2(x-2)^2(x-3)^2 +$   
 $+0,0003(x-1)^2(x-2)^2(x-3)^2(x-4),$

$\ln(2,5) = 0,9162907319, H(2,5) = 0,9163289062$  a tedy absolutní  
 chyba je -0,0000381743.

b)  $s(x) = \begin{cases} ((0,113706x - 0,534265)(x-1) + 1)(x-1), & x \in \langle 1, 2 \rangle, \\ 0,022403x^3 - 0,251356x^2 + 1,236590x - 0,953829, & x \in \langle 2, 3 \rangle, \\ 0,007969x^3 - 0,125341x^2 + 0,870216x - 0,599130, & x \in \langle 3, 4 \rangle, \end{cases}$

$s(2,5) = 0,916713$  a absolutní chyba je 0,000422.

**16.** a)  $N(x) = 1,105171 + 1,16232(x - 0,1)$ ,  
 $e^{0,15} = 1,161834243$ ,  $N(0,15) = 1,163287$  a tedy absolutní chyba je  $-0,001452757$ .

b) 
$$H(x) = 1,105171 + 1,105171(x - 0,1) + 0,571490(x - 0,1)^2 + \\ + 0,193400(x - 0,1)^2 \cdot (x - 0,2),$$

$H(0,15) = 1,1618341$  a tedy absolutní chyba je  $0,000000143$ .

**17.** a)  $N(x) = 1 + 1 \cdot (x - 1) + \frac{4}{3} \cdot (x - 1)(x - 2)$ ,

b) 
$$H(x) = 1 + 0,3863(x - 1) + 0,6137(x - 1)^2 + 0,1589(x - 1)^2 \cdot (x - 2) + \\ + 0,0405(x - 1)^2 \cdot (x - 2)^2 + 0,0071(x - 1)^2 \cdot (x - 2)^2 \cdot (x - 4)$$
,

c) 
$$s(x) = \begin{cases} 0,1589 x^3 - 0,0219 x^2 - 0,0466 x + 0,9096 & \text{pro } x \in \langle 1, 2 \rangle; \\ 0,4657 x^3 - 2,1120 x^2 + 4,6310 x - 2,5410 & \text{pro } x \in (2, 4). \end{cases}$$

Absolutní chyby approximací v bodě 3,5 jsou

a)  $f(3,5) - N(3,5) = -0,6863$ , b)  $f(3,5) - H(3,5) = 0,0030$  a c)  $f(3,5) - s(3,5) = 0,0513$ .

**18.** 
$$H(x) = 1 - 4,774575(x - 0,5)^2 + 1,581225(x - 0,5)^2(x - 0,7) + \\ + 3,335642(x - 0,5)^2(x - 0,7)^2 - 1,665376(x - 0,5)^2(x - 0,7)^2(x - 1)$$
  
 a absolutní chyba je  $\sin\left(\frac{3\pi}{4}\right) - H(0,75) = -0,000010$ .

## 4.2. Diskrétní metoda nejmenších čtverců

**1.**  $f(x) \doteq 0,25x^2 + 0,85x - 0,25$  a chyba approximace je  $0,6708$ .

**2.**  $e^x \doteq 1,14860x + 1,26828$ , chyba approximace je  $0,51928$   
 a absolutní chyba approximace  $e^{0,25}$  je  $-0,27140$ .

**3.** Průměrná spotřeba je v obcích  $8,5135$  l/100 km a mimo obce  $5,8307$  l/100 km.

**4.** a)  $f(x) \doteq -0,043478x + 1,913043$  a b)  $f(x) \doteq 0,6x + 2$ .

**5.**  $f(x) \doteq -0,1310x^2 - 1,3929x + 0,6667$ .

**6.**  $f(x) \doteq 0,897 \cdot \frac{1}{x} + 1,738$ , a chyba approximace je  $0,554$ .

**7.**  $f(x) \doteq 2,0133 + 1,5732e^{-x}$ .

**8.**  $x^2 \doteq 2,674 + 0,057 \sin x - 2,854 \cos x$  a chyba approximace je  $0,282$ .

**9.**  $f(x) \doteq 0,035 + 0,105x + 0,925x^2$ , chyba aproximace je 0,201 a chyba aproximace funkce  $y = x^2$  polynomem  $f^*$  je 0,172.

**10.**  $x^2 \doteq -1,339 + 0,713e^x + 0,752e^{-x}$  a chyba aproximace je 0,182.

**11.** a)  $x_1 = \frac{9}{7}$ ,  $x_2 = \frac{4}{7}$ , chyba aproximace je 1,069,  
 b)  $x = \frac{16}{30}$ ,  $y = \frac{76}{30}$ , chyba aproximace je 0,4472136,  
 c)  $a = 0,75$ ,  $b = 1,25$ ,  $c = 1,875$ ,  $d = 0,375$  a chyba aproximace je 0,5.

**12.**  $|x| \doteq 0,2805x^2 - 0,4891x + 0,1674$  a chyba aproximace je 0,2181.

## Kapitola 5

1.

| $i$ | $x_i$ | $y_i^{Eul}$ | $y_i^{Heun}$ | $y_i^{RK}$ | $y_i^{ImplEul}$ | $y_i^{Lich}$ |
|-----|-------|-------------|--------------|------------|-----------------|--------------|
| 0   | 0     | 0,1         | 0,1          | 0,1        | 0,1             | 0,1          |
| 1   | 0,25  | 0,1         | 0,100312     | 0,100313   | 0,100000        | 0,100314     |
| 2   | 0,50  | 0,100625    | 0,101263     | 0,101265   | 0,100625        | 0,101269     |
| 3   | 0,75  | 0,101891    | 0,102890     | 0,102894   | 0,101891        | 0,102903     |
| 4   | 1,0   | 0,103838    | 0,105257     | 0,105264   | 0,103838        | 0,105282     |

2.

| $i$ | $x_i$ | $y_i^{Eul}$ | $y_i^{Heun}$ | $y_i^{RK}$ | $y_i^{ImplEul}$ | $y_i^{Lich}$ |
|-----|-------|-------------|--------------|------------|-----------------|--------------|
| 0   | 0     | 0           | 0            | 0          | 0               | 0            |
| 1   | 0,25  | 0,0         | 0,0312500    | 0,0288086  | 0               | 0,0277778    |
| 2   | 0,50  | 0,0625      | 0,110352     | 0,106543   | 0,0625000       | 0,104939     |
| 3   | 0,75  | 0,171875    | 0,226838     | 0,222381   | 0,171875        | 0,220508     |
| 4   | 1,0   | 0,316406    | 0,372530     | 0,367894   | 0,316406        | 0,365950     |

3.

| $i$ | $x_i$ | $y_i^{Eul}$ | $y_i^{Heun}$ | $y_i^{RK}$ | $y_i^{ImplEul}$ | $y_i^{Lich}$ |
|-----|-------|-------------|--------------|------------|-----------------|--------------|
| 0   | 0     | 2           | 2            | 2          | 2               | 2            |
| 1   | 0,25  | 2,0         | 2,15625      | 2,16123    | 2,0             | 2,16667      |
| 2   | 0,50  | 2,3125      | 2,69580      | 2,71003    | 2,31250         | 2,73810      |
| 3   | 0,75  | 3,01562     | 3,84430      | 3,88744    | 3,01562         | 3,98352      |
| 4   | 1,0   | 4,33398     | 6,15221      | 6,29464    | 4,33398         | 6,59891      |

4.

| $i$ | $x_i$ | $y_i^{Eul}$ | $y_i^{Heun}$ | $y_i^{RK}$ | $y_i^{ImplEul}$ | $y_i^{Lich}$ |
|-----|-------|-------------|--------------|------------|-----------------|--------------|
| 0   | 1     | 2           | 2            | 2          | 2               | 2            |
| 1   | 1,25  | 2,12500     | 2,13603      | 2,13599    | 2,12500         | 2,13566      |
| 2   | 1,50  | 2,27206     | 2,29133      | 2,29128    | 2,27206         | 2,29067      |
| 3   | 1,75  | 2,43711     | 2,46226      | 2,46220    | 2,43711         | 2,46139      |
| 4   | 2,0   | 2,61663     | 2,64580      | 2,64574    | 2,61663         | 2,64479      |

5.

| $i$ | $x_i$ | $y_i^{Eul}$ | $y_i^{Heun}$ | $y_i^{RK}$ | $y_i^{ImplEul}$ | $y_i^{Lich}$ |
|-----|-------|-------------|--------------|------------|-----------------|--------------|
| 0   | 0     | 1           | 1            | 1          | 1               | 1            |
| 1   | 0,25  | 1,25        | 1,28906      | 1,28958    | 1,25000         | 1,29464      |
| 2   | 0,50  | 1,57812     | 1,69262      | 1,69616    | 1,57812         | 1,70918      |
| 3   | 0,75  | 2,03515     | 2,27805      | 2,28847    | 2,03515         | 2,31359      |
| 4   | 1,0   | 2,68456     | 3,13164      | 3,15476    | 2,68456         | 3,19783      |

6.

| $i$ | $x_i$ | $y_i^{Eul}$ | $y_i^{Heun}$ | $y_i^{RK}$ | $y_i^{ImplEul}$ | $y_i^{Lich}$ |
|-----|-------|-------------|--------------|------------|-----------------|--------------|
| 0   | 0     | 2           | 2            | 2          | 2               | 2            |
| 1   | 0,25  | 2,0         | 2,01562      | 2,01044    | 2,0             | 2,01575      |
| 2   | 0,50  | 2,03125     | 2,09534      | 2,08509    | 2,03125         | 2,09703      |
| 3   | 0,75  | 2,15820     | 2,31736      | 2,30197    | 2,15820         | 2,32611      |
| 4   | 1,0   | 2,46170     | 2,81070      | 2,79120    | 2,46170         | 2,84533      |

7.

| $i$ | $x_i$ | $y_i^{Eul}$ | $y_i^{Heun}$ | $y_i^{RK}$ | $y_i^{ImplEul}$ | $y_i^{Lich}$ |
|-----|-------|-------------|--------------|------------|-----------------|--------------|
| 0   | 2     | 2           | 2            | 2          | 2               | 2            |
| 1   | 2,25  | 2,0         | 2,01389      | 2,01388    | 2,0             | 2,01315      |
| 2   | 2,50  | 2,02778     | 2,05000      | 2,04999    | 2,02778         | 2,04887      |
| 3   | 2,75  | 2,07500     | 2,10227      | 2,10226    | 2,07500         | 2,10094      |
| 4   | 3,0   | 2,13636     | 2,16666      | 2,16664    | 2,13636         | 2,16522      |

8.

| $i$ | $x_i$ | $y_i^{Eul}$ | $y_i^{Heun}$ | $y_i^{RK}$ | $y_i^{ImplEul}$ | $y_i^{Lich}$ |
|-----|-------|-------------|--------------|------------|-----------------|--------------|
| 0   | 0     | 1           | 1            | 1          | 1               | 1            |
| 1   | 0,25  | 1,25        | 1,31250      | 1,31804    | 1,25000         | 1,32143      |
| 2   | 0,50  | 1,6250      | 1,78320      | 1,79741    | 1,62500         | 1,80613      |
| 3   | 0,75  | 2,15625     | 2,45660      | 2,48393    | 2,15625         | 2,50074      |
| 4   | 1,0   | 2,88281     | 3,38970      | 3,43644    | 2,88281         | 3,46523      |

9.

| $i$ | $x_i$ | $y_i^{Eul}$ | $y_i^{Heun}$ | $y_i^{RK}$ | $y_i^{ImplEul}$ | $y_i^{Lich}$ |
|-----|-------|-------------|--------------|------------|-----------------|--------------|
| 0   | 0     | 1           | 1            | 1          | 1               | 1            |
| 1   | 0,25  | 1,50        | 1,62500      | 1,64843    | 1,50000         | 1,66667      |
| 2   | 0,50  | 2,2500      | 2,64062      | 2,71733    | 2,25000         | 2,77779      |
| 3   | 0,75  | 3,37500     | 4,29101      | 4,47935    | 3,37500         | 4,62965      |
| 4   | 1,0   | 5,06250     | 6,97288      | 7,38394    | 5,06250         | 7,71608      |

10.

| $i$ | $x_i$ | $y_i^{Eul}$ | $y_i^{Heun}$ | $y_i^{RK}$ | $y_i^{ImplEul}$ | $y_i^{Lich}$ |
|-----|-------|-------------|--------------|------------|-----------------|--------------|
| 0   | 0     | 1           | 1            | 1          | 1               | 1            |
| 1   | 0,25  | 1,0         | 1,03093      | 1,03209    | 1,0             | 1,03300      |
| 2   | 0,50  | 1,06185     | 1,13588      | 1,13951    | 1,06185         | 1,14450      |
| 3   | 0,75  | 1,19699     | 1,35510      | 1,36673    | 1,19699         | 1,38689      |
| 4   | 1,0   | 1,44115     | 1,80421      | 1,85068    | 1,44115         | 1,95126      |

11.

| $i$ | $x_i$ | $y_i^{Eul}$ | $y_i^{Heun}$ | $y_i^{RK}$ | $y_i^{ImplEul}$ | $y_i^{Lich}$ |
|-----|-------|-------------|--------------|------------|-----------------|--------------|
| 0   | 0     | 1           | 1            | 1          | 1               | 1            |
| 1   | 0,25  | 1,50        | 1,53485      | 1,53663    | 1,50000         | 1,53983      |
| 2   | 0,50  | 2,06970     | 2,16403      | 2,16981    | 2,06970         | 2,17769      |
| 3   | 0,75  | 2,73876     | 2,92648      | 2,93928    | 2,73876         | 2,95401      |
| 4   | 1,0   | 3,54154     | 3,86935      | 3,89341    | 3,54154         | 3,91805      |

12.

| $i$ | $x_i$ | $y_i^{Eul}$ | $y_i^{Heun}$ | $y_i^{RK}$ | $y_i^{ImplEul}$ | $y_i^{Lich}$ |
|-----|-------|-------------|--------------|------------|-----------------|--------------|
| 0   | 0     | 1           | 1            | 1          | 1               | 1            |
| 1   | 0,25  | 1,0         | 0,972350     | 0,973494   | 1,0             | 0,975422     |
| 2   | 0,50  | 0,944700    | 0,908477     | 0,909787   | 0,944700        | 0,912587     |
| 3   | 0,75  | 0,860158    | 0,825656     | 0,826632   | 0,860158        | 0,829668     |
| 4   | 1,0   | 0,763210    | 0,735313     | 0,735752   | 0,763210        | 0,738658     |

13.

| $i$ | $x_i$ | $y_i^{Eul}$ | $y_i^{Heun}$ | $y_i^{RK}$ | $y_i^{ImplEul}$ | $y_i^{Lich}$ |
|-----|-------|-------------|--------------|------------|-----------------|--------------|
| 0   | 0     | 0           | 0            | 0          | 0               | 0            |
| 1   | 0,25  | 0,25        | 0,246031     | 0,247400   | 0,250000        | 0,246154     |
| 2   | 0,50  | 0,492062    | 0,476270     | 0,479415   | 0,492062        | 0,477160     |
| 3   | 0,75  | 0,709702    | 0,675926     | 0,681613   | 0,709702        | 0,678802     |
| 4   | 1,0   | 0,885828    | 0,831798     | 0,841391   | 0,885828        | 0,838672     |

14.

| $i$ | $x_i$ | $y_i^{Eul}$ | $y_i^{Heun}$ | $y_i^{RK}$ | $y_i^{ImplEul}$ | $y_i^{Lich}$ |
|-----|-------|-------------|--------------|------------|-----------------|--------------|
| 0   | 0     | 1           | 1            | 1          | 1               | 1            |
| 1   | 0,25  | 1,0         | 1,03125      | 1,03079    | 1,0             | 1,03033      |
| 2   | 0,50  | 1,06250     | 1,11879      | 1,11805    | 1,06250         | 1,11663      |
| 3   | 0,75  | 1,18015     | 1,25084      | 1,25002    | 1,18015         | 1,24774      |
| 4   | 1,0   | 1,33903     | 1,41503      | 1,41423    | 1,33903         | 1,41144      |

15.

| $i$ | $x_i$ | $y_i^{Eul}$ | $y_i^{Heun}$ | $y_i^{RK}$ | $y_i^{ImplEul}$ | $y_i^{Lich}$ |
|-----|-------|-------------|--------------|------------|-----------------|--------------|
| 0   | 0     | 0           | 0            | 0          | 0               | 0            |
| 1   | 0,25  | 0,0         | 0,0390625    | 0,0365357  | 0,0             | 0,0392551    |
| 2   | 0,50  | 0,078125    | 0,173794     | 0,169316   | 0,0781250       | 0,176138     |
| 3   | 0,75  | 0,267151    | 0,452389     | 0,447709   | 0,267151        | 0,464837     |
| 4   | 1,0   | 0,613119    | 0,978495     | 0,982700   | 0,613119        | 1,04150      |

16.

| $i$ | $x_i$ | $y_i^{Eul}$ | $y_i^{Heun}$ | $y_i^{RK}$ | $y_i^{ImplEul}$ | $y_i^{Lich}$ |
|-----|-------|-------------|--------------|------------|-----------------|--------------|
| 0   | 0     | 1           | 1            | 1          | 1               | 1            |
| 1   | 0,25  | 1,75        | 1,84375      | 1,85206    | 1,75000         | 1,85714      |
| 2   | 0,50  | 2,6875      | 2,92480      | 2,94611    | 2,68750         | 2,95918      |
| 3   | 0,75  | 3,85938     | 4,30990      | 4,35090    | 3,85938         | 4,37609      |
| 4   | 1,0   | 5,32422     | 6,08456      | 6,15467    | 5,32422         | 6,19783      |

17.

| $i$ | $x_i$ | $y_i^{Eul}$ | $y_i^{Heun}$ | $y_i^{RK}$ | $y_i^{ImplEul}$ | $y_i^{Lich}$ |
|-----|-------|-------------|--------------|------------|-----------------|--------------|
| 0   | 0     | 0,1         | 0,1          | 0,1        | 0,1             | 0,1          |
| 1   | 0,25  | - 0,125     | - 0,188629   | - 0,192589 | - 0,125000      | - 0,197719   |
| 2   | 0,50  | - 0,477258  | - 0,648400   | - 0,659447 | - 0,477258      | - 0,673175   |
| 3   | 0,75  | - 1,00875   | - 1,35300    | - 1,37596  | - 1,00875       | - 1,40347    |
| 4   | 1,0   | - 1,79019   | - 2,40410    | - 2,44629  | - 1,79019       | - 2,49522    |

18.

| $i$ | $x_i$ | $y_i^{Eul}$ | $y_i^{Heun}$ | $y_i^{RK}$ | $y_i^{ImplEul}$ | $y_i^{Lich}$ |
|-----|-------|-------------|--------------|------------|-----------------|--------------|
| 0   | 0     | 1           | 1            | 1          | 1               | 1            |
| 1   | 0,25  | 1,0         | 1,03125      | 1,03175    | 1,0             | 1,03226      |
| 2   | 0,50  | 1,0625      | 1,13196      | 1,13316    | 1,06250         | 1,13549      |
| 3   | 0,75  | 1,19531     | 1,32210      | 1,32480    | 1,19531         | 1,33127      |
| 4   | 1,0   | 1,41943     | 1,64230      | 1,64874    | 1,41943         | 1,66409      |

19.

| $i$ | $x_i$ | $y_i^{Eul}$ | $y_i^{Heun}$ | $y_i^{RK}$ | $y_i^{ImplEul}$ | $y_i^{Lich}$ |
|-----|-------|-------------|--------------|------------|-----------------|--------------|
| 0   | 0     | 1           | 1            | 1          | 1               | 1            |
| 1   | 0,25  | 1,0         | 1,00781      | 1,00523    | 1,0             | 1,00794      |
| 2   | 0,50  | 1,01562     | 1,04849      | 1,04347    | 1,01562         | 1,05036      |
| 3   | 0,75  | 1,08009     | 1,17060      | 1,16363    | 1,08009         | 1,18329      |
| 4   | 1,0   | 1,24414     | 1,49927      | 1,49995    | 1,24414         | 1,60290      |

20.

| $i$ | $x_i$ | $y_i^{Eul}$ | $y_i^{Heun}$ | $y_i^{RK}$ | $y_i^{ImplEul}$ | $y_i^{Lich}$ |
|-----|-------|-------------|--------------|------------|-----------------|--------------|
| 0   | 0     | 1           | 1            | 1          | 1               | 1            |
| 1   | 0,25  | 1,25        | 1,23125      | 1,22479    | 1,25000         | 1,22753      |
| 2   | 0,50  | 1,46250     | 1,42714      | 1,41430    | 1,46250         | 1,41942      |
| 3   | 0,75  | 1,65718     | 1,60248      | 1,58129    | 1,65718         | 1,58951      |
| 4   | 1,0   | 1,84519     | 1,76560      | 1,73228    | 1,84519         | 1,74512      |

21.

| $i$ | $x_i$ | $y_i^{Eul}$ | $y_i^{Heun}$ | $y_i^{RK}$ | $y_i^{ImplEul}$ | $y_i^{Lich}$ |
|-----|-------|-------------|--------------|------------|-----------------|--------------|
| 0   | 0     | 1           | 1            | 1          | 1               | 1            |
| 1   | 0,25  | 1,0         | 0,976562     | 0,982190   | 1,0             | 0,968910     |
| 2   | 0,50  | 0,953125    | 0,833948     | 0,838408   | 0,953125        | 0,798839     |
| 3   | 0,75  | 0,742737    | 0,406852     | 0,402045   | 0,742737        | 0,338218     |
| 4   | 1,0   | 0,208777    | - 0,402143   | - 0,411292 | 0,208777        | - 0,457283   |

22.

| $i$ | $x_i$ | $y_i^{Eul}$ | $y_i^{Heun}$ | $y_i^{RK}$ | $y_i^{ImplEul}$ | $y_i^{Lich}$ |
|-----|-------|-------------|--------------|------------|-----------------|--------------|
| 0   | 0     | 0           | 0            | 0          | 0               | 0            |
| 1   | 0,25  | 0,25        | 0,257812     | 0,255270   | 0,250000        | 0,258065     |
| 2   | 0,50  | 0,515625    | 0,548613     | 0,543819   | 0,515625        | 0,550539     |
| 3   | 0,75  | 0,830077    | 0,914201     | 0,907788   | 0,830077        | 0,921322     |
| 4   | 1,0   | 1,23572     | 1,41686      | 1,41067    | 1,23572         | 1,43737      |

23.

| $i$ | $x_i$ | $y_i^{Eul}$ | $y_i^{Heun}$ | $y_i^{RK}$ | $y_i^{ImplEul}$ | $y_i^{Lich}$ |
|-----|-------|-------------|--------------|------------|-----------------|--------------|
| 0   | 0     | 1           | 1            | 1          | 1               | 1            |
| 1   | 0,25  | 1,0         | 0,937500     | 0,923303   | 1,0             | 0,941176     |
| 2   | 0,50  | 0,875000    | 0,806400     | 0,792823   | 0,875000        | 0,810695     |
| 3   | 0,75  | 0,720320    | 0,663260     | 0,650859   | 0,720320        | 0,666852     |
| 4   | 1,0   | 0,564366    | 0,526502     | 0,515246   | 0,564366        | 0,528589     |

24.

| $i$ | $x_i$ | $y_i^{Eul}$ | $y_i^{Heun}$ | $y_i^{RK}$ | $y_i^{ImplEul}$ | $y_i^{Lich}$ |
|-----|-------|-------------|--------------|------------|-----------------|--------------|
| 0   | 0     | 0           | 0            | 0          | 0               | 0            |
| 1   | 0,25  | 0,250000    | 0,195652     | 0,191423   | 0,250000        | 0,197582     |
| 2   | 0,50  | 0,391304    | 0,312052     | 0,305673   | 0,391304        | 0,313639     |
| 3   | 0,75  | 0,480190    | 0,379183     | 0,370876   | 0,480190        | 0,380239     |
| 4   | 1,0   | 0,532821    | 0,410852     | 0,400699   | 0,532821        | 0,411450     |

25.

| $i$ | $x_i$ | $y_i^{Eul}$ | $y_i^{Heun}$ | $y_i^{RK}$ | $y_i^{ImplEul}$ | $y_i^{Lich}$ |
|-----|-------|-------------|--------------|------------|-----------------|--------------|
| 0   | 0     | 0           | 0            | 0          | 0               | 0            |
| 1   | 0,25  | 0,0500000   | 0,0477330    | 0,0477580  | 0,0500000       | 0,0478654    |
| 2   | 0,50  | 0,0954660   | 0,0918197    | 0,0918552  | 0,0954660       | 0,0920213    |
| 3   | 0,75  | 0,137684    | 0,133166     | 0,133203   | 0,137684        | 0,133404     |
| 4   | 1,0   | 0,177477    | 0,172403     | 0,172438   | 0,177477        | 0,172660     |

## Kapitola 6

1. 
$$\left[ \begin{array}{ccccc|c} 2,0625 & -1,25 & 0 & 0 & 0 \\ -0,75 & 2,0625 & -1,25 & 0 & 0 \\ 0 & -0,75 & 2,0625 & -1,25 & 0 \\ 0 & 0 & -2 & 2,0625 & 5 \end{array} \right] , \quad \left[ \begin{array}{c} 0 \\ 5,34041 \\ 8,81168 \\ 11,33502 \\ 13,41578 \end{array} \right]$$

2. 
$$\left[ \begin{array}{ccccc|c} 2,16 & -2 & 0 & 0 & 0 & -0,32 \\ -1 & 2,16 & -1 & 0 & 0 & -0,47739 \\ 0 & -1 & 2,16 & -1 & 0 & -0,71217 \\ 0 & 0 & -1 & 2,16 & -1 & -1,06244 \\ 0 & 0 & 0 & -1 & 2,16 & -1,58497 \end{array} \right] , \quad \left[ \begin{array}{c} -2,86470 \\ -2,93387 \\ -2,99508 \\ -2,82333 \\ -2,04088 \\ 0 \end{array} \right]$$

3. 
$$\left[ \begin{array}{ccccc|c} 2,93750 & -2 & 0 & 0 & 0 & 0,46875 \\ -0,91975 & 2 & -1,08025 & 0 & 0 & 0,03125 \\ 0 & -0,89695 & 2 & -1,10305 & 0,06250 & 0,06250 \\ 0 & 0 & -0,86769 & 2 & 3,49069 & 3 \end{array} \right] , \quad \left[ \begin{array}{c} 1,62792 \\ 2,15664 \\ 2,57787 \\ 2,86374 \\ 3 \end{array} \right]$$

4. 
$$\left[ \begin{array}{ccccc|c} 2 & -2 & 0 & 0 & 0,8 \\ -1 & 2,0256 & -1 & 0 & -0,01024 \\ 0 & -1 & 2,1024 & -1 & -0,08192 \\ 0 & 0 & -2 & 2,2304 & 0,52352 \end{array} \right] , \quad \left[ \begin{array}{c} 3,03239 \\ 2,63239 \\ 2,31002 \\ 2,30612 \end{array} \right]$$

5. 
$$\left[ \begin{array}{ccccc|c} 0,2 & 0,025 & 0 & 0 & 4,60938 \\ -0,225 & 0,2 & 0,025 & 0 & 0,15625 \\ 0 & -0,225 & 0,2 & 0,025 & 0,20313 \\ 0 & 0 & -0,2 & 0,1375 & -0,0625 \end{array} \right] , \quad \left[ \begin{array}{c} 20 \\ 20,40762 \\ 21,11403 \\ 21,00638 \\ 30,10019 \end{array} \right]$$

$$6. \left[ \begin{array}{cccc|c} 0,5 & -0,125 & 0 & 0 & 0,4375 \\ -0,375 & 0,5 & -0,125 & 0 & 0,0625 \\ 0 & -0,375 & 0,5 & -0,125 & 0,0625 \\ 0 & 0 & -0,5 & 0,625 & 0,0625 \end{array} \right] , \left[ \begin{array}{c} 1 \\ 1,23311 \\ 1,43243 \\ 1,53041 \\ 1,32432 \end{array} \right]$$

$$7. \left[ \begin{array}{cccc|c} 0,002 & -0,105 & 0 & 0 & 0,02 \\ 0,115 & 0,002 & -0,117 & 0 & 0,02 \\ 0 & 0,135 & 0,002 & -0,137 & 0,02 \\ 0 & 0 & 0,163 & 0,002 & 0,185 \end{array} \right] , \left[ \begin{array}{c} 0 \\ 1,33514 \\ -0,16505 \\ 1,13855 \\ -0,29200 \\ 1 \end{array} \right]$$

$$8. \left[ \begin{array}{cccc|c} 2,04 & -1 & 0 & 0 & 1,008 \\ -1 & 2,04 & -1 & 0 & 0,016 \\ 0 & -1 & 2,04 & -1 & 0,024 \\ 0 & 0 & -1 & 2,04 & 2,032 \end{array} \right] , \left[ \begin{array}{c} 1 \\ 1,12725 \\ 1,29158 \\ 1,49158 \\ 1,72725 \\ 2 \end{array} \right]$$

$$9. \left[ \begin{array}{cccccc|c} 2,4 & -2 & 0 & 0 & 0 & 0 & 0 \\ -1 & 2 & -1 & 0 & 0 & 0 & -0,048 \\ 0 & -1 & 2 & -1 & 0 & 0 & -0,096 \\ 0 & 0 & -1 & 2 & -1 & 0 & -0,144 \\ 0 & 0 & 0 & -1 & 2 & -1 & -0,192 \\ 0 & 0 & 0 & 0 & -2 & 2,4 & -1,04 \end{array} \right] , \left[ \begin{array}{c} -1,98667 \\ -2,38400 \\ -2,73333 \\ -2,98667 \\ -3,09600 \\ -3,01333 \end{array} \right]$$

$$10. \left[ \begin{array}{ccccc|c} 2,0125 & -1 & 0 & 0 & 1,25 \\ -1 & 2,025 & -1 & 0 & 0,25 \\ 0 & -1 & 2,0375 & -1 & 0,25 \\ 0 & 0 & -2 & 2,05 & 5,25 \end{array} \right] , \left[ \begin{array}{c} 1 \\ 3,60242 \\ 5,99988 \\ 8,29733 \\ 10,65593 \end{array} \right]$$

$$11. \left[ \begin{array}{ccccc|c} 2 & -2 & 0 & 0 & 0,5 \\ -1 & 2,00117 & -1 & 0 & 0,01563 \\ 0 & -1 & 2,00469 & -1 & 0,03125 \\ 0 & 0 & -1 & 2,01055 & 2,04688 \end{array} \right] , \left[ \begin{array}{c} 3,09770 \\ 2,84770 \\ 2,58541 \\ 2,30400 \\ 2 \end{array} \right]$$

$$12. \left[ \begin{array}{cccc|c} 2,0016 & -1 & 0 & 0 & 0,016 \\ -1 & 2,0064 & -1 & 0 & 0,032 \\ 0 & -1 & 2,0144 & -1 & 0,048 \\ 0 & 0 & -2 & 2,0256 & -0,336 \end{array} \right] , \left[ \begin{array}{c} 0 \\ -0,06208 \\ -0,14027 \\ -0,25135 \\ -0,41405 \end{array} \right]$$

$$13. \left[ \begin{array}{cccc|c} 2,625 & -2 & 0 & 0 & 0,5625 \\ -1 & 2,140625 & -1 & 0 & 0,08025 \\ 0 & -1 & 2,15625 & -1 & 0,10305 \\ 0 & 0 & -1 & 2,171875 & -0,86769 \end{array} \right] , \left[ \begin{array}{c} 0,32989 \\ 0,15172 \\ -0,08535 \\ -0,43881 \\ -1 \end{array} \right]$$

$$14. \left[ \begin{array}{cccc|c} 3,0625 & -2 & 0 & 0 & 0 \\ -1 & 2,05 & -1 & 0 & 0,01395 \\ 0 & -1 & 2,04167 & -1 & 0,02534 \\ 0 & 0 & -1 & 2,03571 & 1,03498 \end{array} \right] , \left[ \begin{array}{c} 0,31109 \\ 0,47636 \\ 0,65150 \\ 0,82844 \\ 1 \end{array} \right]$$

$$15. \left[ \begin{array}{ccccc|c} 1,04 & -1 & 0 & 0 & 0 & -0,36 \\ -0,5 & 1,04 & -0,5 & 0 & 0 & 0,04 \\ 0 & -0,5 & 1,04 & -0,5 & 0 & 0,04 \\ 0 & 0 & -0,5 & 1,04 & -0,5 & 0,04 \\ 0 & 0 & 0 & -0,5 & 1,04 & 0,54 \end{array} \right] , \left[ \begin{array}{c} -0,24260 \\ 0,10769 \\ 0,38660 \\ 0,61644 \\ 0,81560 \\ 1 \end{array} \right]$$

$$16. \left[ \begin{array}{ccccc|c} 0,4 & -0,1 & 0 & 0 & 0 & 0,3016 \\ -0,3 & 0,4 & -0,1 & 0 & 0 & 0,0064 \\ 0 & -0,3 & 0,4 & -0,1 & 0 & 0,0144 \\ 0 & 0 & -0,3 & 0,4 & -0,1 & 0,0256 \\ 0 & 0 & 0 & -0,4 & 0,8 & 0,44 \end{array} \right] , \left[ \begin{array}{c} 1 \\ 1,02028 \\ 1,06519 \\ 1,13586 \\ 1,20388 \\ 1,15194 \end{array} \right]$$

$$17. \left[ \begin{array}{ccccc|c} 2,08 & -1 & 0 & 0 & 0 & 0,008 \\ -1 & 2,08 & -1 & 0 & 0 & 0,016 \\ 0 & -1 & 2,08 & -1 & 0 & 0,024 \\ 0 & 0 & -1 & 2,08 & -1 & 0,032 \\ 0 & 0 & 0 & -2 & 3,68 & 0,84 \end{array} \right] , \left[ \begin{array}{c} 0 \\ 0,08677 \\ 0,17249 \\ 0,25600 \\ 0,33600 \\ 0,41087 \end{array} \right]$$

$$18. \left[ \begin{array}{ccc|c} 0,4 & -0,075 & 0 & 0,125 \\ -0,325 & 0,4 & -0,075 & 0,125 \\ 0 & -0,325 & 0,4 & 0,125 \end{array} \right] , \quad \left[ \begin{array}{c} 0 \\ 0,48104 \\ 0,89888 \\ 1,04284 \\ 0 \end{array} \right]$$

$$19. \left[ \begin{array}{ccccc|c} 2 & -0,95 & 0 & 0 & 0 & 1,09 \\ -1,05 & 2 & -0,95 & 0 & 0 & 0,04 \\ 0 & -1,05 & 2 & -0,95 & 0 & 0,04 \\ 0 & 0 & -1,05 & 2 & -0,95 & 0,04 \\ 0 & 0 & 0 & -2 & 2 & -0,34 \end{array} \right] , \quad \left[ \begin{array}{c} 1 \\ 1,01805 \\ 0,99588 \\ 0,92929 \\ 0,81357 \\ 0,64357 \end{array} \right]$$

$$20. \left[ \begin{array}{ccccc|c} 2,1875 & -2 & 0 & 0 & 0,375 & 1,25415 \\ -0,75 & 2 & -1,25 & 0 & 0,015625 & 1,18423 \\ 0 & -0,75 & 2 & -1,25 & 0,03125 & 1,12978 \\ 0 & 0 & -0,75 & 2 & 1,29688 & 1,07210 \\ 0 & 0 & 0 & -0,2 & 0,2 & 1 \end{array} \right] , \quad \left[ \begin{array}{c} 1,25415 \\ 1,18423 \\ 1,12978 \\ 1,07210 \\ 1 \end{array} \right]$$

$$21. \left[ \begin{array}{ccccc|c} 0,2 & 0 & 0 & 0 & 0 & 0,208 \\ -0,2 & 0,2 & 0 & 0 & 0 & 0,016 \\ 0 & -0,2 & 0,2 & 0 & 0 & 0,024 \\ 0 & 0 & -0,2 & 0,2 & 0 & 0,032 \\ 0 & 0 & 0 & -0,2 & 0,2 & 0,04 \end{array} \right] , \quad \left[ \begin{array}{c} 1 \\ 1,04000 \\ 1,12000 \\ 1,24000 \\ 1,40000 \\ 1,60000 \end{array} \right]$$

$$22. \left[ \begin{array}{cccc|c} 2 & -0,5 & 0 & 0 & 1,50391 & 1 \\ -1,5 & 2 & -0,5 & 0 & 0,01563 & 1,00581 \\ 0 & -1,5 & 2 & -0,5 & 0,03516 & 1,01541 \\ 0 & 0 & -2 & 2,5 & 0,3125 & 1,01299 \\ 0 & 0 & 0 & -0,2 & 0,2 & 0,93539 \end{array} \right] , \quad \left[ \begin{array}{c} 1 \\ 1,00581 \\ 1,01541 \\ 1,01299 \\ 0,93539 \end{array} \right]$$

$$23. \left[ \begin{array}{ccccc|c} 0,8 & -0,3 & 0 & 0 & 0 & 0,52 \\ -0,5 & 0,8 & -0,3 & 0 & 0 & 0,02 \\ 0 & -0,5 & 0,8 & -0,3 & 0 & 0,02 \\ 0 & 0 & -0,5 & 0,8 & -0,3 & 0,02 \\ 0 & 0 & 0 & -0,8 & 1,4 & 0,32 \end{array} \right] , \quad \left[ \begin{array}{c} 1 \\ 1,06082 \\ 1,09553 \\ 1,08671 \\ 1,00533 \\ 0,80305 \end{array} \right]$$

$$24. \left[ \begin{array}{cccc|c} 0,2 & 0,025 & 0 & 0 & 0,5125 \\ -0,225 & 0,2 & 0,025 & 0 & 0,0625 \\ 0 & -0,225 & 0,2 & 0,025 & 0,0625 \\ 0 & 0 & -0,2 & 0,1375 & 0,0625 \end{array} \right] , \quad \left[ \begin{array}{c} 2 \\ 2,24809 \\ 2,51527 \\ 2,61069 \\ 4,25191 \end{array} \right]$$

$$25. \left[ \begin{array}{ccc|c} 1 & -0,375 & 0 & 0,125 \\ -0,625 & 1 & -0,375 & 0,125 \\ 0 & -0,625 & 1 & 0,125 \end{array} \right] , \quad \left[ \begin{array}{c} 0 \\ 0,30147 \\ 0,47059 \\ 0,41912 \\ 0 \end{array} \right]$$

$$26. \left[ \begin{array}{cccc|c} 2 & -0,5 & 0 & 0 & 1,54 \\ -1,5 & 2 & -0,5 & 0 & 0,04 \\ 0 & -1,5 & 2 & -0,5 & 0,04 \\ 0 & 0 & -1,5 & 2 & 0,04 \end{array} \right] , \quad \left[ \begin{array}{c} 1 \\ 1,03008 \\ 1,04033 \\ 0,99107 \\ 0,76331 \\ 0 \end{array} \right]$$

$$27. \left[ \begin{array}{ccccc|c} 2,5 & -2 & 0 & 0 & 0 & 0 \\ -1 & 2,625 & -1 & 0 & 0 & 0,125 \\ 0 & -1 & 2,75 & -1 & 0 & 0,25 \\ 0 & 0 & -1 & 2,875 & -1 & 0,375 \\ 0 & 0 & 0 & -2 & 3 & 0,5 \end{array} \right] , \quad \left[ \begin{array}{c} 0,19608 \\ 0,24510 \\ 0,32230 \\ 0,39123 \\ 0,42749 \end{array} \right]$$

$$28. \left[ \begin{array}{ccccc|c} 0,5 & -0,125 & 0 & 0 & 0,4375 \\ -0,375 & 0,5 & -0,125 & 0 & 0,0625 \\ 0 & -0,375 & 0,5 & -0,125 & 0,0625 \\ 0 & 0 & -1 & 1,5 & 0 \end{array} \right] , \quad \left[ \begin{array}{c} 1 \\ 1,22340 \\ 1,39362 \\ 1,40426 \\ 0,93617 \end{array} \right]$$

$$29. \left[ \begin{array}{cccccc|c} 2,2 & -2 & 0 & 0 & 0 & 0 & -0,2 \\ -1 & 2,008 & -1 & 0 & 0 & 0 & 0,008 \\ 0 & -1 & 2,016 & -1 & 0 & 0 & 0,016 \\ 0 & 0 & -1 & 2,024 & -1 & 0 & 0,024 \\ 0 & 0 & 0 & -1 & 2,032 & -1 & 0,032 \\ 0 & 0 & 0 & 0 & -2 & 2,84 & 0,44 \end{array} \right] , \quad \left[ \begin{array}{c} 0,02252 \\ 0,12477 \\ 0,22002 \\ 0,30280 \\ 0,36883 \\ 0,41467 \end{array} \right]$$

30. 
$$\left[ \begin{array}{cccc|c} 2,04 & -1 & 0 & 0 & 0 & 0,008 \\ -1 & 2,04 & -1 & 0 & 0 & 0,016 \\ 0 & -1 & 2,04 & -1 & 0 & 0,024 \\ 0 & 0 & -1 & 2,04 & -1 & 0,032 \\ 0 & 0 & 0 & -2 & 2,04 & 0,04 \end{array} \right] , \quad \left[ \begin{array}{c} 0 \\ 0,07022 \\ 0,13526 \\ 0,18970 \\ 0,22774 \\ 0,24288 \end{array} \right]$$

31. 
$$\left[ \begin{array}{cccc|c} 2,44 & -2 & 0 & 0 & 0 & 1,2 \\ -1 & 2,04 & -1 & 0 & 0 & 0,008 \\ 0 & -1 & 2,04 & -1 & 0 & 0,016 \\ 0 & 0 & -1 & 2,04 & -1 & 0,024 \\ 0 & 0 & 0 & -1 & 2,04 & 0,032 \\ 0 & 0 & 0 & 0 & -2 & 2,84 \end{array} \right] , \quad \left[ \begin{array}{c} 1,29053 \\ 0,97444 \\ 0,68933 \\ 0,41580 \\ 0,13490 \\ -0,17261 \end{array} \right]$$

32. 
$$\left[ \begin{array}{cccc|c} 2,04 & -1 & 0 & 0 & 0,03908 \\ -1 & 2,04 & -1 & 0 & 0,09548 \\ 0 & -1 & 2,04 & -1 & 0,17492 \\ 0 & 0 & -1 & 2,04 & 0,28487 \end{array} \right] , \quad \left[ \begin{array}{c} 0 \\ 0,19128 \\ 0,35112 \\ 0,42953 \\ 0,35019 \\ 0 \end{array} \right]$$

33. 
$$\left[ \begin{array}{ccccc|c} 0,2 & 0 & 0 & 0 & 0 & 0,208 \\ -0,2 & 0,2 & 0 & 0 & 0 & 0,016 \\ 0 & -0,2 & 0,2 & 0 & 0 & 0,024 \\ 0 & 0 & -0,2 & 0,2 & 0 & 0,032 \\ 0 & 0 & 0 & -0,2 & 0,2 & 0,04 \end{array} \right] , \quad \left[ \begin{array}{c} 1 \\ 1,04000 \\ 1,12000 \\ 1,24000 \\ 1,40000 \\ 1,60000 \end{array} \right]$$

34. 
$$\left[ \begin{array}{ccccc|c} 2,84 & -2 & 0 & 0 & 0 & 0 & -0,4 \\ -1 & 2,04071 & -1 & 0 & 0 & 0 & 0,0016 \\ 0 & -1 & 2,04262 & -1 & 0 & 0 & 0,0064 \\ 0 & 0 & -1 & 2,04555 & -1 & 0 & 0,0144 \\ 0 & 0 & 0 & -1 & 2,04946 & -1 & 0,0256 \\ 0 & 0 & 0 & 0 & -2 & 2,25437 & 0,24 \end{array} \right] , \quad \left[ \begin{array}{c} -0,20225 \\ -0,08720 \\ 0,02270 \\ 0,12717 \\ 0,22304 \\ 0,30433 \end{array} \right]$$

35. 
$$\left[ \begin{array}{ccc|c} 3 & -1 & 0 & 3 \\ -1 & 4 & -1 & 6 \\ 0 & -1 & 5 & 9 \end{array} \right] , \quad \left[ \begin{array}{c} 0 \\ 1,84615 \\ 2,53846 \\ 2,30769 \\ 0 \end{array} \right]$$

$$*36. \left[ \begin{array}{cccc|c} 0,08 & 0,96 & 0 & 0 & 1,104 \\ -1,04 & 0,08 & 0,96 & 0 & 0,128 \\ 0 & -1,04 & 0,08 & 0,96 & 0,192 \\ 0 & 0 & -1,04 & 0,08 & 1,216 \end{array} \right] , \left[ \begin{array}{c} 1 \\ -0,99234 \\ 1,23266 \\ -1,04443 \\ 1,62246 \\ -1 \end{array} \right]$$

metodou umělé difúze:

$$\left[ \begin{array}{cccc|c} 2 & 0 & 0 & 0 & 2,064 \\ -2 & 2 & 0 & 0 & 0,128 \\ 0 & -2 & 2 & 0 & 0,192 \\ 0 & 0 & -2 & 2 & 0,256 \end{array} \right] , \left[ \begin{array}{c} 1 \\ 1,032 \\ 1,096 \\ 1,192 \\ 1,320 \\ -1 \end{array} \right]$$

metodou upwind:

$$\left[ \begin{array}{cccc|c} 2,08 & -0,04 & 0 & 0 & 2,104 \\ -2,04 & 2,08 & -0,04 & 0 & 0,128 \\ 0 & -2,04 & 2,08 & -0,04 & 0,192 \\ 0 & 0 & -2,04 & 2,08 & 0,216 \end{array} \right] , \left[ \begin{array}{c} 1 \\ 1,03264 \\ 1,09726 \\ 1,19297 \\ 1,27387 \\ -1 \end{array} \right]$$

$$*37. \left[ \begin{array}{ccccc|c} 0,2 & 0,12 & 0 & 0 & 0 & 0,66 \\ -0,34 & 0,2 & 0,14 & 0 & 0 & 0,02 \\ 0 & -0,36 & 0,2 & 0,16 & 0 & 0,02 \\ 0 & 0 & -0,38 & 0,2 & 0,18 & 0,02 \\ 0 & 0 & 0 & -0,2 & 0,2 & 1,62 \end{array} \right] , \left[ \begin{array}{c} 2 \\ 2,30872 \\ 1,65213 \\ 3,38956 \\ -0,39465 \\ 7,70535 \end{array} \right]$$

metodou umělé difúze:

$$\left[ \begin{array}{ccccc|c} 0,6 & -0,08 & 0 & 0 & 0 & 1,06 \\ -0,54 & 0,6 & -0,6 & 0 & 0 & 0,02 \\ 0 & -0,56 & 0,6 & -0,04 & 0 & 0,02 \\ 0 & 0 & -0,58 & 0,6 & -0,02 & 0,02 \\ 0 & 0 & 0 & -0,6 & 0,6 & 0,02 \end{array} \right] , \left[ \begin{array}{c} 2 \\ 2,04481 \\ 2,08610 \\ 2,12436 \\ 2,15999 \\ 2,19323 \end{array} \right]$$

metodou upwind:

$$\left[ \begin{array}{ccccc|c} 0,64 & -0,1 & 0 & 0 & 0 & 1,10 \\ -0,58 & 0,68 & -0,1 & 0 & 0 & 0,02 \\ 0 & -0,62 & 0,72 & -0,1 & 0 & 0,02 \\ 0 & 0 & -0,66 & 0,76 & -0,1 & 0,02 \\ 0 & 0 & 0 & -0,7 & 0,7 & -0,02 \end{array} \right] , \left[ \begin{array}{c} 2 \\ 2,04459 \\ 2,08535 \\ 2,12180 \\ 2,14777 \\ 2,11920 \end{array} \right]$$

## Kapitola 7

1.  $I_O = 25/32$ ,  $I_L = 11/16$ ,  $I(f) = 3/4$  a tedy  $E_O = -1/32$ ,  $E_L = 1/16$
2.  $I_O = 0,128191$ ,  $I_L = 0,149248$ ,  $E_O = 0,007066$  a  $E_L = -0,0139911$
3. Vznikne Simpsonovo pravidlo pro  $n = 4$
4.  $I_L = 1,866025$ ,  $\bar{I}_L = 1,901259$ ,  $I(f) = 1,913223$ , vznikne Simpsonovo pravidlo pro  $n = 2$
5. Částice urazí přibližně dráhu  $s = 4,1087$ . Přesná hodnota je  $s = 4,1814$
6.
  - a)  $I(f) = 71,914$
  - b)  $I_O = 71,077$ ,  $\varepsilon_O = 0,837$ ,  $I_L = 73,593$ ,  $\varepsilon_L = 1,679$ ,  $I_S = 71,939$ ,  $\varepsilon_S = 0,025$
  - c)  $\varepsilon_O = 2,589$ ,  $\varepsilon_L = 5,178$ ,  $\varepsilon_S = 0,076$
  - d)  $n_O = 31$ ,  $n_L = 44$ ,  $n_S = 6$
7.
  - a)  $I(f) = 6,70406$
  - b)  $I_O = 6,697$ ,  $\varepsilon_O = 0,007$ ,  $I_L = 6,718$ ,  $\varepsilon_L = 0,014$ ,  $I_S = 6,70412$ ,  $\varepsilon_S = 0,00006$
  - c)  $\varepsilon_O = 0,010$ ,  $\varepsilon_L = 0,021$ ,  $\varepsilon_S = 0,00017$
  - d)  $n_O = 2$ ,  $n_L = 2$ ,  $n_S = 2$
8.
  - a)  $n_O = 4$ ,  $n_L = 10$ ,  $n_S = 3$
  - b)  $n_O = 6$ ,  $n_L = 9$ ,  $n_S = 3$
  - c)  $n_O = 23$ ,  $n_L = 32$ ,  $n_S = 6$
  - d)  $n_O = 21$ ,  $n_L = 30$ ,  $n_S = 6$
  - e)  $n_O = 13$ ,  $n_L = 19$ ,  $n_S = 3$
  - f)  $n_O = 607$ ,  $n_L = 858$ ,  $n_S = 10$
9.  $E_{G2} = -0,071672$ ,  $E_{G3} = 0,016323$ ,  $E_{S2} = 0,091906$ ,  $E_{S4} = -0,008094$
10.
  - a)  $I_{G2} = 0,785493$ ,  $E_{G2} = 0,000095$ ,  $I_S = 0,784082$ ,  $E_S = 0,001316$
  - b)  $I_{G2} = 0,147605$ ,  $E_{G2} = 0,000384$ ,  $I_S = 0,146632$ ,  $E_S = 0,000589$
  - c)  $I_{G2} = 0,451981$  ;  $E_{G2} = 0,000005$  ;  $I_S = 0,451970$  ;  $E_S = 0,000006$

11. a)  $I_{G3} = 2,840885$ ,  $E_{G3} = 0,000461$ ,  $I_S = 2,843385$ ,  $E_S = 0,001039$   
b)  $I_{G3} = 0,851987$ ,  $E_{G3} = 0,066589$ ,  $I_S = 0$ ;  $E_S = 0,785398$   
c)  $I_{G3} = 0,913872$ ,  $E_{G3} = 0,018500$ ,  $I_S = 0,876676$ ,  $E_S = 0,018696$   
d)  $I_{G3} = 6,085652$ ,  $E_{G3} = 0,009756$ ,  $I_S = 6,036007$ ,  $E_S = 0,039889$
12.  $I_{G3} = 1,605419$ ,  $E_{G3} = 0,000006$ ,  $I_S = 1,605418$ ,  $E_S = 0,000005$  a  
položíme  $\sin x/x = 1$  pro  $x = 0$
13.  $I = 5,539654$
- a)  $I_O = 4$ ,  $E_O = 1,539654$   
b)  $I_L = 9,564525$ ,  $E_L = 4,024871$   
c)  $I_S = 5,597485$ ,  $E_S = 0,057831$
14. a)  $I_O = 5,424557$ ,  $E_O = 0,115097$   
b)  $I_L = 5,774105$ ,  $E_L = 0,234551$   
c)  $I_S = 5,543605$ ,  $E_S = 0,003951$
15. Plocha trojúhelníka  $T = \overline{ABC}$  je  $1/2 \operatorname{abs} \begin{vmatrix} b_1 - a_1 & c_1 - a_1 \\ b_2 - a_2 & c_2 - a_2 \end{vmatrix}$
16.  $|T|f((A + B + C)/3) = -6,03906$ ,  $|T|(f(A) + f(B) + f(C))/3 = -7,47656$ ,  $|T|(f((A + B)/2) + f((B + C)/2) + f((C + A)/2))/3 = -6,36914$
17.  $I(f) = 3,738625$

## Kapitola 8

1.

$$\left[ \begin{array}{ccc|c} 12 & -6 & & 6,1667 \\ -6 & 12 & -6 & 0,1667 \\ -6 & 12 & -6 & 0,1667 \\ -6 & 12 & -6 & 0,1667 \\ -6 & 12 & & 0,1667 \end{array} \right], \quad \left[ \begin{array}{c} 1 \\ 0,90278 \\ 0,77778 \\ 0,62500 \\ 0,44444 \\ 0,23611 \\ 0 \end{array} \right]$$

2.

$$\left[ \begin{array}{ccc|c} 5 & -2,5 & & -2,3 \\ -2,5 & 5 & -2,5 & 0,2 \\ -2,5 & 5 & -2,5 & 0,2 \\ & -2,5 & 5 & 0,2 \\ & -6 & 12 & -0,9 \end{array} \right], \quad \left[ \begin{array}{c} -1 \\ -1,04 \\ -1,16 \\ -1,36 \\ -1,64 \\ -2 \end{array} \right]$$

3.

$$\left[ \begin{array}{ccc|c} 10 & -5 & & -4,8 \\ -5 & 10 & -5 & 0,2 \\ -5 & 10 & -5 & 0,2 \\ -5 & 10 & -5 & 0,2 \\ -5 & 5 & & -0,9 \end{array} \right], \quad \left[ \begin{array}{c} -1 \\ -1,02 \\ -1,08 \\ -1,18 \\ -1,32 \\ -1,5 \end{array} \right]$$

4.

$$\left[ \begin{array}{ccc|c} 8 & -4 & & 8 \\ -4 & 8 & -4 & 0 \\ -4 & 8 & -4 & 0 \\ -4 & 6 & & 1 \end{array} \right], \quad \left[ \begin{array}{c} 2 \\ 1,75 \\ 1,5 \\ 1,25 \\ 1 \end{array} \right]$$

5.

$$\left[ \begin{array}{ccc|c} 1,3 & -0,8 & & 0,1875 \\ -0,8 & 1,6 & -0,8 & 0,375 \\ -0,8 & 1,6 & -0,8 & 0,375 \\ -0,8 & 1,6 & & 0,375 \end{array} \right], \quad \left[ \begin{array}{c} 1,07143 \\ 1,50670 \\ 1,47321 \\ 0,97098 \\ 0 \end{array} \right]$$

6.

$$\left[ \begin{array}{ccc|c} 2 & -2 & & -0,85 \\ -2 & 4 & -2 & 0,3 \\ -2 & 4 & -2 & 0,3 \\ -2 & 4 & -2 & 0,3 \\ -2 & 4 & & 4,3 \end{array} \right], \quad \left[ \begin{array}{c} 1,375 \\ 1,8 \\ 2,075 \\ 2,2 \\ 2,175 \\ 2 \end{array} \right]$$

7.

$$\left[ \begin{array}{ccc|c} 48 & -22,5 & & 50,8333 \\ -25,5 & 48 & -22,5 & -0,1667 \\ -25,5 & 48 & -22,5 & -0,1667 \\ -25,5 & 48 & -22,5 & -0,1667 \\ -25,5 & 48 & & -0,1667 \end{array} \right], \quad \left[ \begin{array}{c} 2 \\ 1,74587 \\ 1,46526 \\ 1,15464 \\ 0,81002 \\ 0,42685 \\ 0 \end{array} \right]$$

8.

$$\left[ \begin{array}{ccc|c} 8 & -3,5 & & 0,2 \\ -4,5 & 8 & -3,5 & 0,2 \\ & -4,5 & 8 & -3,5 \\ & & -4,5 & 8 \\ & & & -4,5 \end{array} \right] , \quad \left[ \begin{array}{c} 0 \\ 0,05362 \\ 0,06542 \\ 0,02344 \\ -0,08767 \\ -0,28767 \end{array} \right]$$

9.

$$\left[ \begin{array}{ccc|c} 3,2 & -1,1 & & -1,6 \\ -2,1 & 3,2 & -1,1 & 0,5 \\ & -2,1 & 3,2 & -1,1 \\ & & -2,1 & 4,1 \end{array} \right] , \quad \left[ \begin{array}{c} -1 \\ -0,56725 \\ -0,19564 \\ 0,05925 \\ 0,09133 \end{array} \right]$$

10.

$$\left[ \begin{array}{ccc|c} 6 & -3,5 & & 0,1667 \\ -2,5 & 6 & -3,5 & 0,1667 \\ & -2,5 & 6 & -3,5 \\ & & -2,5 & 6 \\ & & & -2,5 \end{array} \right] , \quad \left[ \begin{array}{c} 0 \\ 0,16280 \\ 0,23147 \\ 0,23291 \\ 0,18631 \\ 0,10541 \\ 0 \end{array} \right]$$

11.

$$\left[ \begin{array}{ccc|c} 2,4 & -1,7 & & 0,1667 \\ -0,7 & 2,4 & -1,7 & 0,1667 \\ & -0,7 & 2,4 & -1,7 \\ & & -0,7 & 2,4 \\ & & & -0,7 \end{array} \right] , \quad \left[ \begin{array}{c} 0 \\ 0,42445 \\ 0,50118 \\ 0,43474 \\ 0,30934 \\ 0,15967 \\ 0 \end{array} \right]$$

12.

$$\left[ \begin{array}{ccc|c} 7,25 & -5,25 & & 1,2 \\ -4,75 & 10 & -5,25 & 0,4 \\ & -4,75 & 10 & -5,25 \\ & & -4,75 & 10 \\ & & & -4,75 \end{array} \right] , \quad \left[ \begin{array}{c} 0,63601 \\ 0,64973 \\ 0,58596 \\ 0,45206 \\ 0,25473 \\ 0 \end{array} \right]$$

13.

$$\left[ \begin{array}{ccc|c} 10,2 & -10,2 & & 1,1 \\ -9,8 & 20 & -10,2 & 0,2 \\ & -9,8 & 20 & -10,2 \\ & & -9,8 & 20 & -10,2 \\ & & & -9,8 & 20 \end{array} \right] \left[ \begin{array}{c} 1,88709 \\ 1,77925 \\ 1,65602 \\ 1,51803 \\ 1,36583 \\ 1,2 \end{array} \right],$$

14.

$$\left[ \begin{array}{ccc|c} 12 & -5,9 & & 6,3 \\ -7,1 & 14 & -6,9 & 0,2 \\ & -8,1 & 16 & -7,9 \\ & & -9,1 & 18 & -8,9 \\ & & & -10,1 & 10,5 \end{array} \right] \left[ \begin{array}{c} 1 \\ 1,09758 \\ 1,16457 \\ 1,20451 \\ 1,22015 \\ 1,21367 \end{array} \right]$$

15.

$$\left[ \begin{array}{ccc|c} 5,4667 & -5,4667 & & 2,9 \\ -4,4667 & 9,7355 & -5,2687 & -0,2 \\ & -4,2687 & 9,1493 & -4,8806 \\ & & -3,8806 & 8,1984 & -4,3178 \\ & & & -3,3178 & 6,9207 \end{array} \right] \left[ \begin{array}{c} 5,66795 \\ 5,13747 \\ 4,72569 \\ 4,40652 \\ 4,16599 \\ 4 \end{array} \right],$$

16.

$$\left[ \begin{array}{ccc|c} 7,2 & -3,3 & & 0,25 \\ -3,5 & 6,4 & -2,9 & 0,25 \\ & -3,1 & 5,6 & -2,5 \\ & & -2,7 & 2,7 \end{array} \right] \left[ \begin{array}{c} 0 \\ -0,21156 \\ -0,53734 \\ -1,01673 \\ -1,71117 \end{array} \right]$$

17.

$$\left[ \begin{array}{ccc|c} 4,4167 & -4,4167 & & 0,1 \\ -2,4167 & 7,3333 & -4,9167 & 0,2 \\ & -2,9167 & 7,8333 & -4,9167 \\ & & -2,9167 & 7,3333 \end{array} \right] \left[ \begin{array}{c} 0,23830 \\ 0,21566 \\ 0,16385 \\ 0,09244 \\ 0 \end{array} \right]$$

18.

$$\left[ \begin{array}{ccc|c} 8 & -3,75 & & 4,4514 \\ -4,25 & 8 & -3,75 & 0,1674 \\ & -4,25 & 8 & -3,75 \\ & & -4,25 & 6,25 \end{array} \right] \left[ \begin{array}{c} 1 \\ 0,98556 \\ 0,91550 \\ 0,79145 \\ 0,61263 \end{array} \right]$$

19.

$$\left[ \begin{array}{ccc|c} 3,1333 & -0,9667 & & 0,0093 \\ -1,9667 & 3,1333 & -0,9667 & 0,0333 \\ & -1,9667 & 3,1333 & -0,9667 \\ & & -1,9667 & 3,1333 \end{array} \right] \xrightarrow{\text{RREF}} \left[ \begin{array}{ccc|c} & & & 0 \\ & & & 0,01733 \\ & & & 0,04651 \\ & & & 0,08102 \\ & & & 0,09213 \\ & & & 0 \end{array} \right]$$

20.

$$\left[ \begin{array}{ccc|c} 1,0667 & -0,9667 & & -1,8933 \\ -0,9667 & 3,1333 & -1,9667 & 0,24 \\ & -1,9667 & 5,1333 & -2,9667 \\ & & -2,9667 & 7,1333 \\ & & & -3,9667 \end{array} \right] \xrightarrow{\text{RREF}} \left[ \begin{array}{ccc|c} & & & -2,69538 \\ & & & -1,01559 \\ & & & -0,41525 \\ & & & -0,13964 \\ & & & -0,02123 \\ & & & 0 \end{array} \right]$$

21.

$$\left[ \begin{array}{ccc|c} 4,0667 & -0,9833 & & 3,4833 \\ -2,9833 & 4,0667 & -0,9833 & 0,5 \\ & -2,9833 & 4,0667 & -0,9833 \\ & & -2,9833 & 3,0333 \end{array} \right] \xrightarrow{\text{RREF}} \left[ \begin{array}{ccc|c} & & & 1 \\ & & & 1,17276 \\ & & & 1,30768 \\ & & & 1,34152 \\ & & & 1,07216 \end{array} \right]$$

22.

$$\left[ \begin{array}{ccc|c} 10,4 & -4,9 & & 4,9396 \\ -4,9 & 10,4 & -4,9 & 0,0776 \\ & -4,9 & 10,4 & -4,9 \\ & & -4,9 & 10,4 \end{array} \right] \xrightarrow{\text{RREF}} \left[ \begin{array}{ccc|c} & & & 1 \\ & & & 0,96323 \\ & & & 1,03632 \\ & & & 1,22046 \\ & & & 1,53108 \\ & & & 2 \end{array} \right]$$

23.

$$\left[ \begin{array}{ccc|c} 9,7333 & -4,2667 & & 5,6879 \\ -5,2667 & 9,1333 & -3,8667 & 0,2445 \\ & -4,8667 & 8,1333 & -3,2667 \\ & & -4,2667 & 6,7333 \end{array} \right] \xrightarrow{\text{RREF}} \left[ \begin{array}{ccc|c} & & & 1 \\ & & & 1,09681 \\ & & & 1,16900 \\ & & & 1,20410 \\ & & & 1,17368 \\ & & & 1 \end{array} \right]$$

## 10 Individuální úlohy

1. Najděte všechny nulové body, lokální extrémy a inflexní body funkce  $f(x) = x^4 - 30x^3 - 20x^2 - 60x + 8$  s chybou, menší než  $\varepsilon = 1e-5$ . [Nulové body: 0,1269433; 30,7144836, lokální extrémy: v bodu  $x = 22,9639105$  nabývá polynom lokálního minima -97122,40603, inflexní body: -0,2190241]
2. Ukládáte-li pravidelný měsíční vklad 250 Kč a roční úroková míra je  $I$ , pak je uložená částka po 60 vkladech (tj. po 5 letech spoření) rovna

$$C = \frac{3000}{I} \left[ \left( 1 + \frac{I}{12} \right)^{60} - 1 \right].$$

Pomocí vhodné implementace metody půlení vypočtěte minimální úrokovou míru, zaručující částku a)  $C = 25\,000$  Kč, b)  $C = 30\,000$  Kč a c)  $C = 35\,000$  Kč s chybou, menší než  $\varepsilon = 0,001$ . [Úroková míra  $I$  je a) 0,194, b) 0,257 a c) 0,309.]

3. Najděte tři funkce  $F(x)$ , pro něž je rovnice  $x = F(x)$  ekvivalentní s

$$e^x - x^2 - x - 1 = 0$$

a vyberte tu, která je pro approximaci kořene rovnice z intervalu  $(1,7; 1,8)$  nevhodnější. Tento kořen vypočtěte vybranou iterační metodou s chybou, menší než 0,01 užitím tabulkového procesoru MS Excel.

4. Navrhněte postup, jak efektivně počítat odmocninu z daného kladného čísla  $c$  užitím tabulkového procesoru MS Excel. Užijte Newtonovy metody a vhodné volby počáteční approximace.
5. Integrál

$$I = \int_{-1}^2 e^x dx$$

vypočtěte nejprve přesně a potom složeným lichoběžníkovým pravidlem pro a)  $n = 3$ , b)  $n = 6$  a c)  $n = 12$  podintervalů. Aproximace a) - c) vypočtěte užitím tabulkového procesoru MS Excel.

6. Navrhněte postup řešení počáteční úlohy

$$y' = f(x, y) \quad v \quad (a, b), \quad y(a) = c$$

Eulerovou metodou s daným krokem  $h > 0$  tabulkovým procesorem MS Excel. Přesvědčte se, že počáteční úloha

$$y' = y + e^x \cos x \quad v \quad (0, 1), \quad y(0) = 0$$

má řešení  $y(x) = e^x \cos x$  a najděte přibližné řešení této úlohy užitím Excelu s kroky  $h_1 = 0,5$  a  $h_2 = 0,25$ . Ověřte korektnost svého výpočtu v Excelu tím, že approximaci s krokem  $h_1$  vypočítáte i pomocí kalkulačky.

7. Najděte všechny kořeny rovnice

$$x^3 - 15x + 8 = 0$$

z intervalu  $(-5, 5)$  s přesností 0,0005 užitím programu v Excelu, který pro danou rovnici  $f(x) = 0$  najde všechna řešení z intervalu  $(a, b)$  tak, že pro dané celé číslo  $n > 1$  a danou přesnost  $\varepsilon > 0$  rozdělí interval  $\langle a, b \rangle$  na  $n$  podintervalů ekvidistantními uzly  $a = x_0 < x_1 < \dots < x_n = b$ , postupně pro  $i = 0, \dots, n-1$  rozhodne, zda  $f(x_i) \cdot f(x_{i+1}) < 0$  a v kladném případě approximuje kořen z intervalu  $(x_i, x_{i+1})$  s chybou, menší než  $\varepsilon$  půlením.

8. Najděte všechny kořeny rovnice

$$e^x - 2x^3 + 10x + 5 = 0$$

z intervalu  $(-3, 6)$  s přesností 0,0005 užitím programu v Excelu, který pro danou rovnici  $f(x) = 0$  najde všechna řešení z intervalu  $(a, b)$  tak, že pro dané celé číslo  $n > 1$  a danou přesnost  $\varepsilon > 0$  rozdělí interval  $\langle a, b \rangle$  na  $n$  podintervalů ekvidistantními uzly  $a = x_0 < x_1 < \dots < x_n = b$ , postupně pro  $i = 0, \dots, n-1$  rozhodne, zda  $f(x_i) \cdot f(x_{i+1}) < 0$  a v kladném případě approximuje kořen z intervalu  $(x_i, x_{i+1})$  s chybou, menší než  $\varepsilon$  metodou regula falsi.

9. Koule o průměru 1 m z borového dřeva o hustotě  $\varrho = 0,638 \text{ kg m}^{-3}$  je nadnášena vodou. Vypočtěte hloubku  $d$ , do níž je přitom ponořenana. Užitím Archimedova zákona najděte rovnici pro neznámou hloubku  $d$  a tuto rovnici vyřešte iterací s chybou, menší než 0,0001.

10. Najděte počet  $k$  kořenů rovnice

$$\sin x - 0,2(x + 1)^2 + 1 = 0$$

a  $k$  disjunktních intervalů separujících tyto kořeny. Každý kořen nejprve approximujte metodou půlení s chybou, menší než 0,05 a tyto approximace zpřesněte Newtonovou metodou s chybou, menší než 0,5e-8.

11. Navrhněte postup, jak tabulkový procesor MS Excel ověří, že daná čtvercová matice je symetrická pozitivně definitní (SPD). Použijte jej pro jednu matici, která není SPD a jednu, která je SPD.
12. Navrhněte postup, jak tabulkový procesor MS Excel pro danou matici  $A$  typu  $n \times n$  a daný vektor  $b$  s  $n$  složkami ověří, že  $A$  je horní trojúhelníková a má všechny prvky v hlavní diagonále různé od nuly. V kladném případě vyřeší systém rovnic  $Ax = b$ .
13. Ověřte, že matice, inverzní k dolní trojúhelníkové matici je dolní trojúhelníková a navrhněte postup, jak tabulkový procesor MS Excelu k dané regulární dolní trojúhelníkové matici zkonstruuje matici inverzní.
14. Navrhněte postup, jak tabulkový procesor MS Excel najde horní trojúhelníkovou matici  $U$  z Choleského rozkladu dané SPD matice.
15. Najděte postup, jak tabulkový procesor MS Excel pro danou SPD matici  $A$  a danou horní trojúhelníkovou matici  $U$  rozhodne, zda  $U^\top$  a  $U$  tvoří Choleského rozklad  $A$ .
16. Čtvercová matice  $A$  řádu  $n$  se nazývá ortogonální, když její sloupcové vektory jsou vzájemně ortogonální a jednotkové. Ověřte, že matice  $A$  je ortogonální právě když  $A^{-1} = A^\top$ . Najděte postup, jak tabulkový procesor MS Excel rozhodne, zda daná čtvercová matice je ortogonální a užijte jej pro jednu matici ortogonální a jednu matici, která není ortogonální.
17. Navrhněte postup, jak tabulkový procesor MS Excel pro libovolnou regulární třídiagonální matici  $A$  najde matici inverzní  $A^{-1}$ . Pomocí vhodného příkladu dokumentujte odpověď na otázku, zda tyto inverzní matice jsou pásové.
18. Najděte postup, jak tabulkový procesor MS Excel najde funkci  $f(x)$  ve tvaru  $A \cdot e^{Bx}$ , která pro dané uzly  $x_0, x_1, \dots, x_n$  approximuje hodnoty  $y_0, y_1, \dots, y_n$  metodou nejmenších čtverců.
19. Uvažme uzly  $x_0, x_1, \dots, x_n$  a hodnoty  $y_0, y_1, \dots, y_n$ .
  - a) Metodou nejmenších čtverců najděte jejich approximaci z prostoru  $\mathcal{P}^0$ . Pod jakým jménem tuto konstrukci znáte?
  - b) Ověřte, že

$$\begin{aligned}(n+1)B + \left(\sum x_i\right)M &= \sum y_i \\ \left(\sum x_i\right)D + \left(\sum x_i^2\right)M &= \sum x_i y_i\end{aligned}$$

jsou normální rovnice pro approximaci daných dat polynomem ve tvaru  $P(x) = Mx + B$ . Tohoto explicitního popisu normálních rovnic užijte pro řešení konkrétního příkladu užitím tabulkového procesoru MS Excel.

20. Sestavte program pro integraci dané funkce  $f(x)$  na daném intervalu  $(a, b)$  Rombergovou metodou s chybou, menší než dané kladné číslo  $\varepsilon$ .
21. Najděte hodnoty  $y(x)$  teploty ve vzdálenosti  $x [m]$ ,  $x \in (0; 0,12)$  od vnějšího povrchu stěny obytné budovy, jejíž tepelná vodivost je 0,2 pro  $x \in (0; 0,02) \cup (0,1; 0,12)$  a 0,5 pro  $x \in (0,02; 0,1)$ . Na vnějším povrchu stěny je teplota  $7^\circ C$  a na vnitřním povrchu je koeficient přestupu tepla 0,2. Teplota interiéru je  $21^\circ C$ . Zvolte krok diskretizace  $h = 0,02 m$ .
22. Kovové horkovodní potrubí kruhového průřezu má tloušťku stěny  $10 cm$  a koeficient tepelné vodivosti  $0,00017 W cm^{-1} (0^\circ C)^{-1}$ . Aproximujte rozložení teploty ve stěně potrubí a intenzitu úniku tepla přes jeho vnější povrch, když na jeho vnitřním příp. vnějším povrchu je teplota  $160^\circ C$  příp.  $30^\circ C$ . Zvolte krok diskretizace  $h = 2 cm$ .
23. Aproximujte koncentraci kyslíku ve vodním toku přes interval  $(0, 2)$  rychlostí 0,4, když koeficient difúze je 0,1, koeficient absorpcie je 0,05, intenzita zdrojů je 0, koncentrace kyslíku na vstupu je 0,6 a na výstupu platí přestupová podmínka s koeficientem přestupu 0,0125 a externí koncentrací 0. Zvolte krok diskretizace  $h = 0,4$ .

## Reference

- [1] Amelkin V.V., Sadovskij A.P.: *Matematické modely a diferenciální rovnice*. Knihovna mladého matematika, Minsk, 1982 (v ruštině).
- [2] Burden, R.L., Douglas, J., Faires, R.L.: *Numerical Analysis*. Wadsworth Publ. Co., 1981.
- [3] Čermák, L.: *Numerické metody II*. FSI VUT, 2004.
- [4] Čermák, L., Hlavička, R.: *Numerické metody*. FSI VUT, 2005.
- [5] Dalík, J.: *Matematika IV, Numerická analýza*. CERM, s.r.o. Brno, 2008.
- [6] Míka, S., Přikryl, P., Brandner, M.: *Speciální numerické metody*. volně přístupné na internetu, 2006.

- [7] Přikryl, P.: *Numerické metody matematické analýzy*. Matematika pro vysoké školy technické, SNTL, Praha 1985.
- [8] Přikryl, P., Brandner, M.: *Numerické metody I,II*. ZČU Plzeň, 2000.
- [9] Scheid, F.: *Numerical Analysis*. McGraw-Hill, 1989.